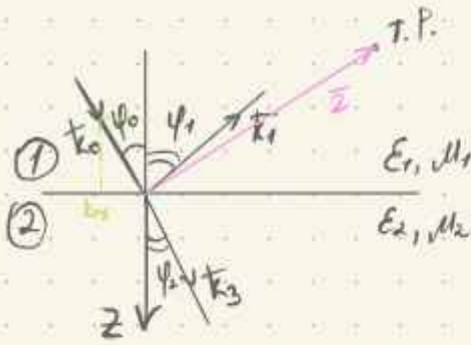




Отражение и преломление элмг волны на границе раздела 2х сред. Показатель преломления



$$\vec{E}_{\text{пад}} = \hat{E}_0 \cdot e^{i(k_0 \cdot \vec{z}) - i\omega_0 t} \quad \vec{H}_{\text{пад}} = \sqrt{\frac{\epsilon_1}{\mu_1}} [\vec{n} \times \vec{E}_0] e^{i(k_0 \cdot \vec{z}) - i\omega_0 t}$$

опр: плоскость падения ввр-на нормалью и границе раздела и волновым в-ром падающей волны

для отраженной и преломл. волны:

$$\vec{E}_{\text{отр}} = \vec{E}_r \cdot e^{i(k_r \cdot \vec{z}) - i\omega_r t}$$

$$\vec{E}_{\text{пр}} = \vec{E}_2 \cdot e^{i(k_2 \cdot \vec{z}) - i\omega_2 t}$$

$$\vec{H}_{\text{отр}} = \sqrt{\frac{\epsilon_1}{\mu_1}} [\vec{n} \times \vec{E}_r] e^{i(k_r \cdot \vec{z}) - i\omega_r t}$$

$$\vec{H}_{\text{пр}} = \sqrt{\frac{\epsilon_2}{\mu_2}} [\vec{n} \times \vec{E}_2] e^{i(k_2 \cdot \vec{z}) - i\omega_2 t}$$

при этом поля должны удовлетв-ть:

1) ур-ни Максвелла

2) грани. услов.: $\{E_z\} = 0, \{H_z\} = 0$
 $B_{1n} = B_{2n}, D_{1n} = D_{2n}$

3) упр. излучения: одна волна падает из ср, остальные удаляются от границ (при отсутствии диссипативных процессов)

$$\vec{k}_0 = k_0 (\sin \psi_0 \cos \phi_0, \sin \psi_0 \sin \phi_0, \cos \psi_0)$$

$$\vec{k}_1 = k_1 (\sin \psi_1 \cos \phi_1, \sin \psi_1 \sin \phi_1, \cos \psi_1)$$

$$\vec{k}_2 = k_2 (\sin \psi_2 \cos \phi_2, \sin \psi_2 \sin \phi_2, \cos \psi_2)$$

$z = x\vec{e}_x + z\vec{e}_z + y\vec{e}_y$: при $z=0$: $E_{0z} e^{i(k_0 \cdot \vec{z}) - i\omega_0 t} + E_{1z} e^{i(k_1 \cdot \vec{z}) - i\omega_1 t} = E_{2z} e^{i(k_2 \cdot \vec{z}) - i\omega_2 t}$

$$\hat{A} e^{i(k_0 \cdot \vec{z}) - i\omega_0 t} + \hat{B} e^{i(k_1 \cdot \vec{z}) - i\omega_1 t} = \hat{C} e^{i(k_2 \cdot \vec{z}) - i\omega_2 t} \quad (*)$$

• если зафикс. точку на границе раздела, то ур-е выполняется для $\forall t$:

$\hat{A} e^{-i\omega_0 t} + \hat{B} e^{-i\omega_1 t} = \hat{C} e^{-i\omega_2 t} \Rightarrow \frac{1}{\sqrt{2\pi}} \int_{-\infty}^{+\infty} \hat{A} e^{-i\omega_0 t} e^{i\omega t} d\omega = \sqrt{2\pi} \delta(\omega - \omega_0) \hat{A}$

берем Фурье

аналогично с другими: $\frac{\sqrt{2\pi} \delta(\omega - \omega_1) \hat{B}}{\sqrt{2\pi} \delta(\omega - \omega_2) \hat{C}} \Rightarrow$



$$\Rightarrow \omega_1 = \omega_2 = \omega_0$$

• если зафикс. t для $\forall x, y$:

$$\hat{A} e^{ik_{0x}x + ik_{0y}y} + \hat{B} e^{ik_{1x}x + ik_{1y}y} = \hat{C} e^{ik_{2x}x + ik_{2y}y}$$

$$\frac{1}{2\pi} \int_{-\infty}^{+\infty} \hat{A} e^{ik_{0x}x} e^{-ikx} dx = \sqrt{2\pi} \hat{A} \delta(k - k_{0x})$$



$$k_{0x} = k_{1x} = k_{2x}$$

$$k_{0y} = k_{1y} = k_{2y}$$

• закон Снеллиуса

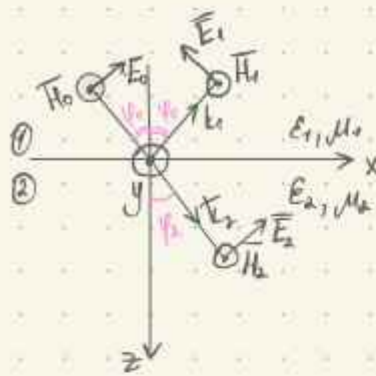
$$k_{0x} = k_{1x} : k_0 \sin \psi_0 = k_1 \sin \psi_1 \Rightarrow \frac{\omega}{c} \sqrt{\epsilon_1 \mu_1} \sin \psi_0 = \frac{\omega}{c} \sqrt{\epsilon_1 \mu_1} \sin \psi_1$$

$$\sin \psi_0 = \sin \psi_1 \Rightarrow \psi_0 = \psi_1$$

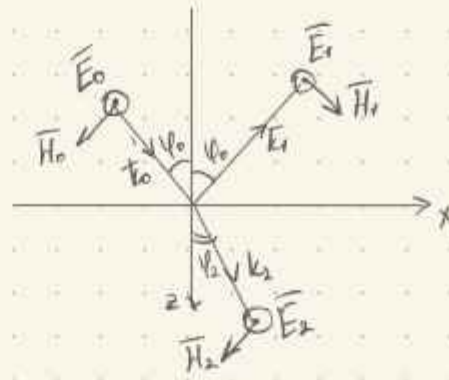
$$n = \sqrt{\epsilon \mu} = \frac{v}{c}$$

$$k_{0x} = k_{2x} : k_0 \sin \psi_0 = k_2 \sin \psi_2 \Rightarrow n_1 \sin \psi_0 = n_2 \sin \psi_2$$

Формулы Френеля. Угол Брюстера.
Просветление оптики. Диэлектрические зеркала



TM-волна



TE-волна

$$\begin{cases} H_0 e^{-i\omega t} + H_1 e^{-i\omega t} = H_2 e^{-i\omega t} \\ (E_0 \cos \psi_0 - E_1 \cos \psi_1) e^{-i\omega t} = E_2 \cos \psi_2 \end{cases}$$

$$\begin{cases} E_0 + E_1 = E_2 \\ -H_0 \cos \psi_0 + H_1 \cos \psi_0 = -H_2 \cos \psi_2 \end{cases}$$

используем: $H_i = \sqrt{\frac{\epsilon_i}{\mu_i}} [\vec{n} \times \vec{E}_i]$

$$\begin{cases} n_1 (E_0 + E_1) = n_2 E_2 \\ (E_0 - E_1) \cos \psi_0 = E_2 \cos \psi_2 \end{cases}$$

$$\begin{cases} E_0 + E_1 = E_2 \\ -n_1 E_0 \cos \psi_0 + n_1 E_1 \cos \psi_0 = -n_2 E_2 \cos \psi_2 \end{cases}$$

$$\frac{E_1}{E_0} = \frac{n_2 \cos \psi_0 - n_1 \cos \psi_2}{n_2 \cos \psi_0 + n_1 \cos \psi_2}$$

$$\frac{E_1}{E_0} = \frac{n_1 \cos \psi_0 - n_2 \cos \psi_2}{n_2 \cos \psi_2 + n_1 \cos \psi_1}$$

$$\frac{E_2}{E_0} = \frac{2n_1 \cos \psi_0}{n_2 \cos \psi_0 + n_1 \cos \psi_2}$$

$$\frac{E_2}{E_0} = \frac{2n_1 \cos \psi_0}{n_1 \cos \psi_0 + n_2 \cos \psi_2}$$

Угол Брюстера: (угол, при котором нет отраж. волны в TM-полюриз.)

$$\frac{E_1}{E_0} = \frac{\frac{n_2}{n_1} \cos \psi_0 - \cos \psi_2}{\frac{n_2}{n_1} \cos \psi_0 + \cos \psi_2} = \left[\frac{n_1 \sin \psi_0 = n_2 \sin \psi_2}{n_2/n_1 = \sin \psi_2 / \sin \psi_0} \right] = \frac{\sin \psi_0 \cos \psi_0 - \cos \psi_2 \sin \psi_2}{\sin \psi_0 \cos \psi_0 + \cos \psi_2 \sin \psi_2} =$$

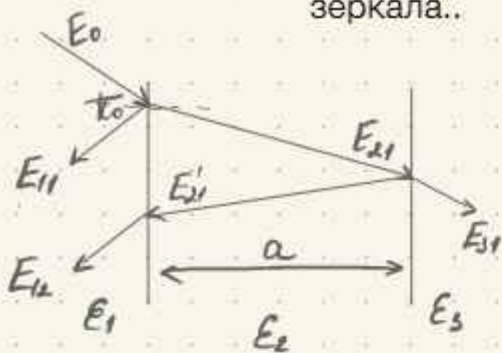
$$= \frac{\sin 2\psi_0 - \sin 2\psi_2}{\sin 2\psi_0 + \sin 2\psi_2} = \frac{\cos\left(\frac{2\psi_0 + 2\psi_2}{2}\right) \sin(\psi_0 - \psi_2)}{\cos(\psi_0 - \psi_2) \sin(\psi_0 + \psi_2)} = \frac{\operatorname{tg}(\psi_0 - \psi_2)}{\operatorname{tg}(\psi_0 + \psi_2)}$$

аналог: $\psi_0 + \psi_2 = \frac{\pi}{2} \Rightarrow n_1 \sin \psi_0 = n_2 \sin(\psi_0 - \frac{\pi}{2}) = n_2 \cos \psi_0 \Rightarrow \operatorname{tg} \psi_B = \frac{n_2}{n_1}$

Угол ПБД: $n_1 \sin \psi_{\text{ПБД}} = n_2 \sin \frac{\pi}{2} \Rightarrow \sin \psi_{\text{ПБД}} = \frac{n_2}{n_1}$

$$\vec{k}_2 = (k_{x2}, 0, k_{z2}) \Rightarrow$$

Просветвление оптики. Диэлектрические зеркала..



метод множественных отражений:

$$E_{11} = E_0 z_{12}, \quad E_{21} = E_0 t_{12}, \quad E_{21}' = E_{21} z_{23}$$

$$E_{12} = E_0 t_{12} z_{23} t_{21} e^{2ik_2 a}$$

$$t_{12} = \frac{2n_1}{n_1 + n_2}, \quad t_{21} = \frac{2n_2}{n_1 + n_2}, \quad z_{12} = \frac{n_1 - n_2}{n_1 + n_2}, \quad z_{23} = \frac{n_2 - n_3}{n_2 + n_3}$$

последующие волны записываются аналогично \Rightarrow суммарную отраж. волну можно записать в виде Σ беск. убыв. прогрессии

$$E_1 = E_{11} + E_{12} \frac{1}{1 - \rho}, \quad \text{где } \rho = z_{21} z_{23} e^{2ik_2 a}$$

$$E_1 = E_0 z_{12} + \underbrace{E_0 t_{12} t_{21} z_{23}}_{E_{12}} \frac{e^{2ik_2 a}}{1 - z_{21} z_{23} e^{2ik_2 a}} \quad \oplus \quad t_{21} t_{12} = \frac{4n_1 n_2}{(n_1 + n_2)^2} = 1 - \left(\frac{n_1 - n_2}{n_1 + n_2} \right)^2 = 1 - \rho_{12}^2$$

в итоге получим: $E_1 = E_0 \frac{z_{12} + z_{23} e^{2ik_2 a}}{1 + z_{12} z_{23} e^{2ik_2 a}} \quad (z_{12}, z_{23} \in \mathbb{R})$

когда $E_1 = 0 \Rightarrow$ когда $e^{2ik_2 a}$ - вещественное число

$$e^{2ik_2 a} = 1 \Rightarrow a_m = m \frac{\lambda_2}{2}$$

$$e^{2ik_2 a} = -1 \Rightarrow a_m = \frac{\lambda_2}{4} (1 + 2m)$$

$$E_1 = E_0 \frac{n_1 - n_3}{n_1 + n_3} = 0, \quad \text{если } n_1 = n_3$$

$$E_1 = 0, \quad \text{если } z_{12} = z_{23} \Rightarrow n_2^2 = n_1 n_3 \Rightarrow n_2 = \sqrt{n_1 n_3}$$

ослабление при $a = \frac{\lambda}{4}$ происходит из-за того, что отраж. волны E_{11} и E_{12} нах-ся в противофазе

если учесть, что $z_{12}, z_{23} \ll 1 \Rightarrow$ нет необходимости рассм-ть весь набор преломл. и отраж. волн

диэлектрические зеркала: $\frac{\lambda}{4}$ покрытие $n > n_0$ \Rightarrow отражат-я способ-ть увеличивается
степень $n_0 \approx 1,33$

многослойное покрытие увеличивает коэфф-т отражения

Фурье разложение ЭЛМГ поля. Уравнения Максвелла в
Фурье представлении

для времени: $f(t) = \frac{1}{\sqrt{2\pi}} \int_{-\infty}^{+\infty} \hat{f}(\omega) e^{-i\omega t} d\omega$; $\hat{f}(\omega) = \frac{1}{\sqrt{2\pi}} \int_{-\infty}^{+\infty} f(t) e^{i\omega t} dt$

для координат: $f(x) = \frac{1}{\sqrt{2\pi}} \int_{-\infty}^{+\infty} \hat{f}(k) e^{ikx} dk$, $\hat{f}(k) = \frac{1}{\sqrt{2\pi}} \int_{-\infty}^{+\infty} f(x) e^{-ikx} dx$

$$\int_{-\infty}^{+\infty} e^{-i\omega t} d\omega = 2\pi \delta(t)$$

$$\int_{-\infty}^{+\infty} e^{-i\omega(t-\tau)} d\omega = 2\pi \delta(t-\tau)$$

$$\int_{-\infty}^{+\infty} e^{-i\omega t} dt = 2\pi \delta(\omega)$$

$$\int_{-\infty}^{+\infty} e^{-i\omega(t-\tau)} dt = 2\pi \delta(\omega - \omega_0)$$

$$\delta(t-\tau) \rightarrow \frac{e^{i\omega\tau}}{\sqrt{2\pi}}$$

- фурье-образ
δ-функции

• спектр сдвинутого сигнала: $F(\omega) = e^{i\omega T} f(\omega)$
 $F(t) = f(t-T)$

• спектр модулированного сигнала $F(\omega) = f(\omega - \omega_0)$
 $F(t) = f(t) e^{-i\omega_0 t}$

• спектр сигнала, повторенного N раз с T: $F(t) = f(\omega) e^{i\omega T \frac{N-1}{2}} \frac{\sin(\omega T N/2)}{\sin(\omega T/2)}$

• спектр свертки двух сигналов: $F(t) \rightarrow \sqrt{2\pi} f(\omega) g(\omega)$

$$f(\vec{r}, t) = \frac{1}{(2\pi)^3} \iiint \hat{f}(\vec{k}, \omega) e^{i(\vec{k}, \vec{r}) - i\omega t} d^3k d\omega$$

$$\hat{f}(\vec{k}, \omega) = \frac{1}{(2\pi)^3} \iiint f(\vec{r}, t) e^{-i(\vec{k}, \vec{r}) + i\omega t} d^3r dt$$

$$\frac{\partial f(\vec{r}, t)}{\partial t} = \frac{1}{(2\pi)^3} \iiint \hat{f}(\vec{k}, \omega) (-i\omega) e^{i(\vec{k}, \vec{r}) - i\omega t} d^3k d\omega$$

$$\left. \begin{aligned} \frac{\partial}{\partial t} &\rightarrow -i\omega \hat{f}(\vec{k}, \omega) \\ \frac{\partial f(\vec{r}, t)}{\partial x} &\rightarrow i k_x \hat{f}(\vec{k}, \omega) \end{aligned} \right\} \Rightarrow$$

$$\text{div } \vec{E} = \frac{\partial E_x}{\partial x} + \frac{\partial E_y}{\partial y} + \frac{\partial E_z}{\partial z} = i k_x \vec{E}_x(\vec{k}, \omega) + i k_y \vec{E}_y(\vec{k}, \omega) + i k_z \vec{E}_z(\vec{k}, \omega) = (i\vec{k}, \vec{E}(\vec{k}, \omega))$$

$$\text{rot } \vec{E} = \frac{1}{(2\pi)^3} \iiint [i\vec{k} \times \hat{\vec{E}}(\vec{k}, \omega)] e^{i(\vec{k}, \vec{r}) - i\omega t} d^3k d\omega$$

$$\text{rot } \vec{H} = \frac{4\pi}{c} \vec{j} + \frac{1}{c} \frac{\partial \vec{D}}{\partial t} \rightarrow [i\vec{k} \times \hat{\vec{H}}(\vec{k}, \omega)] = \frac{4\pi}{c} \vec{j}(\vec{k}, \omega) - \frac{i\omega}{c} \hat{\vec{D}}(\vec{k}, \omega)$$

$$\text{div } \vec{B} = 0 \rightarrow (i\vec{k}, \vec{B}(\vec{k}, \omega)) = 0$$

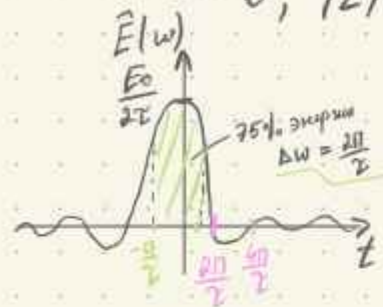
$$\text{div } \vec{D} = 4\pi \rho \rightarrow (i\vec{k}, \vec{D}(\vec{k}, \omega)) = 4\pi \rho(\vec{k}, \omega)$$

$$\text{div } \vec{j} + \frac{\partial \rho}{\partial t} = 0 \rightarrow (i\vec{k}, \vec{j}(\vec{k}, \omega)) - i\omega \rho(\vec{k}, \omega) = 0$$

Соотношение неопределенностей

опр: соотн. неопр. связывает между собой длительность сигнала и ширину его спектра: $\Delta \omega \Delta z = \pi$

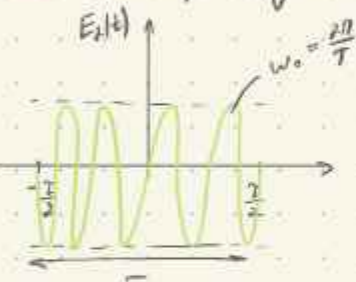
1 $E_1 = \begin{cases} E_0, & |t| < \frac{\tau}{2} \\ 0, & |t| > \tau/2 \end{cases} \Rightarrow \hat{E}_1(\omega) = \frac{1}{\sqrt{2\pi}} \int_{-\tau/2}^{\tau/2} E_0 e^{i\omega t} dt = \frac{E_0}{\sqrt{2\pi}} \tau \text{sinc}\left(\frac{\omega \tau}{2}\right)$



ширину спектра $\tau/3$ энергию сигнала:

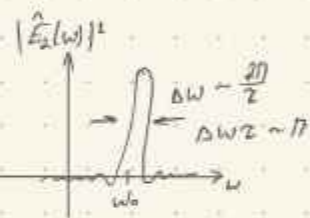
$$\int_{-\infty}^{+\infty} |f(t)|^2 dt = \int_{-\infty}^{+\infty} |f(\omega)|^2 d\omega \Leftrightarrow$$

2 спектр цуга синусоидальной волны (кратный период)



$$\hat{E}_2(\omega) = \frac{1}{\sqrt{2\pi}} \int_{-\tau/2}^{\tau/2} E_0 \frac{e^{i\omega_0 t} - e^{-i\omega_0 t}}{2i} e^{i\omega t} dt = \frac{1}{2i} [E_1(\omega + \omega_0) - E_1(\omega - \omega_0)]$$

$$= \frac{E_0 \tau}{\sqrt{2\pi}} \frac{1}{2i} \left[\text{sinc}\left(\frac{(\omega + \omega_0)\tau}{2}\right) - \text{sinc}\left(\frac{(\omega - \omega_0)\tau}{2}\right) \right]$$



если $N \gg 1 \Rightarrow \text{sinc}(\omega + \omega_0) \ll 1 \Rightarrow |\hat{E}_2(\omega)|^2 \approx \frac{E_0^2 \tau^2}{8\pi} \text{sinc}^2\left(\frac{(\omega - \omega_0)\tau}{2}\right)$

степень монохроматичности сигнала: $\frac{\Delta \omega}{\omega_0} = \frac{\pi}{\tau \omega_0} = \frac{\pi}{N 2\pi} \sim \frac{1}{2N}$

3 спектр поля радиационно затухающего осциллятора:



$$\hat{E}_3(\omega) = \frac{E_0}{\sqrt{2\pi}} \int_0^{\infty} e^{-\gamma t} \frac{e^{i\omega_0 t} + e^{-i\omega_0 t}}{2} e^{i\omega t} dt = \frac{E_0}{2\sqrt{2\pi}} \left[\frac{1}{\gamma - i(\omega + \omega_0)} + \frac{1}{\gamma - i(\omega - \omega_0)} \right]$$

$$E_3 = E_0 e^{-\gamma t} \cos \omega_0 t \quad |\hat{f}(\omega - \omega_0)|^2 = \frac{E_0^2}{8\pi} \frac{1}{\gamma^2 + (\omega - \omega_0)^2} \Rightarrow \frac{E_3}{4\pi \gamma^2}$$

$\Delta \omega_{\text{Lin}} \sim 2\gamma$
Лоренцевский профиль спектр. линий

4 спектр поля гауссовой формы: $\bar{E}(x) = \bar{E}_0 e^{-\alpha x^2}$ ($\alpha x_1^2 = 1$)

$$E(k) = \frac{1}{\sqrt{2\pi}} \int_{-\infty}^{+\infty} E_0 e^{-\alpha x^2 - i k x} dx = \frac{E_0}{\sqrt{2\pi}} \int_{-\infty}^{+\infty} e^{-\alpha \left(x + \frac{ik}{2\alpha}\right)^2 - \frac{k^2}{4\alpha}} dx$$

$$\int_{-\infty}^{+\infty} e^{-\alpha z^2} dz = 0 = \int_{-\infty}^{+\infty} e^{-\alpha \left(x + \frac{ik}{2\alpha}\right)^2} dx + \int_{-\infty}^{+\infty} e^{-\alpha x^2} dx \Rightarrow E(k) = \frac{E_0}{\sqrt{2\pi}} \left(\int_{-\infty}^{+\infty} e^{-\alpha x^2} dx \right) e^{-\frac{k^2}{4\alpha}} = E_0 \sqrt{\frac{1}{2\alpha}} e^{-\frac{k^2}{4\alpha}}$$

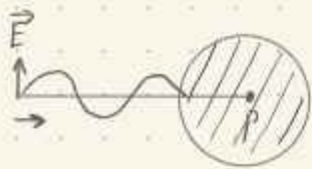


5 спектр поля модулированного гаус. сигн.: $E(x) = E_0 e^{-\alpha x^2 + i k_0 x}$

$$E(k) = \frac{1}{\sqrt{2\pi}} \int_{-\infty}^{+\infty} E_0 e^{-\alpha x^2 + i k_0 x - i k x} dx = \frac{E_0}{\sqrt{2\pi}} e^{-\frac{(k - k_0)^2}{4\alpha}}$$



Частотная дисперсия. Фазовая и групповая скорость волны



$$\vec{D}(\vec{r}, t) = \vec{E}(\vec{r}, t) + 4\pi\vec{P}(\vec{r}, t)$$

$$\vec{P}(\vec{r}, t) = \int_{-\infty}^{\infty} \vec{E}(\vec{r}, t - \tau) f(\tau) d\tau \rightarrow \sqrt{2\pi} \hat{E}(\vec{k}, \omega) \hat{f}(\omega)$$

- память атома о предыдущих колебаниях

$$\vec{D} = \vec{E} + 4\pi\vec{P} \rightarrow \hat{E}(\vec{k}, \omega) + 4\pi\sqrt{2\pi} \hat{f}(\omega) \hat{E}(\vec{k}, \omega) = \hat{E}(\vec{k}, \omega) (1 + 4\pi\sqrt{2\pi} \hat{f}(\omega)) \quad \left(\begin{array}{l} \text{принцип} \\ \text{принципности} \end{array} \right)$$

$$\vec{D}(\vec{r}, t) = \frac{1}{(2\pi)^4} \iiint \vec{E}(\vec{r}, \vec{r}', t, t') \vec{E}(\vec{r}', t') d^3r' dt'$$

- 1 если среда стационарна по t , то зависимость E будет от $t - t'$
- 2 если среда однородна по \vec{r} -ву, то E зависит от $\vec{r} - \vec{r}' \Rightarrow \vec{D}(\vec{k}, \omega) = \hat{E}(\vec{k}, \omega) \vec{E}(\vec{k}, \omega)$

$$\begin{aligned} \text{3 если переносим величины в пр-ве можно пренебречь} \Rightarrow \text{тогда} \quad \hat{E}(\vec{k}, \omega) \rightarrow E(\omega) \\ \hat{B}(\vec{k}, \omega) = \mu(\omega) \hat{H}(\vec{k}, \omega) \\ \hat{D}(\vec{k}, \omega) = E(\omega) \vec{E}(\vec{k}, \omega) \end{aligned}$$

$$\begin{aligned} [ik \times [ik \times \vec{E}(\vec{k}, \omega)]] &= \frac{i\omega}{c} \mu(\omega) [ik \times \vec{H}(\vec{k}, \omega)] = \frac{i\omega \mu(\omega)}{c} \left(\frac{-i\omega \hat{E}(\omega)}{c} \vec{E}(\vec{k}, \omega) \right) \\ ik [ik \cdot \vec{E}(\vec{k}, \omega)] + k^2 \vec{E}(\vec{k}, \omega) &= \frac{\omega^2}{c^2} E(\omega) \mu(\omega) \hat{E}(\vec{k}, \omega) \end{aligned}$$

! из ур-ний Максвелла $\Rightarrow k^2 + \frac{\omega^2}{c^2} E(\omega) \mu(\omega) = 0$ - дисперсионное ур-ние

$$k = \frac{\omega}{c} n(\omega), \text{ где } n(\omega) = \sqrt{E(\omega) \mu(\omega)} - \text{показатель преломления среды на } \omega$$



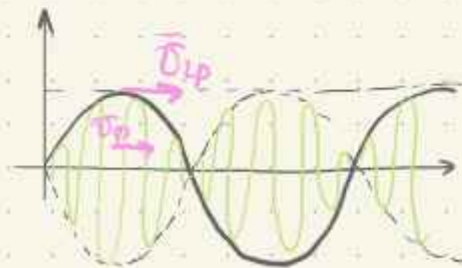
$$\vec{E}(\vec{r}, t) = E_0 e^{i(kz - \omega t)} = \vec{E}_0 e^{i(kz' - \omega t)} = \vec{E}_0 e^{ik(z' - \frac{\omega}{k}t)} = \varphi(\vec{r}, t)$$

поверхность постоянной фазы волны: $kz' - \omega t = \varphi(\vec{r}, t) = \text{const}$

$$k \frac{dz'}{dt} - \omega = 0 \Rightarrow \frac{dz'}{dt} = \frac{\omega}{k} - \text{фазовая скорость} \Rightarrow v_{\text{ф}} = \frac{\omega}{k} = \frac{c}{n(\omega)} - \text{групповая дисперсия среды}$$

расходимся суперпозицию 2-х волн в одном направлении с близкими частотами: $k + \Delta k = \frac{\omega + \Delta \omega}{c} n(\omega + \Delta \omega)$

$$\vec{E}(\vec{r}, t) = E_0 (\cos(kz - \omega t) + \cos((k + \Delta k)z - (\omega + \Delta \omega)t)) = 2E_0 \cos\left[\frac{k + \Delta k}{2}z - \frac{\omega + \Delta \omega}{2}t\right] \cdot \cos\left(\frac{\Delta k}{2}z - \frac{\Delta \omega}{2}t\right)$$

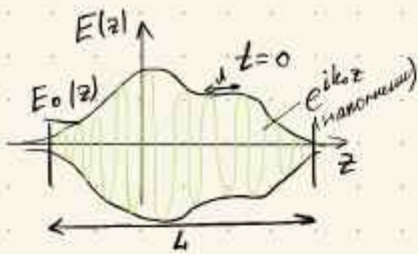


Соотношения Рэлея: дифф-ли дисп. ур-е по k :

$$v_g = \frac{d\omega}{dk} = \frac{c}{n(\omega) + \omega \frac{dn(\omega)}{d\omega}} = \frac{v_{\text{ф}}}{1 + \frac{\omega}{n(\omega)} \frac{dn(\omega)}{d\omega}}$$

нормальная дисперсия: $\frac{dn}{d\omega} > 0$ и $v_g < v_{\text{ф}}$
 аномальная дисперсия: $\frac{dn}{d\omega} < 0$ и $v_g > v_{\text{ф}}$ } могут иметь место для одной и той же среды в разных частотных интервалах

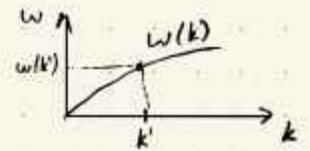
Дисперсионное расщепление волнового пакета



известно $k = \frac{\omega}{c} n(\omega) \rightarrow \omega = \omega(k)$

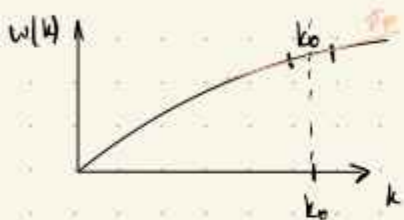
$$E(k) = \frac{1}{\sqrt{2\pi}} \int_{-\infty}^{+\infty} E_0(z) e^{i k_0 z} e^{-i k z} dz = E_0(k - k_0)$$

$$\frac{1}{\sqrt{2\pi}} \int_{-\infty}^{+\infty} E(k) e^{i k z} e^{-i \omega(k) t} dk = E(z, t) \text{ — удобн. наз. усл. и ур-я и Максвелла}$$



$$\bar{E}(z, t=0) = E_0(z) e^{i k_0 z}$$

• если пакет квазицентрированный ($k \ll 1$): $\Delta k \Delta z \sim \pi \Rightarrow \Delta k \sim \frac{\pi}{\Delta z} = \frac{\pi}{L} = \frac{2\pi}{L} \cdot \frac{1}{k} = \frac{k L}{2L} \ll k_0$

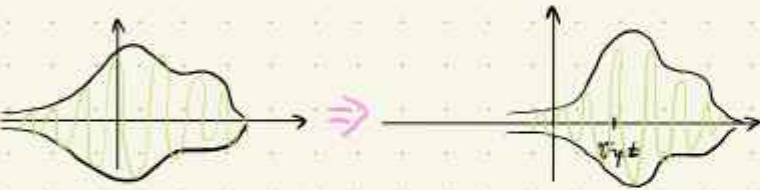


$$\omega(k)|_{k_0} \approx \omega(k_0) + \left. \frac{d\omega}{dk} \right|_{k_0} (k - k_0) + \frac{1}{2} \left. \frac{d^2\omega}{dk^2} \right|_{k_0} (k - k_0)^2 + \dots$$

$$\text{т.к. } \Delta k \ll k_0 \Rightarrow \omega(k)|_{k_0} = \omega(k_0) + v_{gr}(k - k_0)$$

$$E(z, t) = \frac{1}{\sqrt{2\pi}} \int_{-\infty}^{+\infty} E(k) e^{i k z - i \omega(k) t} dk = \frac{1}{\sqrt{2\pi}} e^{i v_{gr} t k_0 - i \omega(k_0) t} \int_{-\infty}^{+\infty} E(k) e^{i k (z - v_{gr} t)} dk =$$

$$= e^{i k_0 v_{gr} t - i \omega(k_0) t} E(z - v_{gr} t, 0) = E_0(z - v_{gr} t) e^{i k_0 z - i \omega(k_0) t}$$



- пакет движется с $v_{gr} = \frac{\omega(k_0)}{k_0}$
- нахождение пакета с $v_{gr} = \frac{\omega(k_0)}{k_0}$
- если дисп. соотнош. линеарно по k \Rightarrow волновой пакет не меняет своей формы

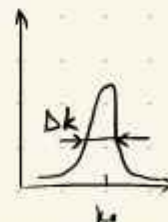
• учесть в разложении $\omega(k)$ след. слагаемое: $\omega = \omega_0 + v_{gr}(k - k_0) + \frac{\omega''}{2} (k - k_0)^2$

$$E(z, t) = \frac{1}{\sqrt{2\pi}} \int_{-\infty}^{+\infty} E(k) e^{i k z - i \omega_0 t - i v_{gr} t (k - k_0) - i \frac{\omega''}{2} (k - k_0)^2 t} dk$$

— так, при котором $\frac{\omega''}{2} (k - k_0)^2 t \ll \pi \Rightarrow t \leq \frac{2\pi}{\omega'' \Delta k^2} \sim \frac{L^2}{\omega''} \Rightarrow$ длина пакета почти не меняется

$$— t \gg \tau: \omega'' = \frac{d^2\omega}{dk^2} = \frac{d}{dk} \frac{d\omega}{dk} = \frac{d}{dk} v_{gr} \approx \frac{\Delta v_{gr}}{\Delta k} \Rightarrow$$

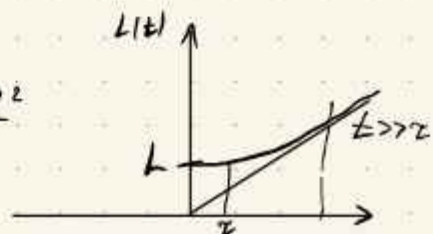
$$\Rightarrow \Delta v_{gr} \sim \omega'' \Delta k \Rightarrow \Delta L(t) = \Delta v_{gr} \cdot t$$



где разб. пакета можно использовать формулу для $L(t)$, полуз. для гаусс. пакета (тогда):

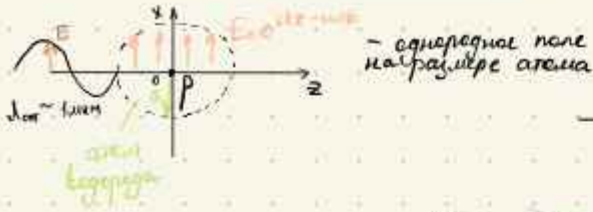
$$L(t) \approx \sqrt{L^2 + \Delta v_{gr}^2 t^2}$$

$$L(t) \approx \sqrt{L^2 + (\omega'' \Delta k t)^2}, \text{ при } t \gg \tau \text{ } (\omega'' \Delta k t)^2 \ll L^2$$



Классическая теория дисперсии света в среде

- модель разреженного нейтрального газа:
- 1) пренебрегаем взаим. г. газа между собой
 - 2) действующим на атом эл. поле = $E_{\text{вн}}$
 - 3) пренебрегаем действием магн. поля.



$$\vec{F}_{E-p} = |e| \cdot E_{\text{равн. зар. шара}} = |e| \frac{4}{3} \pi \rho_e (-\vec{z}_e) \Rightarrow$$

$$\vec{F}_{p-e} = - \left(e \frac{4}{3} \pi \frac{e}{a^3} (-\vec{z}_e) \right) = - \frac{e^2 \vec{z}_e}{a^3}$$

$$m \ddot{\vec{z}}_e = e \vec{E}_0 e^{i(kz - \omega t)} - \frac{e^2 \vec{z}_e}{a^3} + e \left[\frac{\vec{z}_e \times \vec{H}_0}{c} \right] e^{ikz - i\omega t} \Rightarrow \ddot{\vec{z}}_e + \omega_0^2 \vec{z}_e + 2\gamma \dot{\vec{z}}_e = \frac{e \vec{E}_0}{m} e^{-i\omega t}$$

пусть $\vec{z}_e(t) = \vec{z}_0 e^{-i\omega t} \Rightarrow \vec{z}_0 (-\omega^2 + \omega_0^2 - 2i\gamma\omega) = \frac{e \vec{E}_0}{m} \Rightarrow \vec{z}_e(t) = \frac{e \vec{E}_0 e^{-i\omega t}}{m(\omega_0^2 - \omega^2 - 2i\gamma\omega)}$

$$\vec{D} = e \vec{z}_e(t) \Rightarrow \vec{D} = \vec{E} + 4\pi \vec{P} = E_0 e^{-i\omega t} + 4\pi n_e \vec{D}(t) = E_0 e^{-i\omega t} + \frac{4\pi n_e e^2}{m(\omega_0^2 - \omega^2 - 2i\gamma\omega)} E_0 e^{-i\omega t}$$

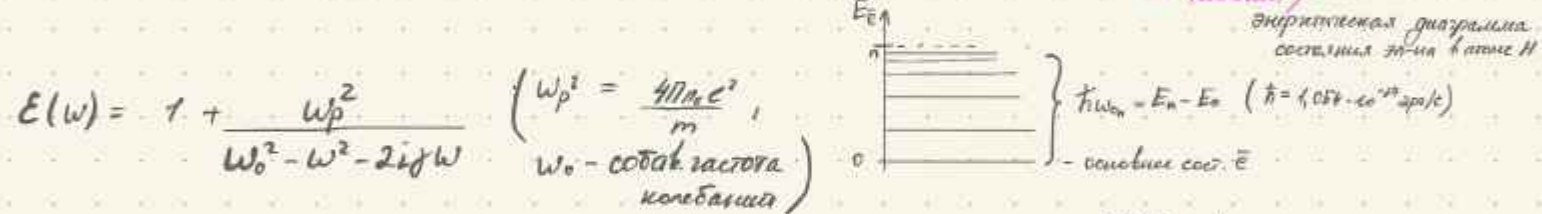
$$= \vec{E} \left(1 + \frac{4\pi n_e e^2}{m(\omega_0^2 - \omega^2 - 2i\gamma\omega)} \right) = \vec{E} \epsilon(\omega)$$

обобщение выражения для $\epsilon(\omega)$ для многоэлектронного атома:

$$\epsilon(\omega) = 1 + \frac{4\pi e^2 N_e}{m_e} \sum_{n=0}^{\infty} \frac{f_n}{\omega_{0n}^2 - \omega^2 - 2i\gamma_n \omega}$$

f_n - сила осциллятора ω_{0n} и γ_n

$\sum f_n = 1$ (вероятность перехода с n-го уровня в нижний)



$$\epsilon(\omega) = 1 + \frac{\omega_p^2}{\omega_0^2 - \omega^2 - 2i\gamma\omega}$$

$\omega_p^2 = \frac{4\pi n_e e^2}{m}$

ω_0 - собственная частота колебаний

дисперсия вблизи мин. пом. $\epsilon(\omega) \approx 1 - \frac{\omega_p^2}{2\omega_0(\Delta\omega + i\gamma)} = 1 - \frac{\omega_p^2}{2\omega_0} \left(\frac{\Delta\omega}{\gamma^2 + 1} - i \right)$

$\omega = \omega_0 + \Delta\omega, \Delta\omega \ll \omega_0$

$$n(\omega) \approx \sqrt{\epsilon(\omega)} \approx \left[\text{при } \frac{\omega_p^2}{\omega_0^2} \ll 1 \right] \approx 1 - \frac{\omega_p^2}{4\omega_0\gamma} \frac{\Delta\omega/\gamma + i}{(\Delta\omega/\gamma)^2 + 1} + \frac{i\omega_p^2}{4\omega_0\gamma} \frac{1}{(\Delta\omega/\gamma)^2 + 1}$$



дисперсия вдали

$|\omega_0^2 - \omega^2| \gg 2\gamma\omega$

$$\epsilon(\omega) = n^2(\omega) \approx 1 + \frac{\omega_p^2}{\omega_0^2 - \omega^2}$$

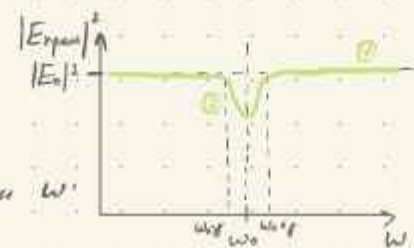
$$n(\omega) = \sqrt{1 + \frac{\omega_p^2}{\omega_0^2 - \omega^2}} \approx 1 + \frac{\omega_p^2}{2(\omega_0^2 - \omega^2)}$$



$$\vec{E}(z, t) = E_0 e^{i(kz - \omega t)} \Rightarrow k(\omega) = \frac{\omega \sqrt{\epsilon(\omega)} n(\omega)}{c} = \frac{\omega n(\omega)}{c} = \frac{\omega}{c} [\text{Re} n(\omega) + i \text{Im} n(\omega)]$$

$$\vec{E}(z, t) = \vec{E}_0 e^{i \frac{\omega}{c} \text{Re} n(\omega) \cdot z - i\omega t} \cdot e^{-\frac{\omega}{c} \text{Im} n(\omega) z}$$

какой спектр получим на выходе?



- 1) вдали от линии поглощения величина поля почти не уменьшается (но поглощения отдаленного газа)
 - 2) линии поглощения данного газа
- В реальном эксперименте видно много линий поглощения

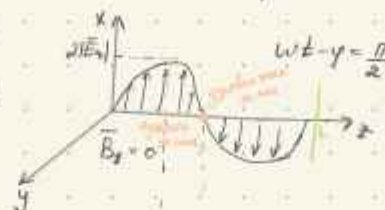
спектр прошедших волн с разными ω

Стоячие элмг волны. Резонаторы. Собств колебания и частоты в прямоугольном осцилляторе

$\vec{E}=0$ at $z=0$. Incident wave: $\vec{E}_0 e^{ikz - i\omega t} = E_{\text{inc}}$. Reflected wave: $\vec{E}_r = -\vec{E}_0 e^{-ikz - i\omega t}$. Total electric field: $\vec{E}_z = \vec{E}_{\text{inc}} + \vec{E}_r = \vec{E}_0 e^{ikz - i\omega t} - \vec{E}_0 e^{-ikz - i\omega t} = -2i\vec{E}_0 \sin(kz) e^{-i\omega t}$.
 Magnetic field: $\vec{B}_z = [-\vec{e}_z \times \vec{E}_{\text{inc}}] + [\vec{e}_z \times \vec{E}_r] = -[\vec{e}_z \times \vec{E}_0] 2 \cos(kz) e^{-i\omega t}$.

пример 1: падающая волна - плоскопараллельная: $\vec{E}_0 = \hat{e}_x \bar{E}_0 = |\bar{E}_0| e^{i\psi} \hat{e}_x$

$\text{Re } \vec{E}_z(z,t) = -2\hat{e}_x |\bar{E}_0| \sin(kz) \sin(\omega t - \psi)$
 $\text{Re } \vec{B}_z(z,t) = -2\hat{e}_y |\bar{E}_0| \cos(kz) \cos(\omega t - \psi)$



узловые точки ЭМ поля: $z_n = \frac{\pi l}{k}, m = -\infty, -1, 0, 1, \dots, \infty$

пучности ЭМ поля: $z_n = \frac{\pi l}{k} + \frac{\pi}{2}, m = 0, 1, 2, \dots$

- если на $z=l$ помещаем еще одно зеркало \rightarrow получаем плоский резонатор $\Rightarrow l_m = \frac{\pi m}{k}$

- если l задано $\Rightarrow k_m = \frac{m\pi}{l}, \omega_m = \frac{m\pi c}{l}$

опр: любая полость, ограниченная идеально проводящими стенками, является резонатором для ЭМ-колебаний.

источники возбуждений:

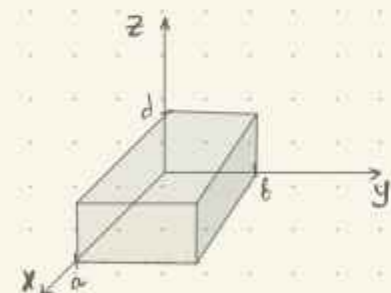
- 1) итер с переменным напряжением.
- 2) петля с переменным током
- 3) пучок заряженных частиц с переменным током

можно возбуждать колебания, если $\omega_{\text{ит}} \approx \omega_{\text{св}}$ частотой резонатора

$\vec{E}(z,t) = \vec{E}(z) e^{-i\omega t}$
 $\vec{B}(z,t) = \vec{B}(z) e^{-i\omega t} \Rightarrow \text{rot } \vec{E}(z) = \frac{i\omega \mu(\omega) H(z)}{c}$
 $\text{rot } \vec{B}(z) = -\frac{i\omega \epsilon(\omega)}{c} \vec{E}(z)$

$\Delta \vec{E}(z) + \frac{\omega^2 \mu(\omega) \epsilon(\omega)}{c^2} \vec{E}(z) = 0$
 $\text{div } \vec{E}(z) = 0 + \text{Г.Ч.} : E_z|_r = 0$

- из решения задачи Штурма-Лиувилля следует:
- нетрив. реш-е только для стр-х ω (собств. числ), их бесконечный ряд
 - с.ф. соот. с.з. ω образуют базис
 - $\min \omega \sim c/l_{\text{хар.р-р резонатора}}$



$\Delta \vec{E}(z) + \frac{\omega^2 \mu \epsilon}{c^2} \vec{E}(z) = 0 \Rightarrow E_x(x,y,z) = E_1(x) E_2(y) E_3(z)$ - м-я разделение переменных

фиксируем y, z , меняем x : $\Rightarrow \frac{1}{E_1(x)} \frac{d^2}{dx^2} E_1(x) = \text{const} = -k_0^2$

спрайт: $k_0 > 0$ и $k_0 = 0$ не подходят из-за невыполнения гранич. усл-ий
 $k_0 < 0$: $E_1(x) = A_1 \sin(\sqrt{k_0} x + \psi)$

Пусть $k_0 = -k_x^2$, тогда из (*): $-k_x^2 - k_y^2 - k_z^2 + \frac{\omega^2 \mu}{c^2} = 0 \Rightarrow E_x(x,y,z) = A \sin(k_x x + \psi_x) \sin(k_y y + \psi_y) \sin(k_z z + \psi_z)$

подставим в Г.Ч.: $k_x = \frac{n_x \pi}{a}, k_y = \frac{n_y \pi}{b}, k_z = \frac{n_z \pi}{d}$

$\frac{\epsilon(\omega) \mu(\omega) \omega_{n_x, n_y, n_z}^2}{c^2} = \left(\frac{n_x \pi}{a}\right)^2 + \left(\frac{n_y \pi}{b}\right)^2 + \left(\frac{n_z \pi}{d}\right)^2$ - собств.-я мода колебаний (*)

$\text{div } \vec{E} = 0 \Rightarrow E_x = A \cos(k_x x) \sin(k_y y) \sin(k_z z) e^{-i\omega_{n_x, n_y, n_z} t}$
 $E_y = B \sin(k_x x) \cos(k_y y) \sin(k_z z) e^{-i\omega_{n_x, n_y, n_z} t}$
 $E_z = \left(\frac{A k_x + B k_y}{k_z}\right) \sin(k_x x) \sin(k_y y) \cos(k_z z) e^{-i\omega_{n_x, n_y, n_z} t}$

м.п. модн: $\vec{B}(z,t) = \frac{c}{i\omega_{n_x, n_y, n_z}} \text{rot } \vec{E}(z,t)$

основная мода - варьируем n_i в (*) $\Rightarrow n_x = 1, n_y = n_z = 0 \Rightarrow \omega_{\min} = \frac{c}{\sqrt{\epsilon \mu}} \sqrt{\left(\frac{\pi}{a}\right)^2 + \left(\frac{\pi}{b}\right)^2}$

опр: с мин-ной частотой

опр: волноводом наз-ся бесконечный цилиндр произвольного сечения с проводящими стенками (одинаковая форма сечения вдоль оси цилиндра)



$$\begin{aligned} \vec{E}(\vec{r}, t) &= \vec{E}(x, y) e^{ik_z z - i\omega t} \\ \vec{B}(\vec{r}, t) &= \vec{B}(x, y) e^{ik_z z - i\omega t} \end{aligned} \quad \left| \Rightarrow \text{подставим в ур-я Максвелла} \right.$$

$$\begin{aligned} \omega \epsilon \vec{E}(\vec{r}) &= \frac{i\omega \mu(\omega)}{c} H(\vec{r}), \quad \omega \mu H(\vec{r}) = -\frac{i\omega \epsilon(\omega)}{c} \vec{E}(\vec{r}) \\ \text{div } \vec{D}(\vec{r}) &= 0, \quad \text{div } \vec{B}(\vec{r}) = 0 \end{aligned}$$

$$\begin{aligned} \nabla_{\perp} E_z(x, y) - ik_z \vec{E}_{\perp}(x, y) &= \frac{i\omega \mu(\omega)}{c} [\vec{e}_z \times H_{\perp}(x, y)] \\ \nabla_{\perp} H_z(x, y) - ik_z \vec{H}_{\perp}(x, y) &= \frac{i\omega \epsilon(\omega)}{c} [\vec{e}_z \times \vec{E}_{\perp}(x, y)] \end{aligned} \quad \left| (H_{\perp} \rightarrow E_{\perp}) \Rightarrow \mathcal{L}^2 = \frac{\omega^2 \epsilon \mu - k_z^2}{c^2} \right.$$

$$\begin{aligned} \vec{E}_{\perp}(x, y) &= \frac{ik_z}{\mathcal{L}^2} \nabla_{\perp} E_z - \frac{i\omega \mu}{c \mathcal{L}^2} [\vec{e}_z \times \nabla_{\perp} H_z] \\ \vec{H}_{\perp}(x, y) &= \frac{ik_z}{\mathcal{L}^2} \nabla_{\perp} H_z + \frac{i\omega \epsilon}{c \mathcal{L}^2} [\vec{e}_z \times \nabla_{\perp} E_z] \end{aligned} \quad \begin{aligned} \Delta_{\perp} E_z(x, y) + \mathcal{L}^2 E_z(x, y) &= 0 \\ \Delta_{\perp} H_z(x, y) + \mathcal{L}^2 H_z(x, y) &= 0 \end{aligned} \quad \begin{aligned} E_z|_r=0 &\Rightarrow E_z|_r=0 \text{ и } \frac{\partial E_z}{\partial n}|_r=0 \\ H_z|_r=0 &\Rightarrow H_z|_r=0 \text{ и } \frac{\partial H_z}{\partial n}|_r=0 \end{aligned}$$

для E-волн: $\Delta_{\perp} E_z(x, y) + \mathcal{L}^2 E_z(x, y) = 0$
+ ГЧ: $E_z|_r = 0$ (условие Дирихле)

для H-волн: $\Delta_{\perp} H_z(x, y) + \mathcal{L}^2 H_z(x, y) = 0$
+ ГЧ: $\frac{\partial H_z}{\partial n}|_r = 0$ (условие Неймана)

Эти ур-ния + ГЧ задают задачу Ш-Л на соотв.зв и соотв. функции



① H-волна: метод разд-я переменных $\Rightarrow B_z(x, y) = B_1(x) B_2(y)$

$$\frac{1}{B_1(x)} \frac{d^2 B_1(x)}{dx^2} + \frac{1}{B_2(y)} \frac{d^2 B_2(y)}{dy^2} + \mathcal{L}^2 = 0 \Rightarrow B_z(x, y) = B_0 \sin(k_x x + d_x) \sin(k_y y + d_y)$$

ГЧ: $d_x = \frac{\pi}{2} + \pi n, d_y = \frac{\pi}{2} + \pi n, k_x = \frac{\pi n_x}{a}, k_y = \frac{\pi n_y}{b}$

$$\begin{aligned} \vec{B}_{\perp} &= \frac{ik_z}{\mathcal{L}^2 n_{xy}} \left(\vec{e}_x \frac{\partial}{\partial x} + \vec{e}_y \frac{\partial}{\partial y} \right) B_z(\vec{r}, t) \\ \vec{E}_{\perp} &= -\frac{i\omega \mu_{xy}}{c \mathcal{L}^2 n_{xy}} [\vec{e}_z \times (\vec{e}_x \frac{\partial}{\partial x} + \vec{e}_y \frac{\partial}{\partial y}) B_z] \end{aligned}$$

$$B_z(x, y) = B_0 \cos(k_x x) \cos(k_y y)$$

$$\mathcal{L}^2 = \frac{\omega^2 \epsilon \mu - k_z^2}{c^2} = k_x^2 + k_y^2 \Rightarrow \omega_{n_x, n_y} = \frac{c}{\sqrt{\epsilon \mu}} \sqrt{k_z^2 + \left(\frac{\pi}{a}\right)^2 + \left(\frac{\pi}{b}\right)^2}$$

пусть $n_x = 1, n_y = 0$: $\omega_{10} = \frac{c}{\sqrt{\epsilon \mu}} \sqrt{k_z^2 + \left(\frac{\pi}{a}\right)^2} \Rightarrow \omega_{c2} = \frac{c}{\sqrt{\epsilon \mu}} \frac{\pi}{a}$ - критическая частота

при $\omega_{\text{вход}} < \omega_{c2}$ волна будет затухать в волновод

② E-волна:

$$\begin{aligned} \left(\frac{\partial^2}{\partial x^2} + \frac{\partial^2}{\partial y^2} \right) E_z(x, y) + \mathcal{L}^2 E_z(x, y) &= 0 \quad \oplus \quad \text{div } \vec{E} = 0 \\ E_z|_r &= 0 \end{aligned}$$

$$E_z = E_0 \sin(k_x x + d_x) \sin(k_y y + d_y)$$

$$\vec{B}_{\perp} = \frac{i\omega \mu_{xy} \epsilon \mu}{c \mathcal{L}^2 n_{xy}} [\vec{e}_z \times (\vec{e}_x \frac{\partial}{\partial x} + \vec{e}_y \frac{\partial}{\partial y}) E_z]$$

$$E_{\perp} = \frac{ik_z}{\mathcal{L}^2 n_{xy}} (\vec{e}_x \frac{\partial}{\partial x} + \vec{e}_y \frac{\partial}{\partial y}) E_z(\vec{r}, t)$$

ω_{c2} при E_{11} (при $n_x=0, n_y=0$ E-волн нет)

Волновод как среда с дисперсией. TEM волна



! для многосвязных волноводов (2 и более) существует TEM-волна

$$\Rightarrow \bar{E}_z \text{ и } \bar{B}_z = 0$$

односвязный волновод 3-х связный волновод

$$\nabla_{\perp} E_z - \frac{\partial}{\partial z} \bar{E}_1 = \frac{i\omega}{c} [\bar{e}_z \times \bar{B}_1]$$

$$\nabla_{\perp} B_z - \frac{\partial}{\partial z} \bar{B}_1 = \frac{-i\omega\epsilon\mu}{c} [\bar{e}_z \times \bar{E}_1]$$

$$E_1(\bar{z}, t) = E_1(x, y) e^{ik_z z - i\omega t}$$

и

$$B_1(\bar{z}, t) = B_1(x, y) e^{ik_z z - i\omega t}$$

$$ik_z \bar{E}_1 e^{i\dots} = \frac{i\omega}{c} [\bar{e}_z \times \bar{B}_1 e^{i\dots}] \Rightarrow \bar{E}_1 = \frac{\omega}{ck_z} [\bar{e}_z \times \bar{B}_1] \Rightarrow E_1 \perp B_1$$

$$ik_z \bar{B}_1 = \frac{i\omega}{c} \epsilon\mu [\bar{e}_z \times \bar{E}_1] \Rightarrow \bar{B}_1 = \frac{\omega\epsilon\mu}{ck_z} [\bar{e}_z \times \bar{E}_1]$$

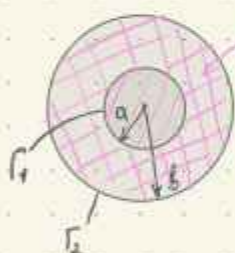
$\Rightarrow E_1, B_1, \bar{e}_z$ - правая тройка

$$E_1 = -\frac{\omega^2 \epsilon\mu}{c^2 k_z^2} [\bar{e}_z \times [\bar{e}_z \times E_1]] = -\frac{\omega^2 \epsilon\mu}{c^2 k_z^2} [\bar{e}_z (\bar{e}_z \cdot E_1) - E_1 (\bar{e}_z \cdot \bar{e}_z)] \Rightarrow \frac{\omega^2 \epsilon\mu}{c^2} = k_z^2$$

если ϵ, μ не зависят от $\omega \Rightarrow \omega = \frac{c}{\sqrt{\epsilon\mu}} k_z$ - лям. дисперсионное ур-ние $\Rightarrow v_g = \frac{d\omega}{dk_z} = \frac{c}{\sqrt{\epsilon\mu}} = \text{const}$

(пакеты не меняют форму)

коаксиальный кабель:



$$(\text{rot } E)_z = \frac{i\omega}{c} B_z = 0 + \text{div } \bar{E} = 0$$

$$\begin{cases} \frac{\partial E_x}{\partial x} - \frac{\partial E_y}{\partial y} = 0 \\ \frac{\partial E_x}{\partial x} + \frac{\partial E_y}{\partial y} = 0 \end{cases} \oplus \begin{cases} E_z|_{r_1} = 0 \\ E_z|_{r_2} = 0 \end{cases}$$

решение ищем в виде: $E_1 = -\nabla_{\perp} \psi \Rightarrow E_x = -\frac{\partial \psi}{\partial x}, E_y = -\frac{\partial \psi}{\partial y}$

$$\frac{\partial}{\partial x} \left(-\frac{\partial \psi}{\partial y} \right) - \frac{\partial}{\partial x} \left(\frac{\partial \psi}{\partial x} \right) = 0 \Rightarrow \text{ур-е } \text{rot } \bar{E} = 0 \text{ удовл-ся}$$

$$\text{div } E = \frac{\partial E_x}{\partial x} + \frac{\partial E_y}{\partial y} + \frac{\partial E_z}{\partial z} \Rightarrow \left(\frac{\partial^2}{\partial x^2} + \frac{\partial^2}{\partial y^2} \right) \psi = 0 \Rightarrow \Delta_{\perp} \psi(x, y) = 0$$

$$\Delta \psi = 0, \psi|_{r_1} = 0 \Rightarrow \psi = \text{const} \quad (\text{односвязный конт-р})$$

$$\Delta \psi = 0, \psi|_{r_1} = A, \psi|_{r_2} = B \quad (\text{двусвязный конт-р})$$

круговой волновод:



$$\frac{1}{2} \frac{\partial}{\partial z} \left(2 \frac{\partial \psi}{\partial z} \right) - \frac{\partial^2 \psi}{\partial \theta^2} = 0 \quad (\text{пусть } \psi \neq \psi(\theta))$$

$$\frac{\partial^2 \psi}{\partial z^2} = \text{const} = D \Rightarrow \psi = D \ln z + F$$

$$\psi|_b = 0, \psi|_a = U \Rightarrow \begin{cases} D \ln b + F = 0 \\ D \ln a + F = U \end{cases} \Rightarrow D = \frac{U}{\ln a/b}, F = -\frac{U}{\ln a/b} \ln b$$

$$\psi(z) = \frac{U}{\ln a/b} \ln \frac{z}{b} = \frac{U \ln \frac{z}{b}}{\ln \frac{a}{b}} \Rightarrow \bar{E}_1 = \bar{e}_z \frac{U}{\ln a/b} \cdot \frac{1}{z} e^{ik_z z - i\omega t}$$

$$\bar{B}_1 = \frac{U}{\ln a/b} \cdot \frac{1}{z} e^{ik_z z - i\omega t} \frac{\omega \epsilon \mu}{ck_z} [\bar{e}_z \times \bar{e}_z]$$

Приближение геометрической оптики. Уравнение эйконала.
Уравнение луча

для полей $\vec{E}(\vec{z}, t) \sim e^{-i\omega t}$ решение для волн : $\frac{n_1 \vec{\Delta z}_1}{\Delta z_1} e^{ik_1 \Delta z_1 + i k_2 \Delta z_2 + \dots} = \frac{n_2 \vec{\Delta z}_2}{\Delta z_2} e^{ik_2 \Delta z_2 + i k_1 \Delta z_1 + \dots} = e^{ik_0 (n_1 \Delta z_1 + n_2 \Delta z_2 + \dots)} = e^{ik_0 \int n \cdot d\vec{z}}$
 $\vec{B}(\vec{z}, t) \sim e^{i\omega t}$ в однородной среде + модификация $k_0 = \frac{\omega}{c}$
 $n(\vec{z})$ - показатель преломления

масштабируем $\vec{E}_0(\vec{z})$ и $\vec{B}_0(\vec{z}) \sim \hbar$ и подставим реш. в ур-е Максвелла:

$$k_0 \Psi(\vec{z}) = (k_0 n, \vec{z}) \Rightarrow \Psi(\vec{z}) = \left(\frac{k_0}{k_0} n, \vec{z} \right) \Rightarrow$$

$$[\nabla \times \vec{E}_0(\vec{z}) e^{ik_0 \Psi(\vec{z}) - i\omega t}] = e^{ik_0 \Psi(\vec{z}) - i\omega t} [\nabla \times \vec{E}_0(\vec{z})] + [\nabla e^{ik_0 \Psi(\vec{z})} \times \vec{E}_0(\vec{z})] e^{-i\omega t} = e^{ik_0 \Psi(\vec{z}) - i\omega t} [\nabla \times \vec{E}_0(\vec{z}) +$$

$$+ i k_0 [\nabla \Psi(\vec{z}) \times \vec{E}_0(\vec{z})] = \frac{i\omega}{c} \vec{B}_0(\vec{z}) e^{ik_0 \Psi(\vec{z}) - i\omega t} \Rightarrow [\nabla \Psi(\vec{z}) \times \vec{E}_0(\vec{z})] = \vec{B}_0(\vec{z}) \quad (1)$$

$$[\nabla \Psi(\vec{z}) \times \vec{H}_0(\vec{z})] = -\epsilon(\vec{z}, \omega) \vec{E}_0(\vec{z})$$

$$[\nabla \Psi(\vec{z}) \times \vec{B}_0(\vec{z})] = -\epsilon(\vec{z}, \omega) \mu(\vec{z}, \omega) \vec{E}_0(\vec{z})$$

$$1 \rightarrow 2: [\nabla \Psi \times [\nabla \Psi \times \vec{E}_0(\vec{z})]] = -\epsilon(\vec{z}, \omega) \mu(\vec{z}, \omega) \vec{E}_0(\vec{z}) \Rightarrow |\Psi(\vec{z})| = n(\vec{z}) - \text{ур-е Эйкона}$$

$$\nabla \Psi (\nabla \Psi, \vec{E}_0(\vec{z})) - \vec{E}_0(\vec{z}) |\nabla \Psi|^2 = -\epsilon(\vec{z}, \omega) \mu(\vec{z}, \omega) \vec{E}_0(\vec{z}) \quad n(\vec{z}) = \epsilon(\vec{z}, \omega) \mu(\vec{z}, \omega)$$

$$\frac{d\vec{z}}{ds} = \vec{e}_{\nabla \Psi}; \quad \nabla \Psi = n(\vec{z}) \frac{d\vec{z}}{ds} - \text{траектория луча}$$

$$\frac{d}{ds}(\nabla \Psi) = (\vec{e}_{\nabla \Psi}, \nabla) \nabla \Psi = \left(\frac{\nabla \Psi}{n}, \nabla \right) \nabla \Psi \quad (*) - \text{производная } \nabla \Psi \text{ вдоль луча}$$

$$\nabla(\nabla \Psi, \nabla \Psi) - (\nabla \Psi, \nabla) \nabla \Psi = [\nabla \Psi \times \text{rot } \nabla \Psi] = 0$$

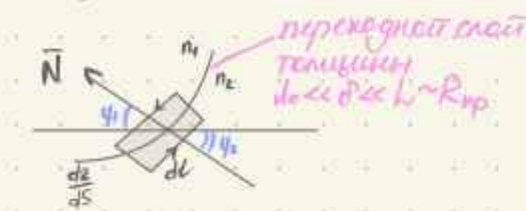
$$\text{расши-м } [\vec{a}(\vec{z}) \times [\nabla \times \vec{b}(\vec{z})]] = \nabla(a(\vec{z}), b(\vec{z})) - b(\vec{z}) (a(\vec{z}), \nabla) \Rightarrow [\vec{a} = \vec{b}] \Rightarrow$$

$$\Rightarrow [a(\vec{z}) \times \text{rot } \vec{a}] = \nabla \frac{a^2}{2} - (\vec{a}, \nabla) \vec{a} \Rightarrow [a = \nabla \Psi] \Rightarrow$$

$$\Rightarrow [\nabla \Psi \times \text{rot } \nabla \Psi] = \nabla \frac{(\nabla \Psi)^2}{2} - (\nabla \Psi, \nabla) \nabla \Psi = \frac{1}{n(\vec{z})} \nabla \frac{|\nabla \Psi|^2}{2} = \frac{1}{n(\vec{z})} \nabla \frac{n^2(\vec{z})}{2} = \nabla n(\vec{z})$$

$$\Rightarrow \frac{d}{ds} \left(n(\vec{z}) \frac{d\vec{z}}{ds} \right) = \nabla n(\vec{z}) - \text{уравнение луча}$$

Где ур-ние луча:



$$\oint (\nabla \Psi, d\vec{l}) = 0 \text{ (пот. поля)} \Rightarrow \oint (\nabla \Psi, d\vec{l}) = \oint n(\vec{z}) \left(\frac{d\vec{z}}{ds}, d\vec{l} \right) = 0$$

$$\Rightarrow n_2 d\vec{l} \left(\frac{d\vec{z}}{ds} \right)_z - n_1 d\vec{l} \left(\frac{d\vec{z}}{ds} \right)_z = 0 \Rightarrow n_2 \sin \varphi_2 = n_1 \sin \varphi_1$$

опр: геом. оптика - теория на основе малого параметра: $\frac{l}{L} \ll 1$

Принцип Ферма. Получение из него уравнения луча.

принцип Ферма: оптическая длина пути реального луча, выходящего из т. P_1 в т. P_2 , меньше или равна оптической длине \forall др. кривой, содержащей эти точки



$$\int_{P_1}^{P_2} n(\vec{r}) dS \rightarrow \min$$

$$\int_1^2 n(\vec{r}) dS = \int_1^2 n(\vec{r}) \underbrace{\sqrt{\dot{x}^2 + \dot{y}^2 + \dot{z}^2}}_{\substack{\text{функция Лангранжа} \\ L(\vec{r}, \dot{\vec{r}})}} dt \rightarrow \min \Rightarrow \frac{d}{dt} \left(\frac{\partial L}{\partial \dot{y}} \right) = \frac{\partial L}{\partial y} \Rightarrow$$

оптический путь

$$\Rightarrow \begin{cases} \frac{d}{dt} \left(n(\vec{r}) \cdot \frac{2x}{2\sqrt{\dot{x}^2 + \dot{y}^2 + \dot{z}^2}} \right) = \sqrt{\dot{x}^2 + \dot{y}^2 + \dot{z}^2} \frac{\partial n}{\partial x} \\ \frac{d}{dt} \left(n(\vec{r}) \cdot \frac{\dot{y}}{\sqrt{\dot{x}^2 + \dot{y}^2 + \dot{z}^2}} \right) = \sqrt{\dot{x}^2 + \dot{y}^2 + \dot{z}^2} \frac{\partial n}{\partial y} \\ \frac{d}{dt} \left(n(\vec{r}) \cdot \frac{\dot{z}}{\sqrt{\dot{x}^2 + \dot{y}^2 + \dot{z}^2}} \right) = \sqrt{\dot{x}^2 + \dot{y}^2 + \dot{z}^2} \frac{\partial n}{\partial z} \end{cases} (*)$$

Разделим \forall из (*) на свой орт и сложим:

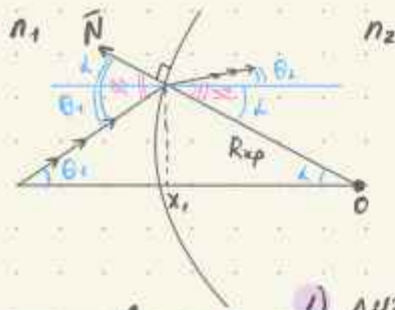
$$\frac{d}{dt} \left(n(\vec{r}) \cdot \frac{e_x \dot{x} + e_y \dot{y} + e_z \dot{z}}{\sqrt{\dot{x}^2 + \dot{y}^2 + \dot{z}^2}} \right) = \sqrt{\dot{x}^2 + \dot{y}^2 + \dot{z}^2} \nabla n \Rightarrow \frac{d}{ds} \left(n(\vec{r}) \frac{d\vec{r}}{ds} \right) = \nabla n$$

$\frac{d}{dt}$ $\frac{d\vec{r}}{ds}$
единичный в-р $\vec{u} = \frac{d\vec{r}}{ds}$
вдоль луча

ур-ние луча

Преломление луча на сферической поверхности в параксиальном приближении

Формула тонкой линзы:



- есть плоскость, проходящая через луч и т.О. (плоскость оптической оси)
- если $R_{cp} \gg d$: $n_1 \sin \theta_1 = n_2 \sin \theta_2$
 $n_1(\theta_1 + d) = n_2(\theta_2 + d)$, $d = \arcsin \frac{x_1}{R_{cp}} \approx \frac{x_1}{R_{cp}}$ или $\left(\frac{x}{x'}\right) = \left(\frac{x}{d}\right) \parallel \left(\frac{x}{d}\right) = \left(\frac{y}{d^2}\right)$
- луч в средах с $n = \text{const}$ будет преломляться

правила:

- 1) луч удаляется от оси $\rightarrow \frac{dx}{dz} > 0, \theta > 0$
- 2) луч приближается к оси $\rightarrow \frac{dx}{dz} < 0, \theta < 0$
- 3) $\rightarrow (\Rightarrow R_{cp} > 0, \text{ если } \rightarrow) R_{cp} < 0$

• ур-ние при переходе лучом границы: $x_2 = x_1$: $n_1(x_1' + \frac{x_1}{R_{cp}}) = n_2(x_2' + \frac{x_2}{R_{cp}})$

$$x_2' = \frac{n_1}{n_2} x_1' - \left(1 - \frac{n_1}{n_2}\right) \frac{x_1}{R_{cp}} = \frac{n_1}{n_2} x_1' - \frac{x_1}{F_{12}}, \text{ где } F_{12} = \frac{1}{\frac{n_2 - n_1}{n_2 R_{cp}}}$$

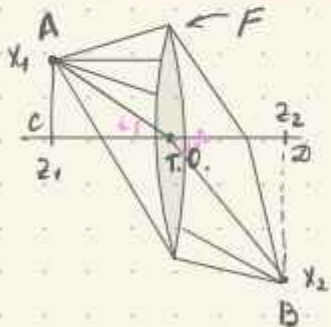
$$\begin{pmatrix} x_2 \\ x_2' \end{pmatrix} = \begin{pmatrix} 1 & 0 \\ -\frac{1}{F_{12}} & \frac{n_1}{n_2} \end{pmatrix} \begin{pmatrix} x_1 \\ x_1' \end{pmatrix} = M_{21} \begin{pmatrix} x_1 \\ x_1' \end{pmatrix} \quad \left[\begin{array}{l} \text{в терминах } \begin{pmatrix} x_2 \\ x_2' \end{pmatrix} = \begin{pmatrix} 1 & 0 \\ -\frac{n_2}{F_{12}} & 1 \end{pmatrix} \begin{pmatrix} x_1 \\ x_1' \end{pmatrix} \\ \text{удобство: } \det M = 1 \end{array} \right]$$

M_{21} , чтобы $A_{ij} x_j$



$$\begin{pmatrix} x_2 \\ x_2' \end{pmatrix} = \begin{pmatrix} 1 & z_2 - z_1 \\ 0 & 1 \end{pmatrix} \begin{pmatrix} x_1 \\ x_1' \end{pmatrix} - \text{преобр-е координат в однородной среде}$$

• поместим в т.А(x_1, z_1) источник, а в т.В(x_2, z_2) - изображение (точки А и В наз-ся сопряженными):



$$\begin{pmatrix} x_2 \\ x_2' \end{pmatrix} = \begin{pmatrix} 1 & z_2 \\ 0 & 1 \end{pmatrix} \begin{pmatrix} 1 & 0 \\ -1/F & 1 \end{pmatrix} \begin{pmatrix} 1 & -z_1 \\ 0 & 1 \end{pmatrix} \begin{pmatrix} x_1 \\ x_1' \end{pmatrix}$$

$$\begin{pmatrix} 1 & z_2 \\ 0 & 1 \end{pmatrix} \begin{pmatrix} 1 & -z_1 \\ -1/F & 1 \end{pmatrix} = \begin{pmatrix} 1 - \frac{z_2}{F} & -z_1 + z_2(1 + \frac{z_1}{F_0}) \\ -1/F & 1 + \frac{z_1}{F_0} \end{pmatrix} \begin{pmatrix} x_1 \\ x_1' \end{pmatrix}$$

$$x_2 = x_1 \left(1 - \frac{z_2}{F}\right) + x_1' \left(-z_1 + z_2 \left(1 + \frac{z_1}{F}\right)\right)$$

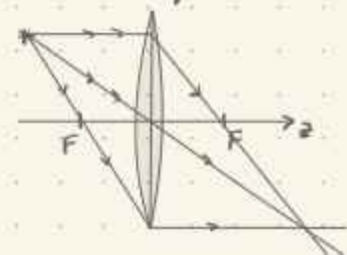
условие сопряжения изобра-ж., = 0: $x_2 \neq x_2(x_1')$

$$-z_1 + z_2 + \frac{z_1 z_2}{F} = 0 \quad | : z_1 z_2 \Rightarrow \frac{1}{z_1} + \frac{1}{F} = \frac{1}{z_2} - \text{ф-ла тонкой линзы}$$

• Найдем коэф-т увеличения изображения

$$K = \frac{x_2}{x_1} = \frac{x_1 \left(1 - \frac{z_2}{F}\right)}{x_1} = 1 - z_2 \left(\frac{1}{z_2} - \frac{1}{z_1}\right) = \frac{z_2}{z_1} \Rightarrow \Delta ACO \sim \Delta OCB \text{ и } d = \beta$$

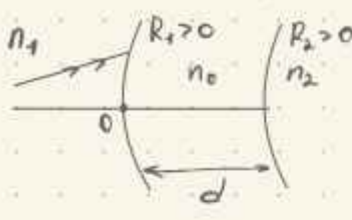
• геометрический способ построения изображения в тонкой линзе



1. Луч, проходящий через центр линзы, выходит из нее под тем же исходным углом.
2. Луч, идущий $\parallel z$, после линзы проходит через фокус.

Матричный формализм. Главные плоскости и построение изображения в толстой линзе. Теорема Лагранжа-Геймгольца

• матричный формализм для толстой линзы



$$\begin{pmatrix} 1 & 0 \\ -1/F_{02} & n_0/n_2 \end{pmatrix} \begin{pmatrix} 1 & d \\ 0 & 1 \end{pmatrix} \begin{pmatrix} 1 & 0 \\ -1/F_{10} & n_1/n_0 \end{pmatrix} \begin{pmatrix} x_1 \\ x_1' \end{pmatrix} = \begin{pmatrix} x_2 \\ x_2' \end{pmatrix}$$

$$= \begin{pmatrix} 1 & 0 \\ -1/F_{02} & n_0/n_2 \end{pmatrix} \begin{pmatrix} 1 - \frac{d}{F_{10}} & \frac{dn_1}{n_2} \\ -1/F_{10} & n_1/n_0 \end{pmatrix} = \begin{pmatrix} 1 - \frac{d}{F_{10}} & \frac{dn_1}{n_0} \\ -\frac{1}{F} & -\frac{dn_1}{F_{02}n_0} + \frac{n_1}{n_2} \end{pmatrix}$$

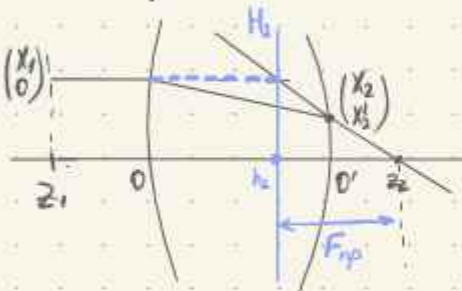
положим: $n_1 = n_2 = 1 \Rightarrow n_0 = n$

$$M_{21} = \begin{pmatrix} 1 - \frac{d}{F_{10}} & \frac{d}{n} \\ -1/F & 1 - \frac{d}{F_{02}n} \end{pmatrix} = \begin{pmatrix} m_{11} & m_{12} \\ m_{21} & m_{22} \end{pmatrix}$$

$$-\frac{1}{F} = -\frac{1}{F_{02}} + \frac{d}{F_{10}F_{02}} - \frac{n_0}{n_2 F_{10}} \Rightarrow \left[\begin{matrix} n_2 = n_1 = 1 \\ n_0 = n \end{matrix} \right] \Rightarrow -\left(\frac{1-n}{R_2} - \frac{d(1-n)(n-1)}{R_2 \cdot n R_1} + \frac{n(n-1)}{n R_1} \right) =$$

$$= -\left((n-1) \left(\frac{1}{R_1} - \frac{1}{R_2} \right) + \frac{(n-1)^2 d}{n R_1 R_2} \right)$$

• геометрический способ построения



$$\begin{pmatrix} x_2 \\ x_2' \end{pmatrix} = \begin{pmatrix} m_{11} & m_{12} \\ m_{21} & m_{22} \end{pmatrix} \begin{pmatrix} x_1 \\ x_1' \end{pmatrix} \Rightarrow \begin{cases} x_2 = m_{11} x_1 \\ x_2' = m_{21} x_1 \end{cases} \Rightarrow \begin{cases} z_2 = \frac{x_2}{x_2'} = \frac{m_{11}}{m_{21}} \\ -x_2' = -m_{21} x_1 \end{cases}$$

$$F_{np} = \frac{x_1}{-x_2'} = -\frac{x_1}{m_{21} x_1} = -\frac{1}{m_{21}} = F \text{ (толстой линзы)}$$

h_2 - координата главной плоскости H_2 от-но O' , найдем ее координату

$$h_2 = z_2 - F_n = -\frac{m_{11}}{m_{21}} + \frac{1}{m_{21}} = \frac{1-m_{11}}{m_{21}}$$

$$\begin{pmatrix} x_1 \\ x_1' \end{pmatrix} = M_{21}^{-1} \begin{pmatrix} x_2 \\ 0 \end{pmatrix} \Rightarrow M_{21}^{-1} = \frac{1}{\det M} \begin{pmatrix} m_{22} & -m_{12} \\ -m_{21} & m_{11} \end{pmatrix}$$

$$x_1 = m_{22} x_2$$

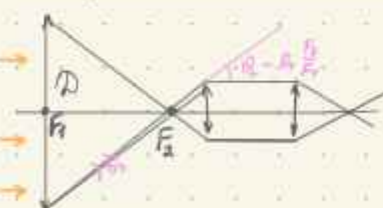
$$x_1' = -m_{21} x_2$$

$$z_1 \text{ (от-но } O) = -\frac{x_1}{x_1'} = \frac{m_{22}}{m_{21}}$$

$$F_n = \frac{x_2}{x_1'} = \frac{x_2}{-m_{21} x_2} = -\frac{1}{m_{21}} = F = F_n$$

$$h_1 \text{ (от-но } O) = z_1 + F_n = \frac{m_{22} - 1}{m_{21}}$$

• теорема Лагранжа-Геймгольца



$$\Delta k_x \Delta x \sim \pi \Rightarrow \Delta v_1 \sim \frac{\Delta k_x}{k} \sim \frac{\pi}{\Delta k} \sim \frac{1}{\Delta} - \text{угл дифракции на линзе}$$

$$S_1 \sim \frac{2D}{F} \cdot 2Fv_1, S_2 \sim \frac{2D}{F} \cdot 2Fv_2 \Rightarrow S_1 = S_2 = 2D \cdot 2v_1 = 2D \cdot 2v_2$$

площадь фазового портрета при движении пучка света в линзах, зеркалах сохраняется

дек-во: $S_1 = \int dx_1 dv_1, S_2 = \int dx_2 dv_2 \Rightarrow dx_2 dv_2 = J dx_1 dv_1$, где J - матрица Якоби:

$$J = \begin{vmatrix} \frac{\partial x_2}{\partial x_1} & \frac{\partial x_2}{\partial v_1} \\ \frac{\partial v_2}{\partial x_1} & \frac{\partial v_2}{\partial v_1} \end{vmatrix}$$

$$\text{но } \begin{pmatrix} x_2 \\ v_2 \end{pmatrix} = \begin{pmatrix} m_{11} & m_{12} \\ m_{21} & m_{22} \end{pmatrix} \begin{pmatrix} x_1 \\ v_1 \end{pmatrix} \Rightarrow \begin{pmatrix} x_2 \\ v_2 \end{pmatrix} = \begin{pmatrix} m_{11} & m_{12} \\ m_{21} & m_{22} \end{pmatrix} \begin{pmatrix} x_1 \\ v_1 \end{pmatrix}$$

матрица линз от-но пространства

$$\Rightarrow dx_2 dv_2 = dx_1 dv_1 \Rightarrow \text{теорема доказана}$$

Интерференция элмг волн. Понятие о когерентности

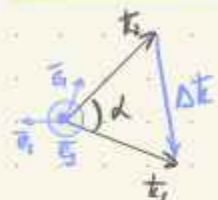
• в линейных средах ϵ и μ не зависит от \vec{E} и \vec{B} из принципа суперпозиции \Rightarrow
 $\vec{E}_z(\vec{r}, t) = \vec{E}_1(\vec{r}, t) + \vec{E}_2(\vec{r}, t)$ и $\vec{B}_z(\vec{r}, t) = \vec{B}_1(\vec{r}, t) + \vec{B}_2(\vec{r}, t)$

пусть есть 2 монохроматические волны (не обязательно плоские): $\omega_1 = \omega_2 = \omega$

$$\vec{E}_1(\vec{r}, t) = \vec{E}_1(\vec{r}) \cdot e^{-i\omega t}, \quad \vec{E}_2(\vec{r}, t) = \vec{E}_2(\vec{r}) e^{-i\omega t} \Rightarrow \vec{E}_z(\vec{r}, t) = (\vec{E}_1(\vec{r}) + \vec{E}_2(\vec{r})) e^{-i\omega t}$$

$$I = \langle \text{Re} \vec{E}, \text{Re} \vec{E} \rangle = \langle |\vec{E}_z|^2 \rangle = \underbrace{\frac{|\vec{E}_1(\vec{r})|^2}{2}}_{I_1} + \underbrace{\frac{|\vec{E}_2(\vec{r})|^2}{2}}_{I_2} + \underbrace{2 \text{Re}(\vec{E}_1(\vec{r}), \vec{E}_2(\vec{r}))}_{I_{12} - \text{интерференция}}$$

плоская монохр-я волна:

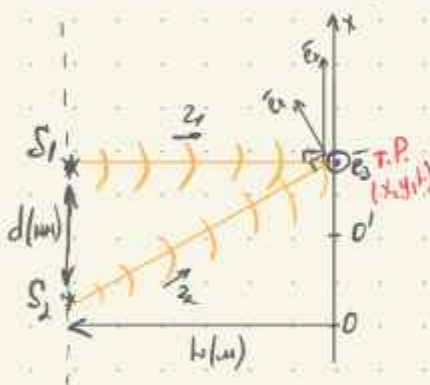


$$\vec{E}_1(\vec{r}) = (E_1'' \vec{e}_1 + E_1^{\perp} \vec{e}_3) e^{ik_1 z}, \quad \vec{E}_2(\vec{r}) = (E_2'' \vec{e}_2 + E_2^{\perp} \vec{e}_3) e^{ik_2 z + i\delta\varphi}$$

$$I_z = \frac{|E_1''|^2 + |E_1^{\perp}|^2}{2} + \frac{|E_2''|^2 + |E_2^{\perp}|^2}{2} + \text{Re}(\vec{E}_1^*(\vec{r}) \vec{E}_2(\vec{r})) = I_1 + I_2 + \text{Re}(E_1'' E_2'' (\vec{e}_1, \vec{e}_2) e^{i(k_1 - k_2)z + i\delta\varphi} + E_1^{\perp} E_2^{\perp} e^{i(k_1 - k_2)z + i\delta\varphi}) = \frac{|E_1''|^2}{2} + \frac{|E_2''|^2}{2} + E_1'' E_2'' (\vec{e}_1, \vec{e}_2) \cos(\Delta k z + \delta\varphi) + \frac{|E_1^{\perp}|^2}{2} + \frac{|E_2^{\perp}|^2}{2} + E_1^{\perp} E_2^{\perp} \cos(\Delta k z + \delta\varphi)$$

$$I = I_1'' + I_2'' + 2\sqrt{I_1'' I_2''} \cos(\vec{e}_1, \vec{e}_2) \cos(\Delta k z + \delta\varphi) + I_1^{\perp} + I_2^{\perp} + 2\sqrt{I_1^{\perp} I_2^{\perp}} \cos(\Delta k z + \delta\varphi)$$

интерференция от двух точечных источников:



$$k_1 = k_2 = \frac{\omega n}{c} = k$$

$$\vec{E}_1(\vec{r}, t) = (\vec{e}_1 E_1'' \frac{L}{z_1} + \vec{e}_3 E_1^{\perp} \frac{L}{z_1}) e^{ikz_1 - i\omega t} + o(d \ll z_1)$$

$$\vec{E}_2(\vec{r}, t) = (\vec{e}_2 E_2'' \frac{L}{z_2} + \vec{e}_3 E_2^{\perp} \frac{L}{z_2}) e^{ikz_2 - i\omega t}$$

$$I_z = I_z^{\perp} + I_z^{\parallel}: \quad I_z^{\perp} = I_1^{\perp} + I_2^{\perp} + 2\sqrt{I_1^{\perp} I_2^{\perp}} \cos(kz_1 - kz_2 + \varphi_3 - \varphi_4);$$

$$I_1^{\perp} = \frac{|E_1^{\perp}|^2 L^2}{2z_1^2}; \quad I_2^{\perp} = \frac{|E_2^{\perp}|^2 L^2}{2z_2^2}; \quad \varphi_3 = \text{Arg } E_1^{\perp}, \quad \varphi_4 = \text{Arg } E_2^{\perp}$$

$$k(z_1 - z_2) + \varphi_3 - \varphi_4, \quad \oplus \text{ паракс. приближение: } z_1, z_2 \sim L, \quad d, x \ll L$$

$$z_1 - z_2 = \frac{z_1^2 - z_2^2}{(z_1 + z_2)} = \frac{L^2 + x^2 - (L^2 + (x-d)^2)}{z_1 + z_2} = \frac{2xd - d^2}{2L} = \frac{xd}{L} + \text{const} \quad (\text{полюс в точке } O)$$

$$z_1 - z_2 = \frac{z_1^2 - z_2^2}{(z_1 + z_2)} = \frac{L^2 + (x + \frac{d}{2})^2 - (L^2 + (x - \frac{d}{2})^2)}{z_1 + z_2} = \frac{xd}{L} \quad (\text{если НК в точке } O')$$

• найдем период Δx между полосками

$$\frac{kx_m d}{2} + \varphi_3 - \varphi_4 = 2\pi m \quad \Rightarrow \Delta x = x_{m+1} - x_m = \frac{\lambda L}{d}$$

• чтобы увидеть полосу максимума нужно $\frac{\lambda}{d} \sim 10^{-3} - 10^{-4}$

$$I_1^1 = I_1^1 + I_2^1 + 2\sqrt{I_1^1 I_2^1} \cos((\Delta k, x) + \varphi_3 - \varphi_4))$$

$$V = \frac{I_{\max} - I_{\min}}{I_{\max} + I_{\min}} = \frac{4\sqrt{I_1^1 I_2^1}}{2(I_1^1 + I_2^1)} = \frac{2\sqrt{\frac{I_1^1}{I_2^1}}}{\left(\frac{I_1^1}{I_2^1} + 1\right)} = \frac{2u}{u^2 + 1}$$

найдем максимум видимости: $\left(\frac{2u}{u^2 + 1}\right)' = 0 \Rightarrow u = 1$

видимость с друг. точки зрения: отношение амплитуд волны к среднему значению интенсивности

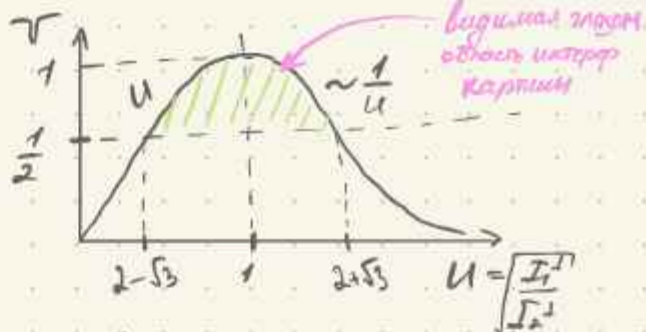
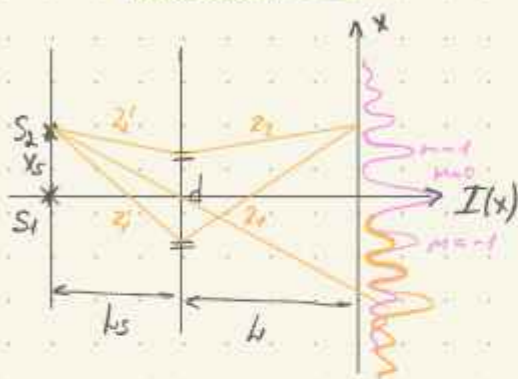


схема Юнга с 2ми некогерентными источниками



где смещение по x источника S_2 $I(x)$ такая же, но в качестве $\Delta z(x) = z_1 + z_1' - z_2 - z_2' \approx \frac{x d}{l_1} + \frac{x d}{l_2}$

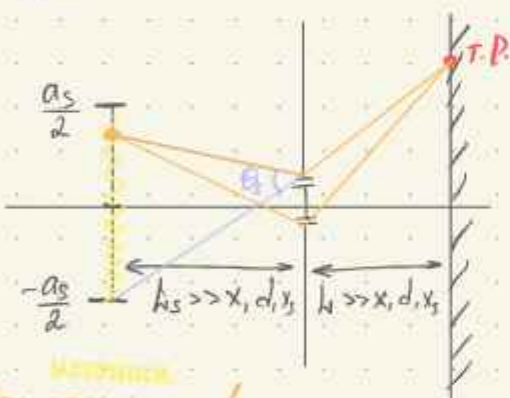
$$x_m(S_1) = m \cdot \frac{l_1}{d}, \quad x_m(S_2) = m \cdot \frac{l_1}{d} - \frac{x_s d l_1}{l_2 d}$$

интерференционная картина исчезает при:

$$\frac{x_s d}{l_2} = \frac{l_1}{d} \left(\frac{1}{2} + n\right)$$

$$\text{если } n=0: x_{\min} = \frac{d l_1}{2 d} \Rightarrow d = \frac{d l_1}{2 x_s} = \frac{l_1 l_2}{2 x_s}$$

протяженный источник



источник (спираль нарисована в левом)

Др в двух соседних точках источника - случайная функция

$$dI_1 \text{ от источника } dx_s = dI_2 \text{ от } dx_s = dI_0 = \frac{I_0}{a_s} \cdot dx_s$$

(от первой щели) (от второй щели)

$$dI(x) = 2 dI_0 (1 + \cos(\frac{l_1 + l_2}{c} \Delta z(x)) \cdot \sin(\frac{\pi}{2} \cdot \frac{\Delta z(x)}{l_c})$$

$$\Delta z(x) = \frac{x d}{l_1} + \frac{x_s d}{l_2}$$

$$l_c - \text{предельная длина когерентности} = \frac{2 I_0}{\Delta \omega} \approx \frac{l^2}{\Delta \lambda}$$

I_0 - интенсивность от всего источника в т.р. от одной щели

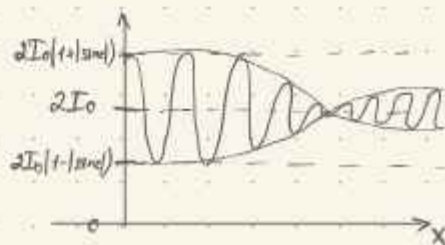
! чтобы увидеть интерф. картину $\Delta z(x)$ должно быть $\ll l_c$

$$\text{Если } \Delta z(x) \ll l_c \Rightarrow \int dI(x) = \int_{-a_s/2}^{a_s/2} 2 \frac{I_0}{a_s} dx_s (1 + \cos(k \Delta z(x))) = 2 \frac{I_0}{a_s} a_s + \frac{\sin(k d (\frac{x}{l_1} + \frac{a_s}{2 l_2})) - \sin(k d (\frac{x}{l_1} - \frac{a_s}{2 l_2}))}{k d / l_2}$$

$$= 2 I_0 \left(1 + \cos\left(\frac{k d x}{l_1}\right) \cdot \frac{\sin(k d \frac{a_s}{2 l_2})}{k d \frac{a_s}{2 l_2}}\right) = 2 I_0 \left(1 + \cos\left(\frac{k d x}{l_1}\right) \text{sinc}\left(\frac{k d a_s}{2 l_2}\right)\right)$$

$d_{\max} = l_c$ - макс расстояние между щелями для протяженного источника, когда интерференционная картина исчезает

$$l_c = \frac{l^2}{\Delta \lambda} \text{ где } \Delta \lambda - \text{ушир, под которым источник виден из щели}$$



Корреляционная функция



$$\bar{E}_1(z_1, t) = \bar{E}_1(t - \frac{z_1}{c}) \frac{L}{z_1} = E_1(t - \frac{z_1}{c}) \cdot \bar{e}_3 \cdot \frac{L}{z_1}; \quad \bar{E}_2(z_2, t) = \bar{E}_2(t - \frac{z_2}{c}) = E_2(t - \frac{z_2}{c}) \bar{e}_3 \cdot \frac{L}{z_2}$$

• для реальных полей E_1, E_2

$$I = \langle (E_1(t - \frac{z_1}{c}) \frac{L}{z_1} \bar{e}_3 + E_2(t - \frac{z_2}{c}) \bar{e}_3 \frac{L}{z_2})^2 \rangle = \frac{1}{2} \frac{L^2}{z_1^2} \langle E_1^2(t - \frac{z_1}{c}) \rangle + \frac{1}{2} \frac{L^2}{z_2^2} \langle E_2^2(t - \frac{z_2}{c}) \rangle + \frac{1}{2} \frac{2L^2}{z_1 z_2} \langle (E_1(t - \frac{z_1}{c}) E_2(t - \frac{z_2}{c})) \rangle$$

! для стат. проц. $\langle \rangle$ не зависит от t

Сдвигаем начало отсчета времени: $t' = t - \frac{z_1}{c} \Rightarrow t - \frac{z_2}{c} = t - \frac{z_1}{c} + \frac{z_1 - z_2}{c} = t' + \frac{\Delta z}{c} = t' + \Delta t$

Корреляционная функция 2-х полей: $\Gamma_{1,2}^{(0)}(\Delta t) = \langle E_1(t) E_2(t + \Delta t) \rangle$

не зависит от t

$$I = \frac{L^2}{z^2} [\Gamma_{1,1}^{(0)}(0) + \Gamma_{2,2}^{(0)}(0) + 2\Gamma_{1,2}^{(0)}(\Delta t)]$$

• для комплексных полей: $E_1(t) = U_1(t) e^{-i\omega t}$, где $U(t)$ - медленно меняющаяся функция $T \gg t$
 $E_2(t) = U_2(t) e^{-i\omega t}$

$$\langle \text{Re} E_1(t) \text{Re} E_2(t + \Delta t) \rangle = \langle \frac{U_1(t) e^{-i\omega t} + U_1^*(t) e^{i\omega t}}{2}, \frac{U_2(t + \Delta t) e^{-i\omega(t + \Delta t)} + U_2^*(t + \Delta t) e^{i\omega(t + \Delta t)}}{2} \rangle$$

$$I = \frac{L^2}{z^2} \left[\frac{\langle |U_1(t)|^2 \rangle}{2} + \frac{\langle |U_2(t)|^2 \rangle}{2} + \text{Re} \langle U_1(t) U_2^*(t + \Delta t) e^{i\omega \Delta t} \rangle \right] =$$

$$= \frac{L^2}{2z^2} [\Gamma_{1,1}^{(0)}(0) + \Gamma_{2,2}^{(0)}(0) + 2\text{Re}(\Gamma_{1,2}^{(0)}(\Delta t))] \cdot \frac{\sqrt{\Gamma_{1,1}^{(0)}(0) \Gamma_{2,2}^{(0)}(0)}}{\sqrt{\Gamma_{1,1}^{(0)}(0) \Gamma_{2,2}^{(0)}(0)}} =$$

$$= \frac{L^2}{2z^2} [\Gamma_{1,1}^{(0)}(0) + \Gamma_{2,2}^{(0)}(0) + 2\sqrt{\Gamma_{1,1}^{(0)}(0) \Gamma_{2,2}^{(0)}(0)} \cdot \text{Re}(\gamma_{1,2}^{(0)}(\Delta t)), \text{ где}$$

$$\gamma_{1,2}^{(0)}(\Delta t) = \frac{\langle E_1(t) E_2^*(t + \Delta t) \rangle}{\sqrt{\langle |E_1(t)|^2 \rangle \langle |E_2(t)|^2 \rangle}} = \frac{\Gamma_{1,2}^{(0)}(\Delta t)}{\sqrt{\Gamma_{1,1}^{(0)}(0) \Gamma_{2,2}^{(0)}(0)}} = \frac{\langle U_1(t) U_2^*(t + \Delta t) \rangle e^{i\omega \Delta t}}{\langle |U_1(t)|^2 \rangle \langle |U_2(t)|^2 \rangle} = \gamma_{1,2}(\Delta t) \cdot e^{i\omega \Delta t}$$

Коэффициент корреляции 2-х сигналов

Коэффициент корреляции амплитуд полей

$$I = \frac{L^2}{2z^2} [\Gamma_{1,1}^{(0)}(0) + \Gamma_{2,2}^{(0)}(0) + 2\sqrt{\Gamma_{1,1}^{(0)}(0) \Gamma_{2,2}^{(0)}(0)} |\gamma_{1,2}(\Delta t)| \cos(\omega \Delta t + \arg \gamma_{1,2}(\Delta t))]$$

$$I = I_1 + I_2 + 2\sqrt{I_1 I_2} \left| \text{sinc} \left(\frac{\Delta \omega \Delta t}{2} \right) \right| \cos(\omega \Delta t + \arg \gamma_{1,2}(\Delta t))$$

вывод: для точного квазимонохр. источника в схеме Юнга $\gamma_{1,2}(\Delta t) = \text{sinc} \left(\frac{\Delta \omega \Delta t}{2} \right)$

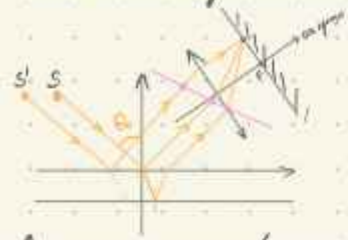
на самом деле в схеме Юнга интерферирует один сигнал, т.е. $\gamma_{1,2}(\Delta t) = \gamma_{1,1}(\Delta t)$

Интерференция в тонких пленках. Локализация интерференционной картины. Полосы равного наклона и равной толщины.

локализованная инт. карт.
видна только в одном положе. экрана

нелокализованная инт. картина
видна во многих положениях экрана

• **линии равного наклона** (лучи падают под одним углом на поверхность)



• рассматриваем Δz на $-$, т.к. луча не хватает на Δz

• определим разность хода Δz : $\Delta z = n(|AB| + |BC|) - |AD| + \frac{1}{2} \in$

$$\cos \theta_2 = \frac{d}{|AB|} \Rightarrow |AB| = \frac{d}{\cos \theta_2}, |AB| = |BC|$$

$$\sin \theta_2 = \frac{|AD|}{|AC|}, |AD| = |AC| \cdot \sin \theta_2 = 2|BK| \sin \theta_2 = 2d \tan \theta_2 \sin \theta_2 = \frac{2d \sin \theta_2 \sin \theta_0}{\cos \theta_2}$$

$$= \frac{2dn}{\cos \theta_2} \left(1 - \frac{\sin \theta_2 \sin \theta_0}{n} \right) + \frac{1}{2} = \frac{2dn \cos^2 \theta_2}{\cos \theta_2} + \frac{1}{2} = \frac{2d \sqrt{n^2(1 - \sin^2 \theta_2)} + \frac{1}{2}}{\cos \theta_2} = \frac{2d \sqrt{n^2 - \sin^2 \theta_0} + \frac{1}{2}}{\cos \theta_2}$$

$I = 2I_0 (\cos(k \cdot 2d \sqrt{n^2 - \sin^2 \theta_0}) + 1) \Rightarrow$ вид распределения: вогнутые кольца (если луча \parallel пов. п.)

• далее при наклоне лучей: эллипсы, параболы, гиперболы (конические сечения)

• **линии равной толщины** (если у пленки границы не параллельные и не плоские)



$$\Delta z = n(|AB| + |BC|) - |DC| =$$

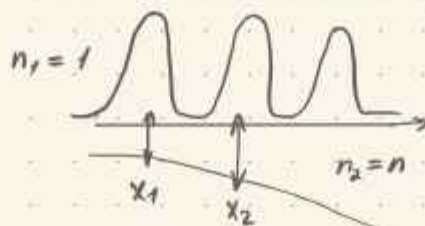
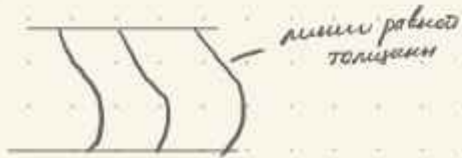
$$= n \left(\frac{h(x)}{\cos \theta} + \frac{h(x)}{\cos(\theta + 2d)} \right) - (h(x) \tan \theta' + h(x) \tan(\theta' + 2d)) \sin \theta_0 =$$

$$= \frac{n \cdot h(x) [\cos \theta' \cos(\theta' + 2d) + 1 - \sin(\theta' + 2d) \sin \theta']}{\cos(\theta' + 2d)} =$$

$$= n \cdot h(x) \left[\frac{1 + \cos(2\theta' + 2d)}{\cos(\theta' + 2d)} \right] \rightarrow \text{раскладываем по малости } d \ll 1$$

$$\Delta z = n \cdot h(x) \left[2 \cos \theta' + \frac{1 + \cos(2\theta' + 2d)}{\cos(\theta' + 2d)} \right] = \dots = n \cdot h(x) \left(2 \cos \theta' + \frac{2d^2}{\cos(\theta' + 2d)} \right)$$

пренебрегаем вторым слагаемым: $\Delta z = n \cdot h(x) \cdot 2 \cos \theta' \xrightarrow{\theta'=0} nh(x) \rightarrow$ можно использовать для исп-я толщины пленки

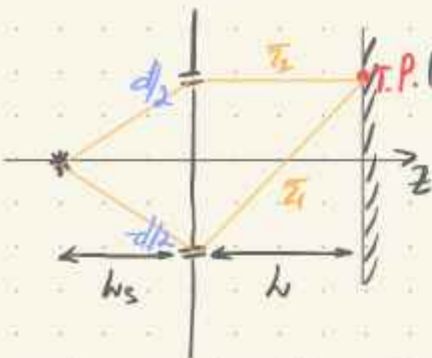


$$\theta_0 \approx 0 \Rightarrow \cos \theta' \approx 1$$

$$2nh(x_1) - 2nh(x_2) = ?$$

пример: $\Delta z_1 = 2nh(x_1) + \frac{1}{2} = m\lambda_0$
 $\Delta z_2 = 2nh(x_2) + \frac{1}{2} = (m+1)\lambda_0 \Rightarrow \Delta h = \frac{\lambda_0}{2n}$

Продольная и поперечная длина волны на примере схемы Юнга



после от 1 щели на экране: $\vec{E}_1 = \frac{L}{z_1} (\vec{e}_1 \hat{E}_1^{\parallel} + \vec{e}_3 \hat{E}_1^{\perp}) e^{ikz_1 - i\omega t}$

после от 2 щели на экране: $\vec{E}_2 = \frac{L}{z_2} (\vec{e}_2 \hat{E}_2^{\parallel} + \vec{e}_3 \hat{E}_2^{\perp}) e^{ikz_2 - i\omega t}$

$$I = \langle \text{Re} \vec{E}_2, \text{Re} \vec{E}_2^* \rangle = \frac{|\vec{E}_1|^2}{2} + \frac{|\vec{E}_2|^2}{2} + \text{Re}(\vec{E}_1, \vec{E}_2^*)$$

$$I_2^{\perp} = \frac{L^2}{2z_1^2} |\vec{E}_1^{\perp}|^2 + I_2^{\parallel} + \frac{2\sqrt{I_1^{\perp} I_2^{\perp}} \cdot \cos(k\Delta z + \varphi_1)}{L^2 \cdot z_1 z_2}, \quad \varphi_1 = \arg|\vec{E}_1| - \arg|\vec{E}_2|$$

$$\Delta z = \frac{(z_1 - z_2) \cdot (z_1 + z_2)}{(z_1 + z_2)} = \frac{z_1^2 - z_2^2}{z_1 + z_2} \approx \frac{x d}{L}$$

$$z_1^2 = \left(x + \frac{d}{2}\right)^2 + L^2 + y^2$$

$$z_2^2 = \left(x - \frac{d}{2}\right)^2 + L^2 + y^2$$

$$z_1^2 - z_2^2 \approx 2xd$$

$$z_1 + z_2 \approx 2L$$

количественный анализ:

$$\frac{z_2 - z_1}{c} < \frac{1}{\Delta \omega} \Rightarrow I_0 = \int_{\omega_0 - \frac{\Delta \omega}{2}}^{\omega_0 + \frac{\Delta \omega}{2}} \frac{I_0}{\Delta \omega} d\omega \Rightarrow dI = \frac{2I_0(1 + \cos(k\Delta z))}{\Delta \omega} d\omega$$

$$I_2 = \int_{\omega_0 - \frac{\Delta \omega}{2}}^{\omega_0 + \frac{\Delta \omega}{2}} 2 \frac{I_0}{\Delta \omega} (1 + \cos(\frac{\omega}{c} \frac{x d}{L})) d\omega = 2I_0 + 2I_0 \text{sinc}\left(\frac{x d}{c L} \frac{\Delta \omega}{2}\right) \cos\left(\frac{x d}{c L} \omega_0\right)$$

продольная длина когерентности

$$V = \frac{1}{2} \Rightarrow \frac{\Delta z}{c} \frac{\Delta \omega}{2} = \frac{\pi}{2} \Rightarrow L_H = \frac{\pi c}{\Delta \omega} = \frac{\lambda^2}{2\Delta \lambda} - \text{макс. p-p щели, при которых видна интерф. картина}$$

поперечная длина когерентности:

$$\frac{\omega d h}{2 c h} = \pi \Rightarrow h = \frac{\lambda L}{d} \Rightarrow d = \frac{\lambda L}{h} = \frac{\lambda}{\theta} - \text{макс. p-p источников, под которыми видна интерф. картина}$$

Дифракция элмг волн. Принцип Гюйгенса — Френеля. Идеализированные ГУ. Интеграл Кирхгофа

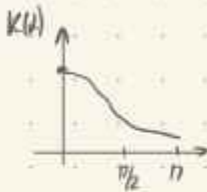
опр. дифракция — явление отклонения от прямолинейной траектории луча из-за препятствий, исключая явления отражения и преломления

принцип Гюйгенса — Френеля: каждая точка, в которую приходит волна, является источником вторичных волн

Интеграл Кирхгофа — мат. выражение принципа Гюйгенса — Френеля

Амплитуда вторичной волны опред-ся параметрами:

- $d = \vec{r}, \vec{S}$
- $K(d)$ — коэф-т зависимости амплитуды вторичной волны от d
- элмтр. поле волны $dE_p \sim dS$
- чтобы сохранить инвариантность площади при разных формах поверхности, нужно заменить $dS \rightarrow dS_n$ — проекция S на напр. \perp лучу
- $dE_p = K(d) \cdot dS_n \cdot E_s e^{ikr} \cdot \frac{1}{R}$



приближения при построении теории:

- 1 поле в отверстии опред-ся только источником S , но не гран. усл. и краевой волной
- 2 экран абсолютно непрозрачный и важна только форма отверстия
- 3 условие излучения на бесконечности: все волны уходят от отверстия

$$dS_n = dS, dS = r_0^2 \sin \theta d\theta dy$$

$$E(S) = E_0 \cdot \frac{1}{2} e^{ikz} \Rightarrow [z=z_0, l=z_0] = E_0 e^{ikz_0}$$

амплитуда поля на расстоянии z

$$E_p = \int K(d) E_0 e^{ikz_0} \frac{1}{R} r_0^2 \sin \theta d\theta dy = \left[R^2 = (z_0 + z)^2 + z_0^2 - 2(z_0 + z)z_0 \cos \theta \right] \int \sin \theta d\theta = (R dR) / ((z_0 + z)z_0) \quad \text{---} \quad \textcircled{E}$$

опр: $K(d)$ — коэфф-т, обусловленный договор-ти, что каждая точка является источником втор. волн, распрост-ая только в одном направлении

$$\textcircled{E} \frac{2\pi E_0 e^{ikz_0}}{(z_0 + z)z_0} \int K(d) e^{ikR} dR = \left[\text{поскольку } d \ll r \Rightarrow K(d) \approx K(0) \right] = \frac{2\pi K(0) E_0 e^{ik(z_0 + z)}}{k \frac{(z_0 + z)z_0}{R}} \left(\frac{e^{ik(R_0 - R)} - 1}{i} \right)$$

поле с источником в т.р. без экрана

рассм-м функцию $f(x) = \frac{e^{ix} - 1}{i} = e^{ix - i\pi/2} + i \longrightarrow$



если полн. открыли отверстие: $E_{p0} = E_p = \frac{2\pi}{k} \cdot E_p \cdot K(0) \Rightarrow K(0) = \frac{k}{2\pi i} = -\frac{i}{2}$

$E_p = \frac{k}{2\pi i} \int h(\theta) E_0 e^{ikz_0} \frac{e^{ikR}}{R} dS_n$, где $h(\theta)$ — функция, описывающая поле в отверстии

$E_p = \frac{k}{2\pi i} \int E(S) \frac{e^{ikR}}{R} \cos \theta dS$

Зоны Френеля. Параметр Френеля. Зонная пластинка.

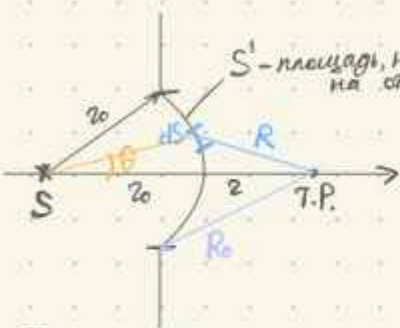
$$R_p = \frac{D^2}{\lambda \cdot 2p} \approx \frac{D^2}{p^2} - \text{хар-ий размер отверстия} \Rightarrow D \sim p_1 - \text{приближение Френеля}$$

- p-p 1-й зоны Френеля

$$E_p = \frac{k}{2\pi i} \iint_{S'} E_0 e^{ikz_0 - i\omega t} \cdot \frac{e^{ikR - i\omega t}}{R} \frac{z_0^2 R dR \cdot d\varphi}{(z_0 + z)^2 z_0} = K(\lambda) E_p \cdot 2\pi \left[\frac{e^{ik(R_0 - z)} - 1}{ik} \right] = \left[K(\lambda) = \frac{k}{2\pi i} \right] =$$

$$\Rightarrow E_p = E_{p0} (1 - e^{ik(R_0 - z)})$$

$E_{p0} = \frac{E_0 e^{ik(R_0 + z)}}{(z_0 + z)/z_0}$ - поле в т.р. без экрана



интенсивность в точке P:

$$I_p = \frac{|E_p|^2}{2} = \frac{|E_{p0}|^2}{2} (1 - e^{ik(R_0 - z)}) (1 - e^{-ik(R_0 - z)}) = \frac{|E_{p0}|^2}{2} (2 - 2\cos(k(R_0 - z)))$$

$$= 4I_0 \sin^2\left(\frac{k(R_0 - z)}{2}\right)$$

экстремум интенсив: $\frac{k(R_0 - z)}{2} = \frac{\pi m}{2}, m=1, \dots \Rightarrow R_0 = \frac{m\lambda}{2} + z$

выразим a_m - радиус зоны P_p : $\left(z + \frac{m\lambda}{2}\right)^2 = z_0^2 + (z_0 + z)^2 - 2z_0(z_0 + z)\cos\theta$

$$z^2 + m\lambda z + \frac{m^2\lambda^2}{4} = z_0^2 + z_0^2 + 2z_0 z + z^2 - 2z_0(z_0 + z)\cos\theta$$

$$z^2 + m\lambda z + \frac{m^2\lambda^2}{4} = z_0^2 + z_0^2 + 2z_0 z + z^2 - 2z_0(z_0 + z)\left(1 - \frac{a_m^2}{2z_0^2}\right) \Rightarrow a_m = \sqrt{\frac{m\lambda z_0^2}{z_0 + z}}$$

для плоской волны: $a_m = \sqrt{m\lambda z}$

р-во площадей зон: $S_{m+1} = \pi(a_{m+1}^2 - a_m^2) = \pi\lambda z$

зонная пластинка



пусть открыты только зоны Френеля $\Rightarrow I = 4I_0 l^2$, l - кол-во стр. зон

следов-но, пластинка работает как линза;

$$\frac{1}{a} + \frac{1}{b} = \frac{1}{f} \Rightarrow f = \frac{a^2}{\lambda m}$$

• чтобы не терять интенсивность от закрытых зон ставят диафрагму

$d(n-1)\lambda = \varphi \Rightarrow$ набег фазы на $\pi \Rightarrow$ эл. поле сменит знак

• у зонной пластинки есть несколько фокусов:

если т.р' будет на расст. $2P/3 \Rightarrow$ для этой точки будет 3 зоны

$$I_{p'} = (2E_0 + 2E_0 + 2E_0) = 4I_0(3)^2, \text{ но на самом деле меньше из-за коэфф-та } K(\lambda)$$

принцип Баббине

$$E_p = \frac{k}{2\pi i} \int_{S'} E_0 e^{ikz_0} \frac{e^{ikR}}{R} \cos\theta dS = \int_0^a \int_0^a = E_p - E_p(1 - e^{ik(R_0 - z)}) = E_g$$

$$\bar{E}_g + \bar{E}_{\text{отб}} = \bar{E}_{p0} - \text{принцип Баббине}$$

$$I_p = E_g \cdot E_g^* = I_{p0} \Rightarrow \text{получили световое пятно за теньюми диском} - \text{пятно Пуассона}$$

$$E_p = \frac{k}{2\pi i} \int E(S) \frac{e^{ikR}}{R} \cos\theta dS, k = \frac{2\pi}{\lambda} \gg 1$$

приближение:

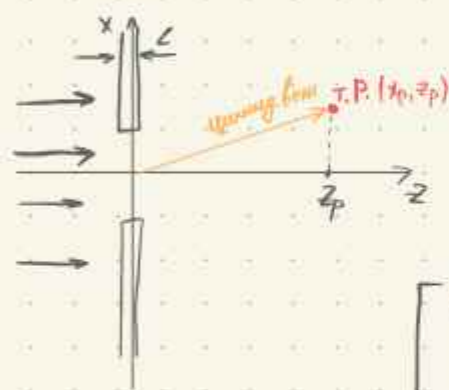


$$R = \sqrt{z_p^2 + (x-x_p)^2 + (y-y_p)^2} \approx \left(1 + \frac{(x-x_p)^2}{2z_p^2} + \frac{(y-y_p)^2}{2z_p^2}\right) z_p$$

$z_p \gg x, y \sim D$ - характ. p-p отверстия

$$E_p = \frac{k}{2\pi i} \frac{1}{z_p} \int E(S) e^{ikz_p} \cdot e^{ik\left(\frac{(x-x_p)^2}{2z_p} + \frac{(y-y_p)^2}{2z_p}\right)} \cos\theta dS - \text{интеграл в приближе. Френеля}$$

$$\frac{x^2 - 2xx_p + x_p^2}{2z_p} = \frac{x^2}{2z_p} - \frac{xx_p}{z_p} + \frac{x_p^2}{2z_p} \Rightarrow \text{всегда } \rho_F = \frac{D^2}{2z_p} - \text{пар-р Френеля}$$



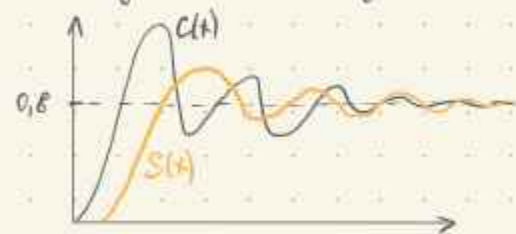
$$R = z_p + \frac{(x-x_p)^2}{2z_p} + \frac{y^2}{2z_p} \Rightarrow$$

$$E_p = \sqrt{\frac{k}{2\pi i}} \int_0^L E_0 \cdot \frac{1}{\sqrt{z_p}} e^{ik(z_p + \frac{(x-x_p)^2}{2z_p})} \cos\theta dx$$

$$\left[\begin{array}{l} \text{замени: } \frac{k(x-x_p)^2}{2z_p} = \frac{\pi v^2}{2}; \quad v = (x-x_p) \sqrt{\frac{1}{z_p} \cdot \frac{\pi}{2}}, \\ \xi_p = \frac{x}{\sqrt{z_p \pi/2}}, \quad \xi_L = \frac{L}{\sqrt{z_p \pi/2}} \Rightarrow \end{array} \right] \Rightarrow \text{тогда}$$

$$= \sqrt{\frac{k}{2\pi i}} \frac{1}{\sqrt{z_p}} E_0 e^{ikz_p} = \frac{E_0 e^{ikz_p}}{\sqrt{2i}} \left(\int_0^{\xi_p} e^{i\pi/2 v^2} dv + \int_{\xi_p}^{\xi_L} e^{i\pi/2 v^2} dv \right)$$

$$J(\xi) = \int_0^{\xi} \cos\left(\frac{\pi}{2} v^2\right) dv + i \int_0^{\xi} \sin\left(\frac{\pi}{2} v^2\right) dv$$

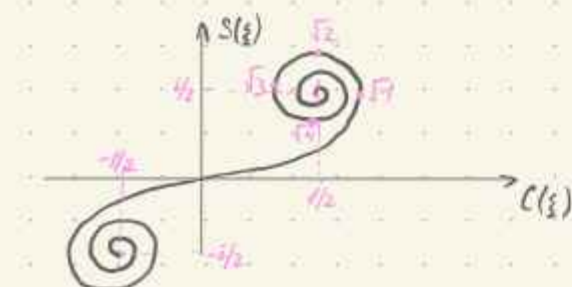


$$x > S: \left. \begin{array}{l} C(x) \\ S(x) \end{array} \right\} = 0,5 \pm \frac{0,318}{x} \cdot \begin{cases} \sin \pi/2 x^2 \\ \cos \pi/2 x^2 \end{cases}$$

$$\text{возьмем } x_p = L/2 \Rightarrow$$

$$E_p = \frac{E_0 e^{ikz_p}}{\sqrt{2i}} \cdot 2 \cdot \int_0^{L/2} e^{i\pi/2 v^2} dv = \frac{E_0 e^{ikz_p}}{\sqrt{2i}} \cdot 2 \int_0^{L/2} e^{i\pi/2 v^2} dv =$$

$$\Leftrightarrow \left[\begin{array}{l} \xi_L - \xi_p \rightarrow \infty \\ x_p < L/2 \end{array} \right] = \frac{E_0 e^{ikz_p}}{\sqrt{2i}} \left(\frac{1+i}{2} + \int_0^{L/2} \cos\left(\frac{\pi}{2} v^2\right) dv + i \int_0^{L/2} \sin\left(\frac{\pi}{2} v^2\right) dv \right)$$



дифракция Фраунгофера: $p \ll 1 = \frac{d^2}{\lambda z_p}$ (дальняя зона)



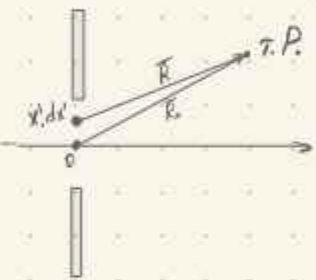
$$R = \sqrt{(x_p - x)^2 + (y_p - y)^2 + z_p^2} = \sqrt{x^2 + y^2 + z^2 - 2x x_p - 2y y_p + x_p^2 + y_p^2} \approx$$

$$\approx R_0 \left(1 - \frac{x x_p}{R_0^2} - \frac{y y_p}{R_0^2} + O\left(\frac{x^2 + y^2}{R_0^2}\right) \right) = R_0 - \frac{x x_p}{R_0} - \frac{y y_p}{R_0} + O\left(\frac{x^2 + y^2}{2}\right)$$

$$k_x = k \frac{x_p}{R_0}, \quad k_y = k \frac{y_p}{R_0}, \quad x^2 + y^2 = d^2 \text{ (р-р щели)}$$

$$E_p(x, y, z) = \frac{k}{2\pi i} \iint E(x, y, 0) \frac{e^{ikR}}{R} dS \cos \theta \approx \frac{k}{i R_0} e^{ikR_0} \frac{1}{2\pi} \iint dx dy E(x, y, 0) e^{-ik_x x - ik_y y} \cos \theta$$

• если щель в одной из напр-ий имеет бесконечный р-р: $= \hat{E}(k_x, k_y)$



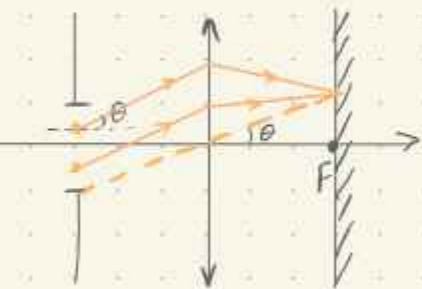
цилинд. волны $E \sim \frac{e^{ikR}}{\sqrt{R}}$

$$E_p(x, z) = \sqrt{\frac{k}{2\pi i}} \int E(x) \frac{e^{ikR}}{\sqrt{R}} dx \cos \theta = \left[p_1 = \frac{d^2}{\lambda R_0} \ll 1 \right] \approx$$

$$\approx \sqrt{\frac{k}{i k_0}} e^{ikR_0} \frac{1}{\sqrt{2\pi}} \int E(x) e^{-ik_x x} dx \cos \theta$$

Фурье образ поле в щели

• для наблюдения дифр. Фраунгофера используют линзы:



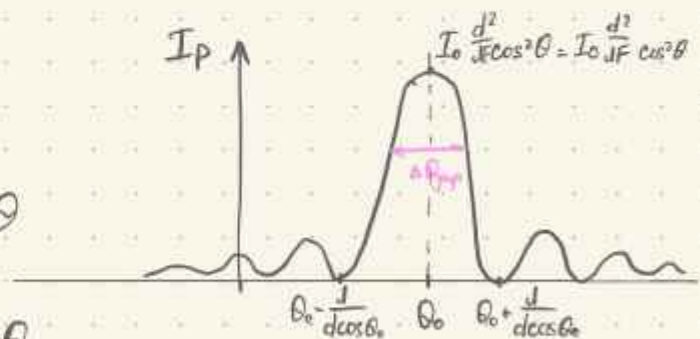
$$E_p(\theta) = \sqrt{\frac{k}{iF}} e^{ikF} \frac{1}{\sqrt{2\pi}} \int E(x) e^{ik \sin \theta x} dx \cos \theta$$

• распределение интенсивности

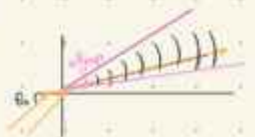
$$E_p = \sqrt{\frac{k}{2\pi iF}} e^{ikF} E_0 d \operatorname{sinc} \left(\frac{kd}{2} (\sin \theta_0 - \sin \theta) \right) \cos \theta$$

$$I_p = \frac{|E_p|^2}{2} = I_0 \frac{d^2}{\lambda F} \operatorname{sinc}^2 \left(\frac{kd}{2} (\sin \theta_0 - \sin \theta) \right) \cos^2 \theta$$

$\frac{|E_p|^2}{2}$



$$\Delta \theta_{FWHM} \approx \frac{\lambda}{d \cos \theta_0}$$



Дифракционная решетка как спектральный прибор (фазовые решетки)

1) угловая дисперсия $\frac{d\theta_m}{d\lambda} = \frac{m}{\lambda} = \frac{\theta_m}{\lambda}$ (не зависит от параметров решетки)

(диапазон углов, в котором различимы порядки разных длин волн)

2) область свободной дисперсии



$$m_0 = \left[\frac{\theta_0}{\lambda/2} \right] - \text{целая часть}$$

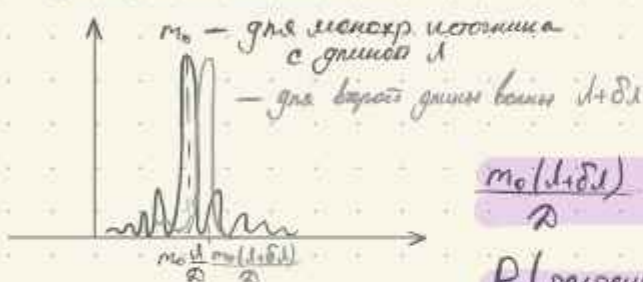
какова $\Delta\lambda_{\max}$, когда еще нет перекрытия разных порядков интерференции?

$$\frac{m(\lambda + \Delta\lambda_{\max})}{\lambda} = \frac{(m+1)\lambda}{\lambda} \Rightarrow \Delta\lambda_{\max} = \frac{\lambda}{m} - \text{порядок интерференции, в котором расли-ся дифракция}$$

3) разрешающая способность

критерий Релея:

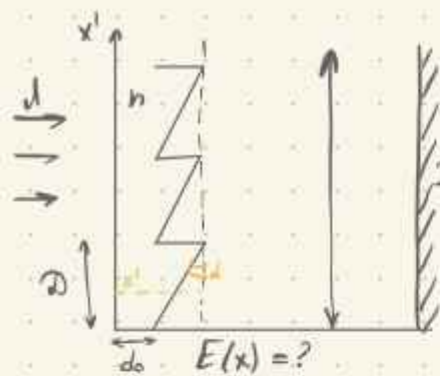
линии разрешимы, если максимум одной линии лежит не ближе первого минимума соседней линии



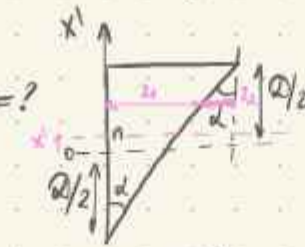
$$\frac{m_0(\lambda + \delta\lambda)}{\lambda} - \frac{m_0\lambda}{\lambda} \geq \delta\theta_{\min} = \frac{\lambda}{2N} \Rightarrow \frac{m_0\delta\lambda}{\lambda} \geq \frac{\lambda}{2N} \Rightarrow \delta\lambda \geq \frac{\lambda}{Nm_0}$$

$$R(\text{разреш. спос. решетки}) : \frac{\lambda}{\delta\lambda_{\min}} = \frac{\lambda}{\lambda/Nm_0} = Nm_0 \sim 10^5 \sim 10^6$$

Фазовые дифракционные решетки и их преимущества



оптическая длина пути $\Delta = nd_0 + \underbrace{n(\frac{D}{2} + x')}_z d + \underbrace{n(\frac{D}{2} - x')}_z d \equiv$



$$\begin{aligned} \tan \alpha &\approx d = z_1 / (\frac{D}{2} + x') \Rightarrow z_1 = n d (\frac{D}{2} + x') \\ \tan \alpha &\approx d = z_2 / (\frac{D}{2} - x') \Rightarrow z_2 = n d (\frac{D}{2} - x') \end{aligned}$$

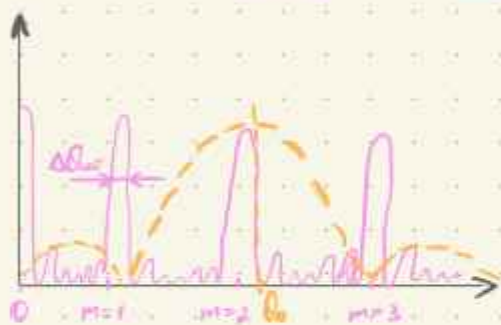
$$\ominus nd_0 + (n+1)d\frac{D}{2} + (n-1)dx'$$

(локальная СК)

$$E_p(\theta) = \sqrt{\frac{1}{dF}} E_0 e^{ikF} \sum_{m=-N/2}^N \int_{-D/2}^{D/2} e^{ik(n-1)dy' + ik[(n+1)d\frac{D}{2} + nd_0]} \cdot e^{-ik \sin \theta (\frac{D}{2} + x' + (n-1)D)} \cos \theta dy' =$$

$$E_p(\theta) = \sqrt{\frac{1}{dF}} e^{ikF} E_0 \sum_{m=-N/2}^N e^{-ik \sin \theta (m-1)D} \left[\int e^{ik(n-d-d \sin \theta)x'} \right] \cos \theta e^{iky} - ik \sin \theta D/2 =$$

$$I_p(\theta) = \frac{I_0 D^2}{dF} \left(\text{sinc}^2 \left((n-1)d - \sin \theta \right) \frac{kD}{2} \right) \cdot \frac{\text{sinc}^2 \left(\frac{kD}{2} \sin \theta \cdot N \right)}{\text{sinc}^2 \left(\frac{kD}{2} \sin \theta \right)} \cdot \cos^2 \theta$$



имеем максимумы
 $\sin \theta_0 = \theta_0 = d(n-1)$
 обратные б. о. $\sin \theta$
 б. м. $\theta_0 \pm \Delta \theta$, $\Delta \theta \approx \frac{d}{D}$

$\frac{\text{sinc}^2 Nx}{\text{sinc}^2 x}$ — интерф. мн-во

значения макс-мов:

$$\frac{kD}{2} \sin \theta_m = m\pi \Rightarrow \sin \theta_m \approx \theta_m = \frac{m d}{D}$$

$$\Delta \theta_{\text{шир}} \approx \frac{1}{DN}$$

преимущества:

1. интерферометр Фабри-Перо

$$S_N = b_1 \frac{1 - q^N}{1 - q}$$

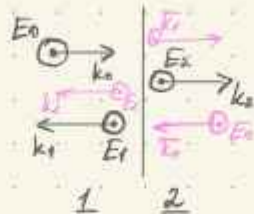
$$q = r_{21} r_{23} e^{i\delta}$$

т.к. $|q| < 1 \Rightarrow q^N \xrightarrow{N \rightarrow \infty} 0$

$$E_{\text{отр}} = E_0 (r_{12} + t_{12} t_{21} r_{23} e^{i\delta} (1 + r_{21} r_{23} e^{i\delta} + (r_{21} r_{23})^2 e^{2i\delta} + \dots))$$

$$E_{\text{отр}} = E_0 \left(r_{12} + \frac{t_{12} t_{21} r_{23} e^{i\delta}}{1 - r_{21} r_{23} e^{i\delta}} \right) \quad (*)$$

① соотн. между 1 и 2 (ТЕ-волна)



$$\{E_z\}_r = 0$$

$$1 \rightarrow 2: E_0 + E_1 = E_2 \quad | : E_0 \Rightarrow 1 + r_{12} = t_{12}$$

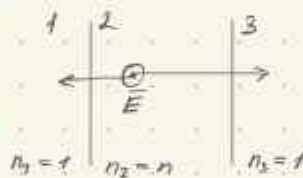
$$2 \rightarrow 1: E_0 + E_1 = E_2 \quad | : E_0 \Rightarrow 1 + r_{21} = t_{21}$$

$$r_{12} = \frac{\sin(\theta_2 - \theta_1)}{\sin(\theta_2 + \theta_1)}, \quad r_{21} = \frac{\sin(\theta_1 - \theta_2)}{\sin(\theta_1 + \theta_2)} \Rightarrow r_{21} = -r_{12} \Rightarrow t_{21} \cdot t_{12} = 1 - r_{12}^2$$

$$E_{\text{отр}} = E_0 \left(r_{12} + \frac{(1 - r_{12}^2) r_{23} e^{i\delta}}{1 + r_{12} r_{23} e^{i\delta}} \right)$$

$$I_{\text{отр}} = \frac{|E_0|^2}{2} \left(r_{12} + \frac{(1 - r_{12}^2) r_{23} e^{i\delta}}{1 + r_{12} r_{23} e^{i\delta}} \right) \left(r_{12} + \frac{(1 - r_{12}^2) r_{23} e^{-i\delta}}{1 + r_{12} r_{23} e^{-i\delta}} \right) = \dots = \frac{|E_0|^2}{2} \left[\frac{r_{12}^2 + 2 r_{12} r_{23} \cos \delta + r_{23}^2}{1 + 2 r_{12} r_{23} \cos \delta + r_{12}^2 r_{23}^2} \right] \quad \textcircled{C}$$

② связь между r_{12} и r_{23} :



$$2 \rightarrow 1: E_0 + E_1 = E_2 \quad | : E_0 \Rightarrow t_{21} = t_{12}, \text{ т.к. } n_1 = n_2$$

$$2 \rightarrow 3: E_0 + E_1 = E_2 \quad | : E_0 \Rightarrow r_{21} = r_{23} = -r_{12}$$

$$\textcircled{C} \frac{|E_0|^2}{2} \left[\frac{2 r_{12}^2 - 2 r_{12}^2 \cos \delta}{1 - 2 r_{12}^2 \cos \delta + r_{12}^4} \right]$$

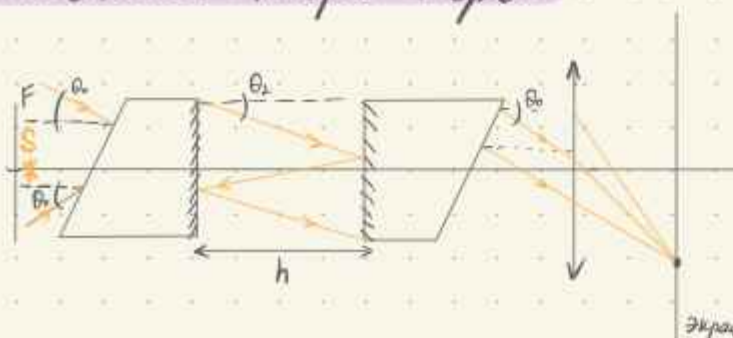
$$I_{\text{пр}} = I_0 - I_{\text{отр}} = I_0 \left(\frac{1 - r_{12}^2}{(1 - r_{12}^2)^2 + 4 r_{12}^2 \sin^2(\delta/2)} \right)$$

через функцию Эври: $I_{\text{пр}} = \frac{I_0}{1 + 4R \sin^2(\delta/2)}$

($\delta = 2kd n \cos \theta_2 = 2kd \sqrt{n^2 - \sin^2 \theta_0}$)

$$I_{\text{отр}} = \frac{I_0}{1 + \frac{(1-R)^2}{4R \sin^2(\delta/2)}}$$

2. Эталон Фабри-Перо



$$I = \frac{I_0}{1 + 4R \frac{\sin^2(\delta/2)}{(1-R)^2}}, \text{ где } \delta = 2kh \sqrt{1 - \sin^2 \theta_0}$$

$$a) kh \cos \theta_{m0} = \pi m_0 \Rightarrow m_0 = \frac{kh}{\pi} = \frac{2\pi h}{\lambda \pi} = \frac{2h}{\lambda}$$

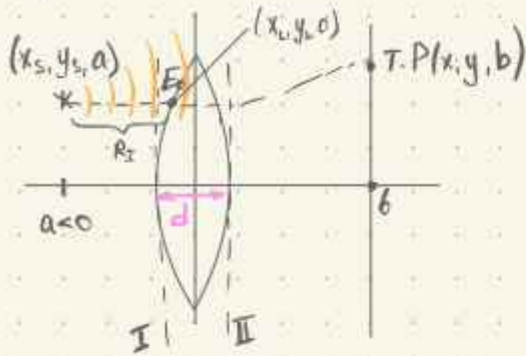
(макс. порядка интерф. картины)

$$b) \cos \theta_m = \pi m / kh = m / m_0$$

б) характ. угловое расст. между макс: $\theta_{m+1} = \theta_m + \Delta \theta_m \Rightarrow \Delta \theta_m = 1 / \sqrt{m_0^2 - m^2}$

в) углов. углубоко ширину по полувысоте: $\frac{4R}{(1-R)^2} \sin^2(\pi m \cos(\theta_m + \delta \theta_m)) = 1 \Rightarrow \delta \theta_m = \frac{(1-R)}{2R} \cdot \frac{1}{\pi} \cdot \frac{1}{\sqrt{m_0^2 - m^2}}$

применим принцип Г-Р и построению изображения точечного ис- в линзе



$$E_I(x_i, y_i, 0) = E_0 e^{ikR_I}$$

$$E_{II} = E_I e^{ik(nd - \frac{z^2}{2f_n})} = E_0 e^{ik(-a - \frac{(x_s - x_i)^2 + (y_s - y_i)^2}{2a} + nd - \frac{x_i^2 + y_i^2}{2f_n})}$$

$$R_I = \sqrt{a^2 + (x_s - x_i)^2 + (y_s - y_i)^2} = \frac{|a| + (x_s - x_i)^2 + (y_s - y_i)^2}{2|a|}$$

$$R_{II} = \sqrt{b^2 + (x - x_i)^2 + (y - y_i)^2} \approx b + \frac{(x - x_i)^2 + (y - y_i)^2}{2b}$$

$$E_P(x_i, y_i, b) = \frac{k}{2\pi i b} \int E_I(x_s, y_s) \frac{e^{ikR_I}}{R_I} dS \cos \theta \Rightarrow \text{подставим } E_{II}$$

пусть линза прямоугол. с р-ми D_x и D_y :

$$\int_{-D_x/2}^{D_x/2} dx_s \exp\left(ik\left[-\frac{1}{2a}(x_s^2 + y_s^2 - 2x_s x_i) - \frac{x_i^2}{2f_n} + \frac{x^2 + y_i^2 - 2x x_i}{2b}\right]\right)$$

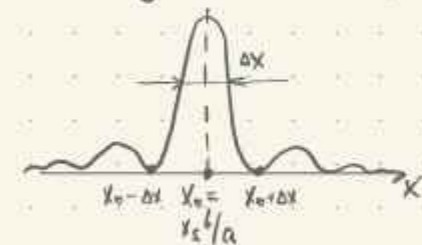
$$\left[\right] = x_i^2 \left(-\frac{1}{2a} - \frac{1}{2f_n} + \frac{1}{2b}\right) + x_i \left(\frac{x_s}{a} - \frac{x}{b}\right) - \frac{1}{2a} y_s^2 + \frac{y^2}{2b} \Rightarrow \text{если } a, b \text{ - сопряж-е, тогда } \frac{1}{a} + \frac{1}{f_n} = \frac{1}{b}$$

$$\int_{-D_x/2}^{D_x/2} e^{ik\left(\frac{x^2}{2b} - \frac{y_s^2}{2a}\right)} e^{ik\left(\frac{x_s}{a} - \frac{x}{b}\right)x_i} dx_s = e^{ik\left(\frac{x^2}{2b} - \frac{y_s^2}{2a}\right)} \frac{\sin\left(k\left(\frac{x_s}{a} - \frac{x}{b}\right)\frac{D_x}{2}\right)}{k\left(\frac{x_s}{a} - \frac{x}{b}\right)\frac{D_x}{2}} \cdot \frac{2D_x}{2}$$

$$E_P(x_i, y_i, b) = \frac{k}{2\pi i b} e^{ik\left(|a| + \frac{y_s^2}{2|a|} + \frac{y_i^2}{2|a|} + nd + b + \frac{y^2 + y_i^2}{2b}\right)} D_x D_y \text{sinc}\left(\frac{kD_x}{2}\left(\frac{x_s}{a} - \frac{x}{b}\right)\right) \text{sinc}\left(\frac{kD_y}{2}\left(\frac{y_s}{a} - \frac{y}{b}\right)\right)$$

$$I_P = \frac{|E_P|^2}{2} = \frac{D_x^2 D_y^2}{4^2 f^2} \text{sinc}^2\left(\frac{kD_x}{2}\left(\frac{x_s}{a} - \frac{x}{b}\right)\right) \text{sinc}^2\left(\frac{kD_y}{2}\left(\frac{y_s}{a} - \frac{y}{b}\right)\right)$$

анализ: макс-м I_P в т.: 1) $x_0 = x_s \frac{b}{a} (>0)$



$$\frac{kD_x}{2}\left(\frac{x_s}{a} - \frac{x_0 + \Delta x}{b}\right) = \pm \pi \Rightarrow \Delta x = \mp \frac{2\pi b}{kD_x} = \frac{\lambda b}{D_x} = (\theta_{\text{диф}})_x b$$

$$2) y_0 = y_s \frac{b}{a}$$

$$\Delta y = \frac{\lambda}{2y} b = (\theta_{\text{диф}})_y b$$

опыт Аббе—Портера:

(картинка опыта)

в плоскости $z=F$ выполнены условия дифракции Фраунгофера ($\frac{D^2}{\lambda z} \ll 1$)

$$\Rightarrow E(x, y, F) = \frac{k}{2\pi i F} e^{ikF} \iint E_s(x_s, y_s, a) e^{-ik\frac{x^2}{2} - ik\frac{y^2}{2}} dx_s dy_s$$

$$I(x, y, F)_{\text{фраунг}} = I_0 \text{sinc}^2\left(\frac{kd}{2} \sin \theta\right) \text{sinc}^2\left(\frac{kD}{2} \sin \theta\right) \cos^2 \theta$$

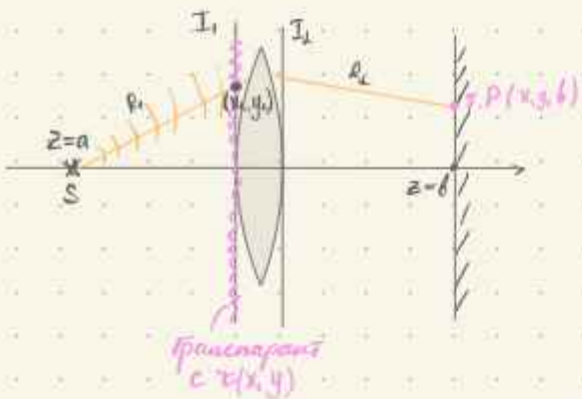
$$E(x, y, F) = E_0 e \text{sinc}\left(k_x \frac{d}{2}\right) \frac{\sin\left(\frac{k_y}{2} D\right)}{\sin\left(\frac{k_y}{2} D\right)}$$

$$\tau(x_s, y_s) = \tau_x(x_s) \tau_y(y_s) \Rightarrow E(x, y, F) \sim \hat{\tau}_x(k_x) \hat{\tau}_y(k_y)$$



$kR = k\sqrt{z^2 + D^2} = k\left(z + \frac{D^2}{2z} + O\left(\frac{D^4}{z^3}\right)\right)$
 исследуем $\frac{D^2}{2z} \ll \sqrt{f\lambda}$, но это не так, потому что это достаточно быть линзу $D \sim 20$ см Френеля, чтобы она достаточно хорошо определяла изображение: $D \sim \sqrt{2\lambda z}$

Линза как Фурье анализатор. Голография Френеля.



$$R_1 = \sqrt{a^2 + x_1^2 + y_1^2} \approx |a| + \frac{x_1^2 + y_1^2}{2|a|}; R_2 = \sqrt{b^2 + (x-x_1)^2 + (y-y_1)^2} = b + \frac{(x-x_1)^2 + (y-y_1)^2}{2b}$$

$$E_I = \tau(x_1, y_1) E_0 e^{ikR_1} = \tau(x, y) E_0 e^{ik(|a| + \frac{x^2 + y^2}{2|a|})}$$

$$E_{II} = E_I e^{ik(nd - \frac{x^2 + y^2}{2F})}$$

(если Диаметр $\gg \sqrt{2a|b|}$)

$$E_P(x, y, b) = \frac{k}{2\pi b} \iint_{-\infty}^{\infty} dx_1 dy_1 \tau(x_1, y_1) E_0 e^{ik(|a| + \frac{x_1^2 + y_1^2}{2|a|})} e^{ik(nd - \frac{x_1^2 + y_1^2}{2F})} e^{ik(b + \frac{(x-x_1)^2 + (y-y_1)^2}{2b})} \cos \theta \approx 1$$

$$E_P = \frac{k}{ib} E_0 e^{ik(|a| + b + \frac{x^2 + y^2}{2b})} \cdot \frac{1}{2\pi} \iint \tau(x_1, y_1) e^{-ik\frac{x}{b}x_1} e^{-ik\frac{y}{b}y_1} dx_1 dy_1, \text{ если } \frac{1}{a} + \frac{1}{F} = \frac{1}{b}$$

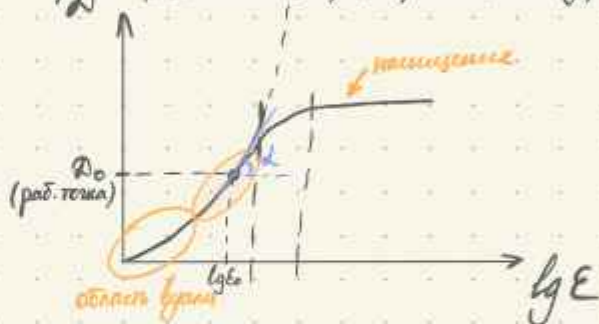
опр: голография - результат интерференции опорной и предметной волн



D - коэфф. или ф-я поглощения фотозульсина

$E = I \cdot \Delta t$ - величина экспозиции
↳ время экспозиции

кривая Хертера-Дриффелда:
(отмывает коэф. поглощения от выдержки)

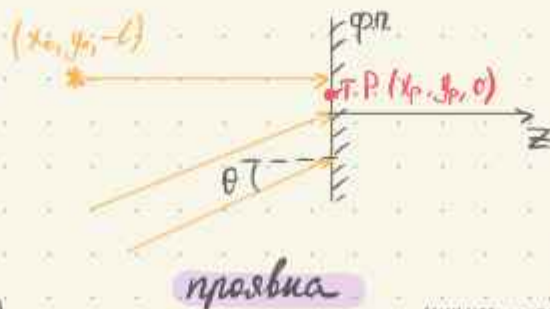
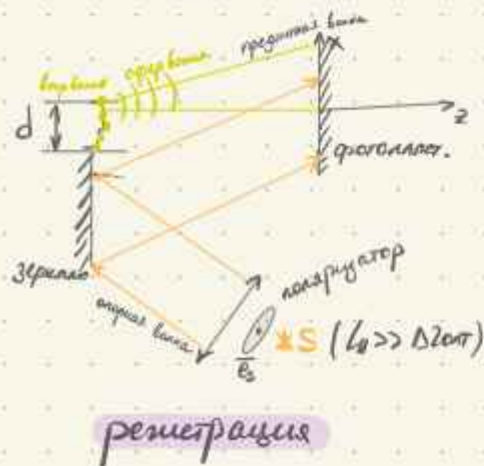


$D = \lg |\chi|^2$, где χ - коэфф-т пропускания $\Rightarrow |\chi| = 1 \Rightarrow D = 0$ - пластина прозрачная
 $|\chi| \rightarrow 0 \Rightarrow D \rightarrow \infty$ - все черное

$\lg d = \Gamma$ - величина контрастности

работаем на мин. участке: $D = -\lg |\chi|^2 = D_0 + \Gamma \cdot \lg \frac{E}{E_0} \Rightarrow \frac{1}{|\chi|^2} = 10^{D_0} \cdot \frac{E}{E_0} = 10^{D_0} \left(\frac{I}{I_0} \right)^\Gamma$

$$|\chi| = \frac{10^{-\frac{D_0}{2}}}{(I/I_0)^{\Gamma/2}} = \frac{\tau_0}{(I/I_0)^{\Gamma/2}}, \text{ где } \tau_0 = 10^{-D_0/2}$$



результат



преобразования Лоренца:

$$\begin{aligned} & \text{прямое} \quad \begin{cases} ct' = \gamma(ct - \beta x) \\ x' = \gamma(x - \beta ct) \\ y' = y \\ z' = z \end{cases} \quad \text{и} \quad \begin{cases} ct = \gamma(ct' + \beta x') \\ x = \gamma(x' + \beta ct') \\ y = y' \\ z = z' \end{cases} \\ & \text{обратное} \end{aligned}$$

опр: 4-х в-р - такие 4-х величины (x^0, x^1, x^2, x^3) , которые преобразовываются при переходе из ИСО₁ → ИСО₂ так, как компоненты 4-х вектора события:

$$\begin{pmatrix} x^0 \\ x^1 \\ x^2 \\ x^3 \end{pmatrix} = \underbrace{\begin{pmatrix} \gamma & -\beta\gamma & 0 & 0 \\ -\beta\gamma & \gamma & 0 & 0 \\ 0 & 0 & 1 & 0 \\ 0 & 0 & 0 & 1 \end{pmatrix}}_{\Lambda^i_k} \begin{pmatrix} x^0 \\ x^1 \\ x^2 \\ x^3 \end{pmatrix} \Leftrightarrow x^{i'} = \Lambda^i_{k'} x^k$$

↑
номер строки
↑
номер столбца

правила понижения и повышения индексов

$$\begin{aligned} x^i &= g^{ik} x_k & - \text{повышение} \\ x_i &= g_{ik} x^k & - \text{понижение} \end{aligned}$$

$$\begin{pmatrix} x_0 \\ x_1 \\ x_2 \\ x_3 \end{pmatrix} = \begin{pmatrix} 1 & 0 & 0 & 0 \\ 0 & -1 & 0 & 0 \\ 0 & 0 & 1 & 0 \\ 0 & 0 & 0 & -1 \end{pmatrix} \begin{pmatrix} x^0 \\ x^1 \\ x^2 \\ x^3 \end{pmatrix} \Rightarrow \begin{aligned} x_0 &= x^0 \\ x_1 &= -x^1 \\ x_2 &= x^2 \\ x_3 &= -x^3 \end{aligned}$$

опр: 4-х тензор 2-го ранга A^{ik} составляет совокупность 16 упорядоченных эл-тов, которые преобр-ся как произв. координаты $x^i x^k$

$$a^{i'} b^{k'} = \Lambda^i_{n'} a^n \Lambda^k_{m'} b^m = \Lambda^i_{n'} \Lambda^k_{m'} a^n b^m$$

$$F^{i'k'} = \Lambda^i_{n'} \Lambda^k_{m'} F^{nm};$$

$$F^{ik} = \bar{\Lambda}^i_{n'} \bar{\Lambda}^k_{m'} F^{n'm'}$$

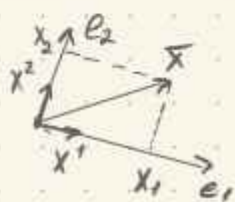
в пространстве $(ct, \vec{z}) = (x^0, x^1, x^2, x^3)$ можно выделить 4-х базис. в-ра

$$\Rightarrow \forall 4\text{-х вектор: } x = e_0 x^0 + e_1 x^1 + e_2 x^2 + e_3 x^3; (e_i, e_k) = g_{ik} = \begin{pmatrix} 1 & & & \\ & -1 & & \\ & & 1 & \\ & & & -1 \end{pmatrix} - \text{метрический тензор}$$

$$\text{пусть } OP = e_i x^i_P, OQ = e_i x^i_Q \Rightarrow (PQ, PQ) = (e_i(x^i_P - x^i_Q), e_k(x^k_P - x^k_Q)) = g_{ik}(x^i_P - x^i_Q)(x^k_P - x^k_Q)$$

$$\bar{x} = \sum_i e_i x^i$$

$$(\bar{x}, \bar{x}) = (\sum_i \bar{e}_i x^i, \sum_j \bar{e}_j x^j) = (\bar{e}_i \bar{e}_j) x^i x^j = g_{ij} x^i x^j$$



опр: инвариант $S^2 = c^2(t_p - t_q)^2 - (x_p - x_q)^2 - (y_p - y_q)^2 - (z_p - z_q)^2$

Преобразования ковариантных и контрвариантных 4х тензоров. Эффект Доплера

$$(X, Y) = (e_i X^i, e_k X^k) = g_{ik} X^i X^k = X_i X^k \quad \begin{matrix} \text{контрвариантный} \\ \text{ковариантный} \end{matrix}$$

$$X'^i = \Lambda^i_k X^k$$

$$X'_i = \Lambda^k_i X_k$$

(+)

правила понижения и повышения индексов

$$X^i = g^{ik} X_k \quad \text{— повышение}$$

$$X_i = g_{ik} X^k \quad \text{— понижение}$$

$$\begin{pmatrix} X_0 \\ X_1 \\ X_2 \\ X_3 \end{pmatrix} = \begin{pmatrix} 1 & & & \\ & -1 & & \\ & & -1 & \\ & 0 & -1 & -1 \end{pmatrix} \begin{pmatrix} X^0 \\ X^1 \\ X^2 \\ X^3 \end{pmatrix} \Rightarrow \begin{matrix} X_0 = X^0 \\ X_1 = -X^1 \\ X_2 = -X^2 \\ X_3 = -X^3 \end{matrix}$$

Эффект Доплера:

$$E_0 e^{i(k \cdot \vec{r}) - i\omega t} = E_0 e^{i\varphi} \Rightarrow \frac{c\omega t - (k \cdot \vec{r})}{c} = \text{inv} \Rightarrow k_i z^i = k_i X^i = \text{inv}$$

$$k_i X^i = \text{inv} \Rightarrow \underbrace{\left(\frac{\omega}{c}, -k_x, -k_y, -k_z \right)}_{k_i} (ct, x, y, z) = \text{inv} \Rightarrow k^i = \left(\frac{\omega}{c}, k_x, k_y, k_z \right)$$

$$\begin{pmatrix} \frac{\omega'}{c} \\ k'_x \\ k'_y \\ k'_z \end{pmatrix} = \begin{pmatrix} \gamma & -\gamma\beta & 0 & 0 \\ -\gamma\beta & \gamma & 0 & 0 \\ 0 & 0 & 1 & 0 \\ 0 & 0 & 0 & 1 \end{pmatrix} \begin{pmatrix} \frac{\omega}{c} \\ k_x \\ k_y \\ k_z \end{pmatrix} \Rightarrow \frac{\omega'}{c} = \gamma \frac{\omega}{c} (1 - \beta \cos \theta)$$

$$\omega' = \omega_{\text{кр}} \sqrt{\frac{1+\beta}{1-\beta}} \quad \text{— (прод. эффект Доплера)} \Rightarrow$$

• если k и k' направлены к друг другу
 $\Rightarrow \omega' = \omega_{\text{кр}} \sqrt{1+\beta} > \omega_{\text{кр}}$, т.е.

частота $\omega \uparrow$, длина волны $\lambda \downarrow$ — **синий сдвиг**

• если k и k' расходятся,
 то $\omega \downarrow$, а $\lambda \uparrow$ — **красный сдвиг**

$$\omega' = \omega_0 \sqrt{1-\beta^2} < \omega_0 \quad \text{— поперечный эффект Доплера}$$

4х вектор плотности тока j^μ : ур-ние непрерывности (закон сохранения заряда)

$$\frac{\partial \rho c}{\partial t} + \text{div} \vec{j} = 0 \Rightarrow \frac{\partial \rho c}{\partial x^0} + \frac{\partial j_x}{\partial x^1} + \frac{\partial j_y}{\partial x^2} + \frac{\partial j_z}{\partial x^3} = 0 \Rightarrow \underbrace{\left(\frac{\partial}{\partial x^0}, \frac{\partial}{\partial x^1}, \frac{\partial}{\partial x^2}, \frac{\partial}{\partial x^3} \right)}_{\partial_\mu} \underbrace{\begin{pmatrix} \rho c \\ j_x \\ j_y \\ j_z \end{pmatrix}}_{j^\mu} = 0 \quad \text{4-штор}$$

$$j^\mu = (\rho c, \vec{j}) = (\rho c, j^1, j^2, j^3) \quad \partial_j j^j = 0$$

$$\text{div} \vec{B} = 0 \Rightarrow \vec{B} = \text{rot} \vec{A} \Rightarrow \vec{A}^{\text{нов}} = \vec{A} - \nabla f(z, t) \quad \text{применяем скалярную функцию}$$

$$\text{rot} \vec{E} = -\frac{1}{c} \frac{\partial \vec{B}}{\partial t} = -\frac{1}{c} \frac{\partial}{\partial t} (\text{rot} \vec{A}) = \text{rot} \left(-\frac{1}{c} \frac{\partial \vec{A}}{\partial t} \right) \Rightarrow \vec{E} = -\frac{1}{c} \frac{\partial \vec{A}}{\partial t} - \nabla \varphi \quad \text{скалярный потенциал}$$

чтобы э. поле оставалось нулевым:

$$-\frac{1}{c} \frac{\partial \vec{A}}{\partial t} - \nabla \varphi = -\frac{1}{c} \frac{\partial}{\partial t} (\vec{A}^{\text{нов}} + \nabla f(z, t)) - \nabla (\varphi^{\text{нов}} + \delta)$$

$$\varphi = \varphi^{\text{нов}} + \delta = \varphi^{\text{нов}} - \frac{1}{c} \frac{\partial f}{\partial t} \Rightarrow \begin{cases} \vec{A}^{\text{нов}} = \vec{A} - \nabla f \\ \varphi^{\text{нов}} = \varphi + \frac{1}{c} \frac{\partial f}{\partial t} \end{cases} \quad \text{калибровочная инвариантность}$$

Виды калибровок:

$$1) \varphi^{\text{нов}} = 0 \Rightarrow f = -c \int_{-\infty}^t \varphi(\vec{z}, t') dt' \quad \text{ур-ние Пуассона}$$

$$2) \text{ кулоновская калибровка: } \text{div} \vec{A}^{\text{нов}} = 0 \Rightarrow \text{div} (\vec{A} - \nabla f) = 0 \Rightarrow \Delta f = \text{div} \vec{A}$$

$$3) \text{ лоренцовская калибровка: } \text{div} \vec{A}^{\text{нов}} + \frac{1}{c} \frac{\partial \varphi^{\text{нов}}}{\partial t} = 0$$

$$\text{div} (\vec{A} - \nabla f) + \frac{1}{c} \frac{\partial}{\partial t} \left(\varphi + \frac{1}{c} \frac{\partial f}{\partial t} \right) = 0 \Rightarrow \underbrace{-\frac{1}{c^2} \frac{\partial^2 f}{\partial t^2} + \Delta f}_{\text{ур-ние Гейнцельса}} = \text{div} \vec{A} + \frac{1}{c} \frac{\partial \varphi}{\partial t}$$

лоренц. калибровка позволяет ввести 4х вектор потенциала

$$\frac{\partial}{\partial x^0} \varphi^{\text{нов}} + \frac{\partial}{\partial x^1} A_x^{\text{нов}} + \frac{\partial}{\partial x^2} A_y^{\text{нов}} + \frac{\partial}{\partial x^3} A_z^{\text{нов}} = 0 \Rightarrow \partial_\mu A^{\mu \text{нов}} = 0, \quad A^{\mu \text{нов}} = (\varphi^{\text{нов}}, \vec{A}^{\text{нов}})$$

Уравнения для потенциалов. Ко — и контравариантная запись. Использование разных калибровок.

$$\partial_i \partial^i \varphi = 4\pi\rho$$

$$\partial_i \partial^i A^k = \frac{4\pi}{c} j^k$$

$$\bar{A}^* = \bar{A} - \nabla f(\vec{r}, t)$$

$$\varphi^* = \varphi - \frac{1}{c} \frac{\partial f}{\partial t}$$

$$\Rightarrow \begin{cases} 1. \varphi^* = 0 \Rightarrow f = -c \int \varphi dt \\ 2. \operatorname{div} \bar{A}^* = 0 \Rightarrow \Delta f = \operatorname{div} \bar{A} \end{cases}$$

$$3. \frac{1}{c} \frac{\partial \varphi^*}{\partial t} + \operatorname{div} \bar{A}^* = 0$$

$$\frac{1}{c} \frac{\partial}{\partial t} \left(\varphi + \frac{1}{c} \frac{\partial f}{\partial t} \right) + \operatorname{div} (\bar{A} - \nabla f) = 0$$

$$-\frac{1}{c} \frac{\partial^2 f}{\partial t^2} + \Delta f = \frac{1}{c} \frac{\partial \varphi}{\partial t} + \operatorname{div} \bar{A}$$

Тензор лмг поля. Ковариантная форма уравнений Максвелла

$$F_{ik} = \frac{\partial A_k}{\partial x^i} - \frac{\partial A_i}{\partial x^k}, \quad A_i = (\varphi, -\vec{A})$$

$$F_{ik} = \begin{pmatrix} 0 & E_x & E_y & E_z \\ -E_x & 0 & -B_z & B_y \\ -E_y & B_z & 0 & -B_x \\ -E_z & -B_y & B_x & 0 \end{pmatrix}, \quad F^{ik} = \begin{pmatrix} 0 & -E_x & -E_y & -E_z \\ E_x & 0 & -B_z & B_y \\ E_y & B_z & 0 & -B_x \\ E_z & -B_y & B_x & 0 \end{pmatrix}$$

пр. часть: $\frac{4\pi}{c} j^i$

лев. часть: произв. F'_{ik}
(из эл-тов $\nabla_k F^{lm}$)

$$1) \operatorname{div} \vec{E} = \frac{4\pi}{c} j^0; \quad -\frac{1}{c} \frac{\partial \vec{E}}{\partial t} + \operatorname{rot} \vec{B} = \frac{4\pi}{c} \vec{j} \Rightarrow \frac{\partial F^{ik}}{\partial x^k} = -\frac{4\pi}{c} j^i$$

$$2) \operatorname{rot} \vec{E} = -\frac{1}{c} \frac{\partial \vec{B}}{\partial t}; \quad \operatorname{div} \vec{B} = 0 \Rightarrow \underbrace{\nabla_i F_{ki} + \nabla_i F_{ik} + \nabla_k F_{li}}_{4 \text{ уравнения}} = 0$$

T_{ikl} - антисимм. тензор 3-го ранга = $\nabla_k F_{il} + \nabla_l F_{ki} + \nabla_i F_{lk}$, имеет 4 независ. $\neq 0$ компоненты ($T_{012}, T_{013}, T_{023}, T_{123}$)

$$\text{пр: } T_{123} = \nabla_1 F_{23} + \nabla_3 F_{12} + \nabla_2 F_{31} = \frac{\partial}{\partial x} (-B_x) + \frac{\partial}{\partial z} (-B_z) + \frac{\partial}{\partial y} (-B_y) = -\operatorname{div} \vec{B}$$

$$F_{ik} F^{ik} = F_{00} F^{00} + F_{10} F^{10} + F_{20} F^{20} + F_{30} F^{30} + F_{01} F^{01} + \dots = i\hbar\sigma = 2(B^2 - E^2)$$

$$\tilde{F}_{ik} \tilde{F}^{ik} = 2(E^2 - B^2) = i\hbar\sigma$$

$$\tilde{F}_{ik} \hat{F}^{ik} = -(\bar{E}, \bar{B}) - (\bar{E}, \bar{B}) - 2(\bar{E}, \bar{B}) = -4(\bar{E}, \bar{B}) = i\hbar\sigma$$

$$F^{ik} = \Lambda^i_{\cdot m} \Lambda^k_{\cdot n} F^{mn}$$

$$F^{1k3} = |a^{k'} b^{3'}| = \Pi^k_{\cdot m} a^m b^3 = \Lambda^k_{\cdot m} F^{m3} \Rightarrow \begin{pmatrix} -E_3' \\ B_2' \\ -B_1' \\ 0 \end{pmatrix} = \begin{pmatrix} \gamma & -\gamma\beta & 0 & 0 \\ \gamma\beta & \gamma & 0 & 0 \\ 0 & 0 & 1 & 0 \\ 0 & 0 & 0 & 1 \end{pmatrix} \begin{pmatrix} -E_3 \\ B_2 \\ -B_1 \\ 0 \end{pmatrix} \Rightarrow$$

$$\Rightarrow \begin{cases} E_3' = \gamma(E_3 + \beta B_2) \\ B_2' = \gamma(B_2 + \beta E_3) \\ B_1' = B_1 \end{cases}$$

$$F^{1k2} = \Lambda^k_{\cdot m} F^{m2} \Rightarrow \begin{pmatrix} -E_2' \\ -B_3' \\ 0 \\ B_1' \end{pmatrix} = \begin{pmatrix} \gamma & -\gamma\beta & 0 & 0 \\ -\gamma\beta & \gamma & 0 & 0 \\ 0 & 0 & 1 & 0 \\ 0 & 0 & 0 & 1 \end{pmatrix} \begin{pmatrix} -E_2 \\ -B_3 \\ 0 \\ B_1 \end{pmatrix} \Rightarrow \begin{cases} E_2' = \gamma(E_2 - \beta B_3) \\ B_3' = \gamma(B_3 - \beta E_2) \\ B_1' = B_1 \end{cases}$$

$$\omega \quad \tilde{F}^{23'} = \tilde{F}^{23} \Rightarrow E_1' = E_1$$

$$\begin{array}{l|l|l} B_1' = \gamma(B_1 + [\vec{\beta} \times \vec{E}]) & \bar{B}_1 = \gamma(\bar{B}_1 + [\vec{\beta} \times \vec{E}']) & \bar{E}_{||} = \bar{E}'_{||} \\ E_1' = \gamma(\bar{E}_1 - [\vec{\beta} \times \vec{B}]) & \bar{E}_1 = \gamma(\bar{E}_1 - [\vec{\beta} \times \vec{B}']) & \bar{B}_{||} = \bar{B}'_{||} \end{array}$$

Запаздывающие потенциалы. Разложим потенциалы в ближней и волновых зонах.

построить решение ур-н (для безграничного пр-ва ⊕ точки и заряды занимают отрицат. обл-ть простран-ва)

$$\begin{cases} \Delta \bar{A} - \frac{1}{c^2} \frac{\partial^2 \bar{A}}{\partial t^2} = -\frac{4\pi}{c} \bar{j}(\bar{z}, t) \\ \Delta \bar{\psi} - \frac{1}{c^2} \frac{\partial^2 \bar{\psi}}{\partial t^2} = -4\pi \rho(\bar{z}, t) \end{cases}$$

в предельном случае стат. полей ур-е сводятся к:

$$\begin{aligned} \Rightarrow \Delta \bar{A} &= -\frac{4\pi}{c} \bar{j} \xrightarrow{\text{решение}} \bar{A}(\bar{z}) = \frac{1}{c} \int \frac{\bar{j}(\bar{z}') dV'}{|\bar{z} - \bar{z}'|} \\ \Delta \bar{\psi} &= -4\pi \rho \xrightarrow{\text{решение}} \bar{\psi}(\bar{z}) = \int \frac{\rho(\bar{z}') dV'}{|\bar{z} - \bar{z}'|} \end{aligned}$$

для общего случая $\bar{j}(\bar{z}, t)$ и $\rho(\bar{z}, t)$ решение имеет аналогичную структуру:

$$\begin{aligned} \bar{A}(\bar{z}, t) &= \frac{1}{c} \int \frac{1}{|\bar{z} - \bar{z}'|} \bar{j}(\bar{z}', t - \frac{|\bar{z} - \bar{z}'|}{c}) dV' \\ \bar{\psi}(\bar{z}, t) &= \int \frac{1}{|\bar{z} - \bar{z}'|} \rho(\bar{z}', t - \frac{|\bar{z} - \bar{z}'|}{c}) dV' \end{aligned} \quad \left. \begin{array}{l} \text{запаздывающие} \\ \text{потенциалы} \end{array} \right\} \quad \begin{array}{l} \text{(токи и заряды эл. объема } dV' \text{ в точке наблюдения с } \bar{z} \\ \text{связываются с запаздыванием по времени = } \frac{|\bar{z} - \bar{z}'|}{c} \text{)}$$

разложение: $|\bar{z} - \bar{z}'| = \sqrt{(\bar{z} + \bar{z}')(\bar{z} - \bar{z}')} = \bar{z} - (\bar{n} \cdot \bar{z}')$

$$\frac{1}{|\bar{z} - \bar{z}'|} = \frac{1}{\bar{z}} + \frac{(\bar{n} \cdot \bar{z}')}{\bar{z}^2}$$

$$\bar{j}(\bar{z}', t - \frac{|\bar{z} - \bar{z}'|}{c}) = \bar{j}(\bar{z}', t - \frac{\bar{z}}{c} + \frac{(\bar{n} \cdot \bar{z}')}{c}) \Rightarrow \frac{\partial}{\partial t} \ll 1, \text{ т.е. } \frac{\partial}{\partial t} \ll 1$$

T-хар-с время изменения тока \bar{j}

$$\begin{aligned} \bar{j}(\bar{z}', t - \frac{|\bar{z} - \bar{z}'|}{c}) &= \bar{j}(\bar{z}', t' + \frac{\bar{n} \cdot \bar{z}'}{c}) = \bar{j}(\bar{z}', t') + \frac{\partial \bar{j}(\bar{z}', t')}{\partial t'} \frac{(\bar{n} \cdot \bar{z}')}{c} \Rightarrow \text{подставим в } \bar{A}: \\ \bar{A}(\bar{z}, t) &= \frac{1}{c^2} \left\{ \int \bar{j}(\bar{z}', t') dV' + \frac{1}{\bar{z}} \int \bar{j}(\bar{z}', t') (\bar{n} \cdot \bar{z}') dV' + \frac{1}{c} \frac{\partial}{\partial t'} \int \bar{j}(\bar{z}', t') (\bar{n} \cdot \bar{z}') dV' \right\} \end{aligned}$$

Нипук



\bar{j} от гб-ца заряда $e_i \Rightarrow \bar{j}(\bar{z}', t') = e_i \bar{v}_i \delta(\bar{z}' - \bar{z}_i(t'))$, $\bar{v}_i(t') = \frac{d\bar{z}_i(t')}{dt'}$

$$\int \bar{j}(\bar{z}', t') dV' = e_i \bar{v}_i(t') \Rightarrow \int \bar{j}(\bar{z}', t') dV' = \sum_i e_i \bar{v}_i(t') = \frac{d}{dt} \sum_i e_i \bar{z}_i(t') = \dot{\bar{d}}(t')$$

дип. мом

$$\frac{1}{c} \int \bar{j}(\bar{z}', t') (\bar{n} \cdot \bar{z}') dV' = \frac{1}{c} \sum_i e_i \bar{v}_i(t') (\bar{n} \cdot \bar{z}_i(t')) \Rightarrow \text{выразим 1/3 мат и квадр. моменты:}$$

$$\bar{v}_i(t') (\bar{n} \cdot \bar{z}_i(t')) = \frac{d}{dt'} [\bar{z}_i(t') (\bar{n} \cdot \bar{z}_i(t'))] - \bar{z}_i(t') (\bar{n} \cdot \bar{v}_i(t'))$$

$$\bar{v}_i (\bar{n} \cdot \bar{z}_i) = \frac{1}{2} \bar{v}_i (\bar{n} \cdot \bar{z}_i) + \frac{1}{2} \frac{d}{dt'} (\bar{z}_i (\bar{n} \cdot \bar{z}_i)) - \frac{1}{2} \bar{z}_i (\bar{n} \cdot \bar{v}_i) \quad [\sim \text{объедин-ся 1 вектор. произв.}]$$

итог: $\bar{v}_i(t') (\bar{n} \cdot \bar{z}_i(t')) = \frac{1}{2} [\bar{z}_i(t') \times \bar{v}_i(t')] \times \bar{n} + \frac{1}{2} \frac{d}{dt'} [\bar{z}_i(t') (\bar{n} \cdot \bar{z}_i(t'))]$

$$\frac{1}{c} \int \bar{j}(\bar{z}', t') (\bar{n} \cdot \bar{z}') dV' = \left[\frac{1}{2c} \sum_i e_i [\bar{z}_i(t') \times \bar{v}_i(t')] \times \bar{n} \right] + \frac{1}{2c} \frac{d}{dt} \sum_i e_i \bar{z}_i(t') (\bar{n} \cdot \bar{z}_i(t'))$$

$$\bar{A}(\bar{z}, t) = \frac{\dot{\bar{d}}(t')}{c^2} + \left(\frac{[\bar{m}(t') \times \bar{n}]}{2^2} + \frac{[\bar{m}(t') \times \bar{n}]}{c^2} \right) + \frac{1}{2c} \left(\frac{\bar{Q}(t')}{\bar{z}^2} + \frac{\bar{Q}(t')}{c^2} \right)$$

дип. мом, мат-дип. мом., квадр. мом., $\frac{1}{2c} \bar{Q}(t')$, $\bar{Q}_2 = \bar{Q}_{21} \bar{n}_1$, $\bar{Q}_{21} = \sum e x_1 x_2$ - тензор квадр. моментов

$$\bar{\psi}(\bar{z}, t) = \int \frac{\rho(\bar{z}', t - \frac{\bar{z}}{c} + \frac{(\bar{n} \cdot \bar{z}')}{c})}{\bar{z} - (\bar{n} \cdot \bar{z}')} dV' \approx \int \frac{\rho(\bar{z}', t - \frac{\bar{z}}{c})}{\bar{z}} dV' + \int \frac{\rho(\bar{z}', t - \frac{\bar{z}}{c})}{\bar{z}} dV' \left(-\frac{1}{\bar{z}^2} (\bar{n} \cdot \bar{z}') \right) + \int \frac{\partial \rho(\bar{z}', t - \frac{\bar{z}}{c})}{\partial t} \frac{(\bar{n} \cdot \bar{z}')}{\bar{z}^2} dV'$$

$$\frac{(\bar{n} \cdot \bar{z}')}{\bar{z}^2} dV' \approx \frac{\bar{Q}(t - \frac{\bar{z}}{c})}{\bar{z}} + \frac{(\bar{z} \cdot \dot{\bar{d}}(t - \frac{\bar{z}}{c}))}{\bar{z}^3} + \frac{(\bar{n} \cdot \dot{\bar{d}}(t - \frac{\bar{z}}{c}))}{c^2}$$

дип. мом, дип. мом., дип. мом.

Дипольное излучение. Интенсивность, поляризация, угловое распределение

$$P_{\alpha\beta} = \sum e (3x_\alpha x_\beta - z^2 \delta_{\alpha\beta}) = 3Q_{\alpha\beta} - \sum e z^2 \delta_{\alpha\beta} \Rightarrow \bar{D}(t') = 3\bar{Q}(t') - \sum_i^N e_i z_i^2(t') \bar{n}$$

$$A(\bar{r}, t) = \frac{\ddot{\bar{D}}(t')}{c^2} + \left(\frac{[\dot{\bar{m}}(t') \times \bar{n}]}{z^2} + \frac{[\dot{\bar{m}}(t') \times \bar{n}]}{c^2} \right) + \frac{1}{6c} \left(\frac{\dot{\bar{K}}(t')}{z^2} + \frac{\ddot{\bar{K}}(t')}{c^2} \right)$$

дипольное приближение: ① хар-й р-р сист $a \ll \lambda$ ② $z \gg a$ ③ $v \ll c$ ④ $\Delta t_{\text{зам}} \ll T$

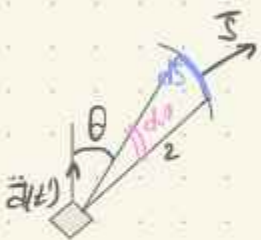
0 если $z \ll \lambda$ - область квазистационарности

если $z \leq \lambda$ - ближняя зона, где $\Delta t_{\text{зам}}$ заметно, но еще сохр. зрты квазистационарны

если $z \gg \lambda$ - дальняя зона (волновая) - поле предст-ст плоскую ЭМГ волну, $\bar{B} \perp \bar{E} \Rightarrow \bar{E} = [\bar{B} \times \bar{n}]$

$$\bar{A}(\bar{r}, t) = \frac{\ddot{\bar{D}}(t - \frac{z}{c})}{c^2} \Rightarrow [z \omega \dot{\bar{D}}(t - \frac{z}{c}) = \text{grad}(t - \frac{z}{c}) \times \ddot{\bar{D}}(t - \frac{z}{c}) = -\frac{1}{c} [\bar{n} \times \ddot{\bar{D}}(t - \frac{z}{c})] \Rightarrow$$

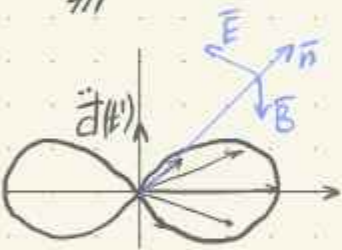
$$\bar{B}(\bar{r}, t) = \frac{[\ddot{\bar{D}}(t') \times \bar{n}]}{c^2} + \frac{[\ddot{\bar{D}}(t') \times \bar{n}]}{c^2}, \quad \bar{E}(\bar{r}, t) = [\bar{B}(\bar{r}, t) \times \bar{n}]$$



$$dS = z^2 d\Omega \Rightarrow dI = S dS = \frac{c}{4\pi} B^2 z^2 d\Omega - \text{поток э-маг пот-ти dS в ед. времени}$$

$$\frac{dI}{d\Omega} = \frac{1}{4\pi c^3} [\ddot{\bar{D}}(t') \times \bar{n}]^2 = \frac{(\ddot{\bar{D}}(t'))^2 \sin^2 \theta}{4\pi c^3}, \quad \theta - \text{угл между осью колебаний и в-м } \bar{n}$$

$$\bar{S} = \frac{c}{4\pi} B^2 \bar{n}$$



$$\text{полная интенсивность } \mathcal{I} = \int d\mathcal{I} = \frac{\ddot{\bar{D}}(t')^2}{4\pi c} \int_0^\pi \int_0^{2\pi} \sin^2 \theta d\theta d\varphi = \frac{2(\ddot{\bar{D}}(t'))^2}{3 c^3}$$

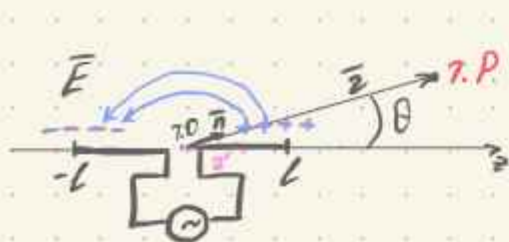
$$\text{если система } \equiv 1 \text{ точ. заряд: } \mathcal{I} = \frac{2 e^2 \ddot{\bar{w}}^2(t')}{3 c^3}, \quad \ddot{\bar{w}} - \text{ускорение}$$

0 все формулы выше для мгновенных значений в момент t , соотв-но моменту t'

$$\langle \frac{dI}{d\Omega} \rangle = \frac{\omega^4}{8\pi c^3} |\ddot{\bar{D}} \times \bar{n}|^2 \Rightarrow \text{если } \ddot{\bar{D}} = \ddot{\bar{D}}_0 e^{-i\omega t} \text{ с пост. напр} \Rightarrow \langle \frac{dI}{d\Omega} \rangle = \frac{\ddot{\bar{D}}_0^2 \omega^4 \sin^2 \theta}{8\pi c^3}$$

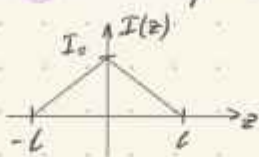
Антенны излучатели в радиодиапазоне. Вибратор Герца. Полуволновой вибратор. Диаграмма направленности и поляризация излучения.

опр: вибраторная антенна - лин. антенна с центральным возбуждением



вибратор Герца:

- 1) $l \gg \lambda \ll 2$ (усл. дип. прикл.)
- 2) толщина провода $d \ll l$ - лин. размер вибратора
- 3) нахлест распр-е тока в центре:



$$I(z, t) = I_0 \left(1 - \frac{|z|}{l}\right) e^{-i\omega t}$$

$$\vec{A}(z, t) = \frac{1}{c} \int \frac{\vec{j}(z', t')}{|z - z'|} dV' \approx [z' \ll z] \approx \frac{1}{c^2} \int \vec{j}(z', t') dV' = [\vec{I} = \int \vec{j} dS_z] = \frac{1}{c^2} \int \vec{I}(z', t') dz'$$

$$z' = z - \frac{|z - z'|}{c} \quad |z - z'| \approx z - (\vec{n} \cdot \vec{z}') + O\left(\frac{z'^2}{z}\right) \Rightarrow \vec{A} = \frac{1}{c^2} \int_{-l}^l \vec{I}_0 \left(1 - \frac{|z'|}{l}\right) e^{-i\omega(t - \frac{z - (\vec{n} \cdot \vec{z}')}{c})} dz' \quad \text{всегда}$$

Интегрируем по поперечным пределам \oplus провод бесконечно тонкий

расши-м степень exp: $t - \frac{z}{c} - \frac{(\vec{n} \cdot \vec{z}')}{c} + O\left(\frac{z'^2}{c^2}\right)$

$$\vec{A} = \frac{I_0 l \vec{e}_z}{c^2} e^{-i\omega(t - \frac{z}{c})} = \vec{A} = \frac{A_0}{z} e^{-i\omega(t - \frac{z}{c})}$$

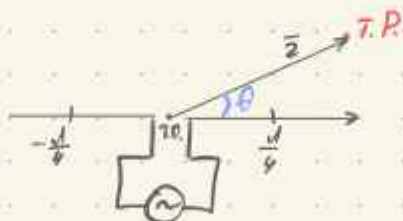
$$\vec{B}_\sim = [\vec{\nabla} \times \frac{\vec{A}_\sim}{2e^{-i\omega(t - \frac{z}{c})}}] = \frac{i\omega I_0 l}{c^2 2} [\vec{n} \times \vec{e}_z] e^{-i\omega(t - \frac{z}{c})}$$

$$\vec{E}_\sim = [\vec{B}_\sim \times \vec{n}] = [Re(\vec{B}_\sim) \times \vec{n}]$$

$$\vec{B} = -\frac{[\vec{n} \times \vec{A}]}{c}$$

полуволновой вибратор

$$I(z, t) = I_0 \cos(kz) e^{-i\omega t}$$



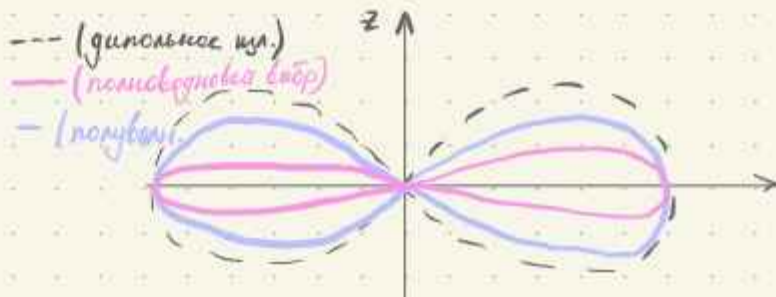
$$l_z = \frac{l}{4} + \frac{l}{4} = \frac{l}{2}$$

$$\vec{A} = \frac{I_0}{c^2} \vec{e}_z \int_{-l/2}^{l/2} \cos(kz') e^{-i\omega(t - \frac{z - (\vec{n} \cdot \vec{z}')}{c})} dz' = \frac{2 \cos(\frac{\pi}{2} \cos \theta)}{k \sin^2 \theta} \frac{I_0}{c^2} \vec{e}_z e^{-i\omega(t - \frac{z}{c})}$$

поправка из-за конечного р-ра

$$\vec{B}_\sim = -\frac{[\vec{n} \times \vec{A}]}{c} = \frac{I_0}{c^2 2} \frac{2 \cos(\frac{\pi}{2} \cos \theta) i\omega \sin \theta}{k \sin^2 \theta} e^{-i\omega(t - \frac{z}{c})} \quad \begin{aligned} &1) \cos(\frac{\pi}{2} \cos \theta) \approx \cos(\frac{\pi}{2} (1 - \frac{\theta^2}{2})) = \sin(\frac{\pi \theta^2}{4}) \approx \frac{\pi \theta^2}{4} \\ &2) \text{при } \theta \rightarrow 0 \text{ или } \theta \rightarrow \pi \text{ будет выходящая особенность} \end{aligned}$$

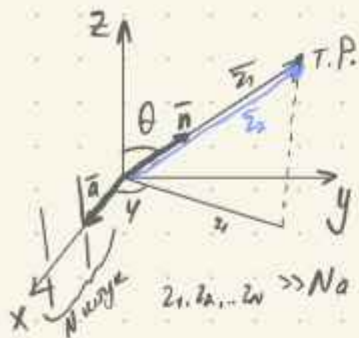
$$\frac{dI}{d\Omega} = \frac{c z^2}{8\pi} |\vec{B}_\sim|^2 = \frac{I_0^2}{2\pi c} \frac{\cos^2(\frac{\pi}{2} \cos \theta)}{\sin^2 \theta}$$



Принцип создания узко направленных антенн и изменяемой диаграммой направленности. Фазированные антенные решетки. Антенны оптического типа на пр

параболоида вращения

пусть антенна состоит из N -отдельных излучателей, расположенных на расст-и a



$$\bar{B}_v(\bar{r}_1, \pm) = f(\theta) \cdot \frac{e^{ikr_1 - i\omega t}}{r_1}$$

$$\Sigma \bar{B}_{vi} = f(\theta) \frac{e^{ikr_1 - i\omega t}}{r_1} + f(\theta) \frac{e^{ikr_2 - i\omega t + kx_2}}{r_2} + \dots$$

разность фаз между излучателями

$$\Sigma \bar{B}_{vi} = \bar{B}_{vi} (1 + e^{ik(r_2 - r_1) + i(x_2 - x_1)} + e^{ik(r_3 - r_1) + i(x_3 - x_1)} + \dots)$$

$$\bar{r}_2 = \bar{r}_1 - \bar{a} \Rightarrow r_2 = \sqrt{(\bar{r}_1 - \bar{a}, \bar{r}_1 - \bar{a})} = r_1^2 - 2(\bar{r}_1, \bar{a}) + a^2 \approx r_1 (1 - \frac{(\bar{r}_1, \bar{a})}{r_1^2} + O(\frac{a^2}{r_1^2}))$$

- можем пренебрегать слагаемыми, когда: $\frac{ka^2}{r_1} \ll \pi \rightarrow \frac{a^2}{\lambda r_1} \ll 1 \Rightarrow a \ll \sqrt{\lambda r_1}$ - радиус 1-й зоны Френеля
- для N -го излучателя это условие будет $Na \ll \sqrt{\lambda r_1} = r_1 \sim 10^4 \text{ см}$ - если

$$\Sigma \bar{B}_{vi} = \bar{B}_{vi} (1 + e^{-ik(n, \bar{a}) + i\Delta x} + e^{-ik(n, \bar{a})2 + i2\Delta x} + \dots) = \bar{B}_{vi} \left(\frac{1 - e^{iN(\Delta x - k(n, \bar{a}))}}{1 - e^{i(\Delta x - k(n, \bar{a}))}} \right)$$

$$\frac{dP}{dn} = \left(\frac{dP}{dn} \right)_1 \frac{\sin^2(N \cdot \frac{\Delta x - k a \sin \theta \cos \varphi}{2})}{\sin^2(\frac{\Delta x - k a \sin \theta \cos \varphi}{2})} \quad (K)$$

от первого излучателя

I. в напале расст-и $\frac{dP}{dn}$ в плоскости $(x, y) \Rightarrow \theta = \frac{\pi}{2}$ и угол $\Delta x = 0 \Rightarrow$

$$\frac{dP}{dn} = \text{const} \cdot \frac{\sin^2(N \frac{ka}{2} \cos \varphi)}{\sin^2(\frac{ka}{2} \cos \varphi)} \Rightarrow \text{глав. макс-и: } \sin^2(\frac{ka}{2} \cos \varphi) = 0$$

направление излучения

$$\frac{2\pi a \cos \varphi_m}{\lambda} = m\pi \Rightarrow \cos \varphi_m = \pm m \frac{\lambda}{a}$$

- если $\frac{\lambda}{a} > 1 \Rightarrow m=0 \Rightarrow \cos \varphi_0 = 0 \Rightarrow \varphi_0 = \pm \frac{\pi}{2}$

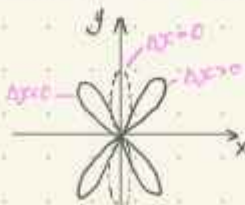


- если $\frac{\lambda}{a} \leq 1 \Rightarrow$ то лепестков будет больше.
 $m=0, m=\pm 1, m=\pm 2, m_{\max} \frac{\lambda}{a} \leq 1$



II. если $\Delta x \neq 0$ и $\frac{\lambda}{a} > 1$, то $\Delta x - \frac{2\pi a}{\lambda} \cos \varphi_m = m\pi$ ($\frac{\lambda}{a} > 1$)

$$\cos \varphi_m = \frac{\Delta x}{2\pi a} < 1 \Rightarrow$$



- принцип работы фазовой антенной решетки (ФАР)

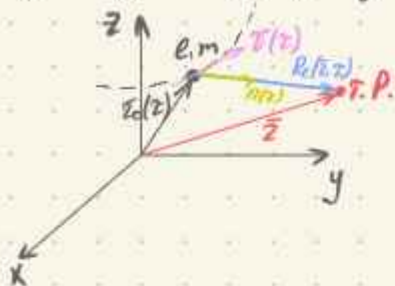
$$\bar{A}(\bar{z}, t') = \frac{1}{c} \int \frac{1}{|\bar{z} - \bar{z}'|} \int \bar{j}(\bar{z}', \tau) \delta(\tau - t' + \frac{|\bar{z} - \bar{z}'|}{c}) d\tau dV' \quad (*)$$

$= dx' dy' dz'$

в случае одного заряда, движущегося как $\bar{z} = \bar{z}_0(\tau)$: $\bar{j}(\bar{z}', \tau) = e \bar{v}(\tau) \delta(\bar{z}' - \bar{z}_0(\tau)) \Rightarrow (*)$

$$\bar{A}(\bar{z}, t) = \frac{1}{c} \int \frac{e \bar{v}(\tau)}{R_c(\bar{z}, \tau)} \delta(\tau - t + \frac{R_c(\bar{z}, \tau)}{c}) d\tau,$$

$$\text{где } R_c(\bar{z}, t) = R(\bar{z}, \bar{z}_0(t)) = |\bar{z} - \bar{z}_0(t)|$$



воспользуемся св-м: $\delta[f(\tau)] = \frac{\delta'(\tau - \tau_0)}{|f'(\tau_0)|}$, т.е. $\delta[f(t)] \neq 0$ только в $\tau = \tau_0$

в нашем случае: $f(\tau) = \tau - t + \frac{R_c(\bar{z}, \tau)}{c} \Rightarrow$ нуль функции $\tau + \frac{R_c(\bar{z}, \tau)}{c} = t$ - аналог времени цугения

$$f'(\tau) = 1 + \frac{\partial R_c(\bar{z}, \tau)}{\partial \tau}, \text{ где } \frac{\partial R_c(\bar{z}, \tau)}{\partial \tau} = -\bar{n}(\tau) \cdot \bar{v}(\tau)$$

$$f'(\tau) = 1 - \frac{\bar{n}(\tau) \bar{v}(\tau)}{c}$$

$$\text{итог: } \bar{A}(\bar{z}, t) = \frac{e \bar{v}(t')}{c R_c(\bar{z}, t') (1 - \frac{\bar{n}(\bar{z}, t') \bar{v}(t')}{c})} \Big|_{t'}$$

$$\text{более кратко запишем: } \bar{A}(\bar{z}, t) = \frac{e \bar{v}}{c R_c (1 - \frac{\bar{n} \cdot \bar{v}}{c})} \Big|_{t'}$$

$$\varphi(\bar{z}, t) = \frac{e}{R_c (1 - \frac{\bar{n} \cdot \bar{v}}{c})} \Big|_{t'}$$

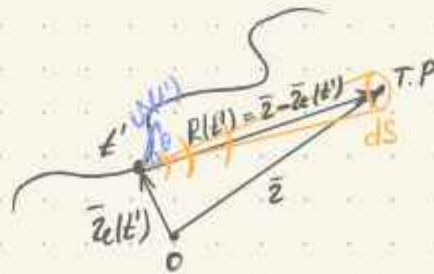
$$\oplus dt = dt' (1 - \frac{\bar{n}(\bar{z}, t') \bar{v}(t')}{c})$$

$$\bar{E}(\bar{z}, t) = \frac{e}{R_c^2} \frac{1 - \frac{v^2}{c^2}}{(1 - \frac{\bar{n} \cdot \bar{v}}{c})^3} (\bar{n} - \frac{\bar{v}}{c}) \Big|_{t'} + \frac{e}{R_c} \frac{[\bar{n} \times ((\bar{n} - \frac{\bar{v}}{c}) \times \bar{v})]}{c^2 (1 - \frac{\bar{n} \cdot \bar{v}}{c})^3} \Big|_{t'}$$

$$\bar{E}_p(t) = \frac{e \bar{R}_c(t)}{R_c^3(t)} \cdot \frac{1 - \beta^2}{(1 - \beta^2 \sin^2 \theta)^{3/2}} \quad - \text{ с постоянной скоростью}$$

$$\vec{E}_{\text{изл}} = \frac{e [\vec{n} \times [\vec{n} - \vec{\beta}] \times \dot{\vec{\beta}}]}{cR(1 - (\vec{\beta}, \vec{n}))^3} \Big|_{t'}$$

$$\vec{B}_{\text{изл}} = [\vec{n} \times \vec{E}_{\text{изл}}]$$



$$\frac{dP}{d\Omega} = \frac{c}{4\pi} ([\vec{E}_{\text{изл}} \times \vec{B}_{\text{изл}}], \vec{n}) R^2 \Big|_{t'} = \frac{c}{4\pi} (\vec{n} \vec{E}_{\text{изл}}^2, \vec{n}) R^2 \Big|_{t'} = \frac{c}{4\pi} \frac{e^2}{c^2 R^2} \frac{[\vec{n} \times [\vec{n} - \vec{\beta}] \times \dot{\vec{\beta}}]^2 R^2}{(1 - (\vec{\beta}, \vec{n}))^6}$$

$$= \frac{e^2}{4\pi c} \frac{[\dot{\vec{\beta}}]^2}{(1 - (\vec{\beta}, \vec{n}))^6}$$

$$[\dot{\vec{\beta}}]^2 = [(\vec{n} - \vec{\beta})(\vec{n}, \dot{\vec{\beta}}) - \dot{\vec{\beta}}(1 - (\vec{\beta}, \vec{n}))^2]^2 = (\vec{n}, \dot{\vec{\beta}})^2 (1 + \beta^2 - 2(\vec{n}, \vec{\beta})) + \dot{\vec{\beta}}^2 (1 - (\vec{\beta}, \vec{n}))^2 - 2(\vec{n}, \dot{\vec{\beta}})(1 - \vec{\beta}, \vec{n})[(\vec{n}, \vec{\beta}) - \vec{\beta}, \vec{\beta}]$$

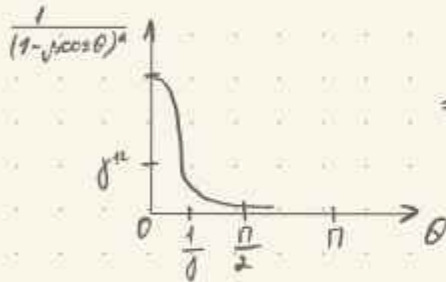
$$= (\vec{n}, \dot{\vec{\beta}})^2 (1 + \beta^2 - 2(\vec{n}, \vec{\beta}) - 2 + 2(\vec{n}, \vec{\beta})) + \dot{\vec{\beta}}^2 (1 - (\vec{\beta}, \vec{n}))^2 + 2(\vec{n}, \dot{\vec{\beta}})(\vec{\beta}, \dot{\vec{\beta}})(1 - (\vec{\beta}, \vec{n}))$$

$$\frac{dP}{d\Omega} = \frac{e^2}{4\pi c} \left[\frac{\dot{\vec{\beta}}^2}{(1 - (\vec{\beta}, \vec{n}))^4} + \frac{2(\vec{n}, \dot{\vec{\beta}})(\vec{\beta}, \dot{\vec{\beta}})}{(1 - (\vec{\beta}, \vec{n}))^5} - \frac{(1 - \beta^2)(\vec{n}, \dot{\vec{\beta}})^2}{(1 - (\vec{\beta}, \vec{n}))^6} \right] \Big|_{t'}$$

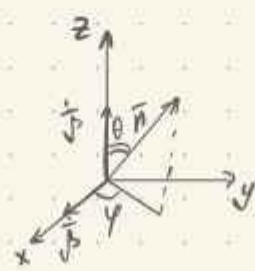
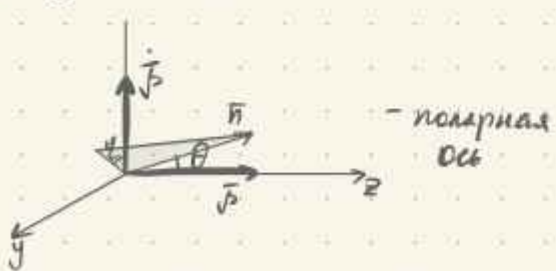
1) пусть $\vec{\beta} \parallel \dot{\vec{\beta}}$: $[\vec{n} \times [\vec{n} - \vec{\beta}] \times \dot{\vec{\beta}}] = |\vec{n} \times \dot{\vec{\beta}}| = \dot{\vec{\beta}}^2 \sin \theta$

$$\frac{dP}{d\Omega} = \frac{e^2}{4\pi c} \cdot \frac{\dot{\vec{\beta}}^2 \sin^2 \theta}{(1 - \beta \cos \theta)^4} \Big|_{t'} \Rightarrow \text{если } \beta \rightarrow 1 \text{ (ультрарелятивистская)} \Rightarrow$$

$$1 - \beta \cos \theta = 1 - \beta + \beta(1 - \cos \theta) = \frac{1}{2\gamma^2} + \beta 2 \sin^2 \frac{\theta}{2} \Big|_{\beta \rightarrow 1} = \frac{1}{2\gamma^2} + 2 \sin^2 \frac{\theta}{2}$$



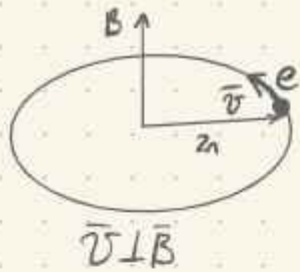
2) пусть $\vec{\beta} \perp \dot{\vec{\beta}}$



$$\frac{dP}{d\Omega} = \frac{e^2 \dot{\vec{\beta}}^2}{4\pi c (1 - \beta \cos \theta)^4} \left[1 - \frac{1}{\gamma} \frac{\sin^2 \theta \cos^2 \varphi}{(1 - \beta \cos \theta)^2} \right]; \quad (\vec{n}, \dot{\vec{\beta}}) = \dot{\vec{\beta}} \sin \theta \cos \varphi$$

$(\frac{1}{2\gamma^2} + \frac{\theta^2}{2})^2 \theta \ll 1$

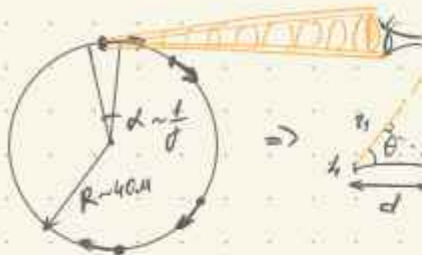
Синхротронное излучение. Оценки его спектра и углового распределения.



$$\vec{e}_z \gamma m \frac{v^2}{r_n} = \frac{e}{c} [\vec{v} \times \vec{B}] = \vec{e}_z \frac{e}{c} v B$$

$$\gamma m \frac{v}{r_n} = \frac{eB}{c} \Rightarrow r_n = \frac{\gamma m c v}{eB} = \frac{v}{\omega_H}, \quad \omega_H = \frac{eB}{\gamma m c}$$

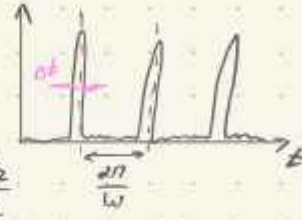
$$P = \frac{dE}{dt} = \frac{2}{3} \frac{e^4 \gamma^2}{m^2 c^3} ([\vec{v} \times \vec{B}])^2 = \frac{2}{3} \frac{e^4 \gamma^2 \beta^2 B^2}{m^2 c^2} \sim \beta^2 \gamma^2$$



т.е. это мы видим?

$$t_1 \text{ (начало излучения)} \approx \frac{z_1}{c}$$

$$t_2 \text{ (конец излучения)} \approx \frac{d}{v} + \frac{z_2}{c}$$



$$\Delta t \Delta \omega \sim \pi$$

$$\Delta \omega \sim \frac{\pi}{\Delta t}$$

$$\Delta t = t_2 - t_1 = \frac{d}{v} + \frac{z_2 - z_1}{c} = \frac{d}{v} - \frac{d \cos \theta}{c} = \frac{d}{v} (1 - \beta \cos \theta) = \frac{d}{v} (1 - (\vec{\beta}, \vec{n}))$$

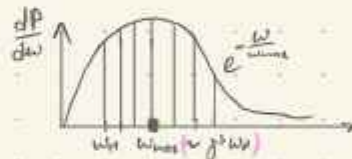
время, в течение которого принимается волна

$$T \rightarrow 2\pi \Rightarrow \Delta t' \rightarrow d \sim \frac{1}{\gamma} \Rightarrow \Delta t' = \frac{T}{2\pi \gamma} = \frac{1}{\gamma \omega_H}$$

$$\Delta t = (1 - \beta \cos \theta) \frac{1}{\gamma \omega_H} \sim \frac{1}{\gamma^3 \omega_H} \Rightarrow \Delta \omega = \frac{\pi}{\Delta t} \sim \pi \gamma^3 \omega_H$$

$\sim 1/\gamma^2$

$\Delta t'$ - время, в течение которого излучается

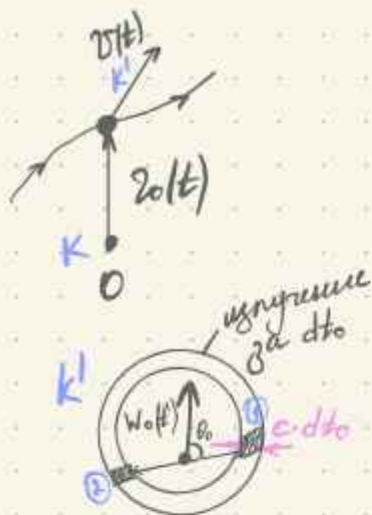


$$\gamma(B \approx 4) = \frac{E_e}{500 \text{ кэВ}} \approx 10^4$$

оценим характ. длину волны излучения СИ:

$$\lambda = \frac{2\pi c}{\omega_{\max}} \sim \frac{2\pi c}{\gamma^3 \omega_H} = \left[\begin{array}{l} R_{\text{цикл}} = r_n \approx c \\ \omega_H = \frac{3 \cdot 10^{10} \text{ см/с}}{40 \cdot 10^2 \text{ см}} = 10^7 \text{ рад/с} \end{array} \right] = \frac{6 \cdot 3 \cdot 10^{10} \text{ см/с}}{10^{12} \cdot 10^7 \text{ рад/с}} = 2 \cdot 10^{-8} \text{ см} = 2 \text{ \AA}$$

Излучение релятивистской частицы. Потери энергии и импульса частицы на излучение при движении в произвольных полях



В K' : Раэ $\vec{v}_0 = 0 \Rightarrow$ дипольное приближение ($\frac{v}{c} \ll 1$) \Rightarrow

dE_0 - энергия излучения частицы в сферич. слое толщиной $c dt_0$

$$P = \frac{2}{3} \frac{\ddot{\vec{r}}(t')^2}{c^3} = \frac{dE_0}{dt_0}, \quad \ddot{\vec{r}} = e \ddot{\vec{z}}_0 = e \vec{W}_0, \quad dE_0 = \frac{2}{3} \frac{e^2 W_0^2(t')}{c^3} dt_0$$

плотность импульса излучения в ед. V (через тензор энергии-импульса):

$$\vec{S}_1 = \frac{c}{n} \frac{1}{4\pi} \vec{B}_\perp^2 = \frac{c}{n} \frac{1}{4\pi} \frac{[\vec{J}_0(t') \times \vec{n}]^2}{c^2 z^2} = \frac{c}{n} \frac{1}{4\pi} \frac{e^2 (\vec{W}_0^2(t') \sin^2 \theta_0)}{c^2 z^2} \quad (\text{где } \textcircled{1})$$

$$\vec{S}_2 = \frac{c}{n} \frac{1}{4\pi} \frac{e^2 W_0^2(t') \sin^2(\pi - \theta_0)}{c^2 z^2} \Rightarrow \vec{S}_1 = -\vec{S}_2 \Rightarrow \textcircled{2} = \iint \vec{S} dV = 0 \Rightarrow d\vec{p}_0 - \text{сферич. слос} = 0$$

4^x импульс сфер. слос: $d\vec{p}_0 = (\frac{dE_0}{c}, d\vec{p}_0)$ - в системе K' \Rightarrow пересчитаем в лад. со

$$\frac{dE}{dt} = \gamma \frac{dE_0}{dt_0} = \frac{dE_0}{dt_0}$$

$$\frac{d\vec{p}}{dt} = \gamma \frac{d\vec{p}_0}{dt_0} = \gamma \frac{d\vec{p}_0}{dt_0}$$

поток энергии частицы на излучение: $\frac{dE_0}{dt_0} = \frac{2}{3} \frac{W_0^2 e^2}{c^3} \Rightarrow \vec{W}_0 = \frac{e \vec{E}}{m} + \frac{e}{c} [\vec{v}_0 \times \vec{B}_0] \textcircled{3}$

$$\vec{W}_0 = \frac{e}{m} (\vec{E}^\parallel + \gamma (\vec{E}^\perp + [\vec{\beta} \times \vec{B}^\perp])) \Rightarrow$$

зависит от скор-и полей

$$\textcircled{3} = \frac{e (\vec{E}_0^\parallel + \vec{E}_0^\perp)}{m} + \frac{e c}{m} [\vec{v}_0 \times (\vec{B}_0^\parallel + \vec{B}_0^\perp)]$$

$$W_0^2 = \frac{e^2}{m^2} (\vec{E}^\parallel{}^2 + \gamma^2 (\vec{E}^\perp + [\vec{\beta} \times \vec{B}^\perp])^2 + \gamma^2 \vec{E}^\parallel{}^2 - \gamma^2 \vec{E}^\parallel{}^2) = \frac{e^2}{m^2} \gamma^2 \left[(\vec{E} + [\vec{\beta} \times \vec{B}])^2 - (\vec{\beta}, \vec{E})^2 \right]$$

$$\gamma^2 (\vec{E} + [\vec{\beta} \times \vec{B}])^2$$

$$\frac{dE}{dt} = \frac{dE_0}{dt_0} = \frac{2e^4}{3m^2 c^3} \gamma^2 \left[(\vec{E} + [\vec{\beta} \times \vec{B}])^2 - (\vec{\beta}, \vec{E})^2 \right]$$

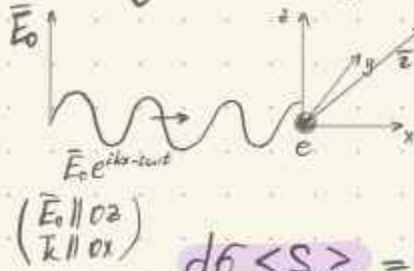
$dE, d\vec{p}$ - энергия и импульс сфер. слос излучения частицы

$$\frac{d\vec{p}}{dt} = \frac{\gamma \vec{p}_0}{c} \frac{dE}{dt}$$

$$\frac{dE}{dt} = \frac{2e^4}{3m^2 c^3} \gamma^6 (W^2 - [\vec{\beta} \times \vec{W}]^2) - \text{зери ускорение}$$

Рассеяние элмг волны свободным зарядом. Рассеяние элмг волны связанным зарядом. Рассеяние волны системой зарядов.

• свободный заряд



пусть $|\vec{v}_e| \ll c \Rightarrow m\ddot{\vec{z}}_e = e\vec{E}_0 e^{ikx - i\omega t} + e\left[\frac{\vec{v}}{c} \times \vec{B}_0\right] e^{ikx - i\omega t}$
 $F_{\text{Лоренца}} \ll F_{\text{Кулона}}$
 $\ddot{\vec{z}}(t - \frac{z}{c}) = e\ddot{\vec{z}}_e(t - \frac{z}{c}); \quad \vec{B}_\sim(z, t) = \frac{[\dot{\vec{z}}(t - \frac{z}{c}) \times \vec{n}]}{c^2 z}$

$$d\sigma < S_{\text{прим}} > = dP = \frac{dI}{dn} d\Omega \Rightarrow \frac{d\sigma}{dn} = \frac{d<I>}{dn} \frac{1}{<S_{\text{прим}}>} = \frac{d<P>}{dn} \frac{1}{<S_{\text{прим}}>}$$

$$\frac{d\sigma}{dn} = \frac{d<P>}{dn} \frac{1}{<S>} = \frac{e^4}{m^2 c^4} \sin^2 \theta = z^2 \sin^2 \theta \Rightarrow \sigma_T = \int \frac{d\sigma}{dn} \sin^2 \theta d\Omega dy = \frac{8\pi}{3} z^2 \quad (\text{сечение Томсона})$$

• связанный заряд

! в веществах рассеивают ЭМГ волны практически одни электроны

рассеив-и внешний электрон в атоме как дипольный осциллятор с $\omega_0 \gg \omega$

$$z(t) = \hat{z}_0 e^{-i\omega t}, \quad \hat{z}_0 = \frac{e}{m\omega_0^2} \vec{E}_0 \Rightarrow \ddot{z}(t) = \frac{e^2 \omega^2}{m\omega_0^2} \vec{E}(t)$$

$$\frac{d\sigma}{dn} = \left(\frac{\omega}{\omega_0}\right)^4 z^2 \sin^2 \theta = \sigma_T \cdot \left(\frac{\omega}{\omega_0}\right)^4$$

• система зарядов

• цвет неба:

$$\frac{d\sigma}{d\omega} \sim \omega^4 \Rightarrow \text{белый свет от Солнца, являющийся суперпозицией волн} \rightarrow \text{синий, т.к.}$$

$\omega_{\text{син}} > \omega_{\text{кр}} \Rightarrow \omega_{\text{син}}$ рассеивается в 16 раз сильнее

наоборот, в свете, прошедшем 1/3 более толстый слой воздуха преобладают низкие частоты

